La Microscopía Electrónica De Barrido Y De Transmisión Revela La Presencia De Óxido De Grafeno En Las Vacunas Contra El Cov-19

https://www.drrobertyoung.com/post/transmission-electron-microscopy-reveals-graphene-oxide-in-cov-19-vaccines?utm_campaign=cdc17989-352e-4afb-a3b8-6a5e77bb8738&utm_source=so&utm_medium=mail&cid=604a5667-accb-40a9-8a2e-e3107ce4ea79
2021, 5 de febrero, actualizado el 1 de octubre de 2021
Autor: Robert O Young CPC, MSc, DSc, PhD, Naturópata
www.drrobertyoung.com

¡La Microscopía De Contraste De Fases, De Campo Oscuro Y Claro, La Microscopía Electrónica De Transmisión Y De Barrido Y La Espectroscopia De Rayos X De Energía Dispersiva Revelan Los Ingredientes De Las Vacunas Contra El Cov-19!.

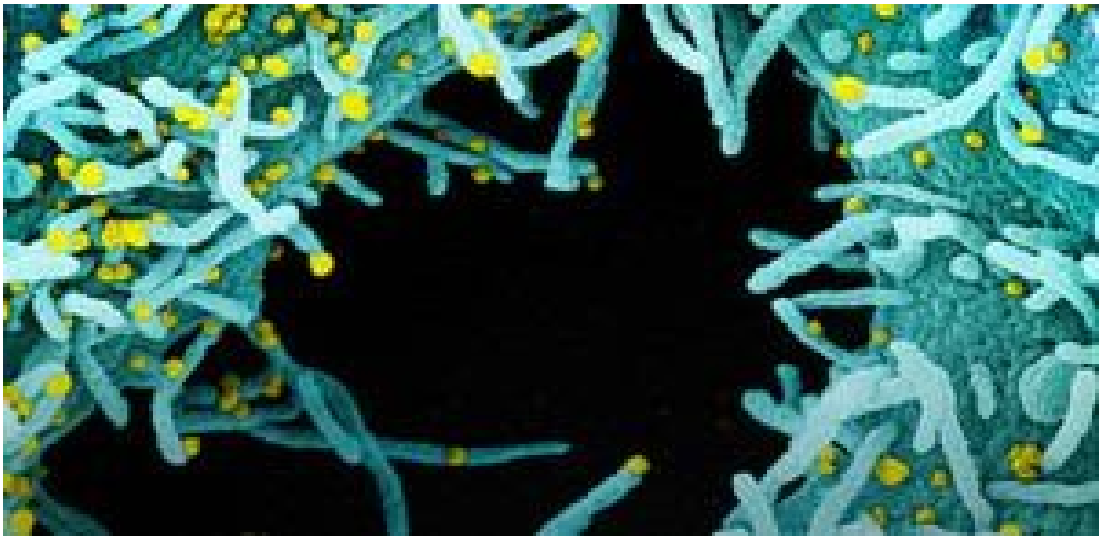

Los gérmenes nacen en nosotros y de nosotros como una Exfección y NO como una Infección de las células del cuerpo. En otras palabras ¡los gérmenes son síntomas de desorganización celular y genética y NO la causa específica de la desorganización celular y genética! El GERMEN no es NADA y el TERRENO es TODO . Los gérmenes sólo pueden contribuir a un estado de desequilibrio tóxico pero NUNCA pueden causar NINGUNA enfermedad o dolencia específica! - Dr. Robert O. Young [55]

Resumen

Actualmente hay cuatro grandes empresas farmacéuticas que fabrican una "vacuna" contra el SARS-CoV-2, ahora llamada SARS-CoV-19. Estos fabricantes y su "vacuna" son **Pfizer--BioNTech mRNA Vaccine**, la **Moderna-Lonza mRNA-1273 Vaccine**, la **Serum Institute Oxford Astrazeneca Vaccine** y la ***Janssen* COVID -19 *Vaccine***, fabricada por *Janssen* Biotech Inc, una empresa farmacéutica *Janssen* de *Johnson & Johnson,* un **adenovirus recombinante e incompetente para la replicación de tipo 26 que expresa la proteína de peplómero del SARS-CoV-2.** El (supuesto) objetivo de estas "vacunas" es proporcionar inmunidad contra el supuesto nuevo coronavirus infeccioso o virus del SARS-CoV - 2, ahora llamado SARS-CoV - 19. Estas cuatro empresas farmacéuticas no han proporcionado la divulgación completa de la FDA en su caja de la vacuna, hoja de datos del prospecto o la etiqueta para muchos de los ingredientes principales y / o menores contenidos en estas supuestas vacunas. El propósito de este artículo de investigación es identificar esos ingredientes principales y secundarios específicos contenidos en la **Vacuna Pfizer, la Vacuna Moderna, la Vacuna Astrazeneca y la Vacuna Janssen, utilizando varias pruebas científicas anatómicas, fisiológicas y funcionales para cada vacuna contra el SARS-COV-2-19.** Como derecho humano, regido por el Código de Nuremberg de 1947, la información sobre los ingredientes específicos de la vacuna es crítica, requerida y necesaria de conocer para que cualquier persona de cualquier país del mundo pueda tomar una decisión informada sobre si consiente o no la inoculación "contra el SAR-CoV-2-19". Hemos llevado a cabo las pruebas científicas de cada vacuna y hemos identificado varios ingredientes o adyuvantes que no han sido revelados y que están contenidos en estas cuatro "vacunas contra el SARS-CoV - 2 -19". Actualmente, estas "vacunas" se están administrando a millones de seres humanos en todo el mundo en virtud de una Autorización de Uso de Emergencia (EUA, en inglés) emitida por cada país sin la plena divulgación de todos los ingredientes y, en algunos casos, su aplicación es exigida por gobiernos o empleadores, en violación de los derechos humanos individuales en virtud del Código de Nuremberg de 1947.

Metodología y técnicas

Se analizaron cuatro "vacunas" que son la de Pfizer-BioNtech, la Moderna-Lonza mRNA-1273 Vaccine, la Vaxzevria de Astrazeneca y la Janssen de Johnson & Johnson, utilizando diferentes instrumentos y protocolos de preparación según los nuevos enfoques tecnológicos de las nano partículas. Los diferentes instrumentos incluyen Microscopía Óptica, Microscopía de Campo Claro, Microscopía de Contraste de (pH)Fase, Microscopía de Campo Oscuro, Espectroscopía de Fluorescencia y Absorbancia UV, Microscopía Electrónica de Barrido, Microscopía Electrónica de Transmisión, Espectroscopía de Energía Dispersiva, Difractómetro de Rayos X, Resonancia Magnética Nuclear, instrumentos que fueron utilizados para verificar las morfologías y contenidos de las "vacunas". Para las mediciones de alta tecnología y el cuidado de la investigación, se activaron todos los controles y se adoptaron medidas de referencia para obtener resultados validados.

Microscopía de Contraste de Fases y de Campo Oscuro en Sangre Viva

Posteriormente se obtuvieron imágenes de las fracciones acuosas de las vacunas para evaluar visualmente la posible presencia de partículas de carbono o grafeno.

Las observaciones bajo microscopía óptica revelaron una abundancia de objetos laminares 2D transparentes que muestran gran similitud con las imágenes de la literatura (Xu et al, 2019), y con las imágenes obtenidas del estándar rGO (Óxido de Grafeno Reducido) (SIGMA)(Figuras 1, 2 y 3).

Se obtuvieron imágenes de grandes láminas transparentes de tamaño y formas variables, mostrándose onduladas y planas, irregulares. Las láminas más pequeñas de formas poligonales, también similares a las escamas descritas en la literatura (Xu et al, 2019) pueden ser reveladas con Microscopía de Contraste de (pH)Fase y de Campo Oscuro (Figura 3).

Todos estos objetos laminares estaban esparcidos en la fracción acuosa de la sangre (Figura 1) o de la muestra de vacuna (Figuras 2 y 3) y ningún componente descrito por la patente registrada puede asociarse a estas láminas.

En la Figura 1 se puede ver cómo luce una bomba de racimo de óxido de grafeno reducido (rGO) en la sangre viva no contaminada tras la aplicación de las supuestas "vacunas" de Pfizer, Moderna, Astrazeneca y Janssen.

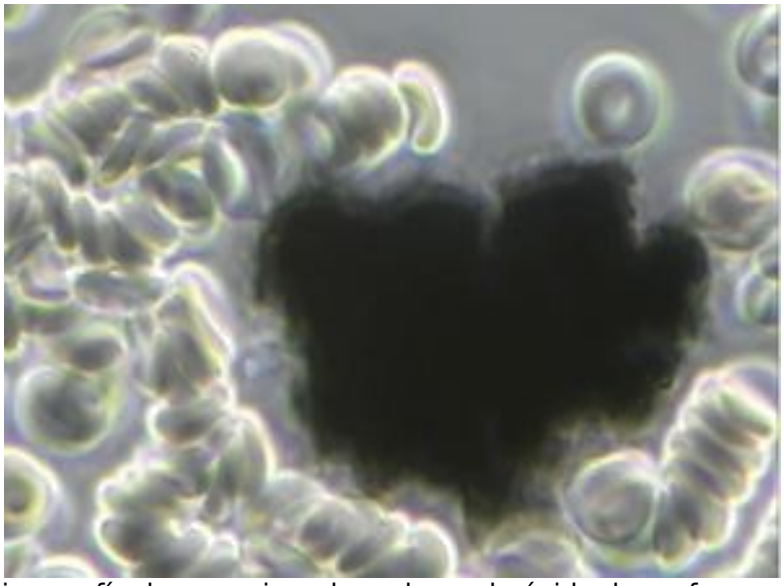

[La figura 1 es una micrografía de un racimo de carbono de óxido de grafeno reducido (rGO) visto en la sangre humana viva no contaminada con microscopía de contraste de (pH)fase a 1500x. ¡Obsérvese que los glóbulos rojos se coagulan dentro y alrededor del cristal de rGO en una condición conocida como Rouleau!, una palabra francesa que significa encadenar. Dr. Robert O. Young, Profiles in Medical Microscopy, Hikari OmniPublishing, 1987 - 2021].

Sangre normal sana antes y después de la inoculación de ARNm

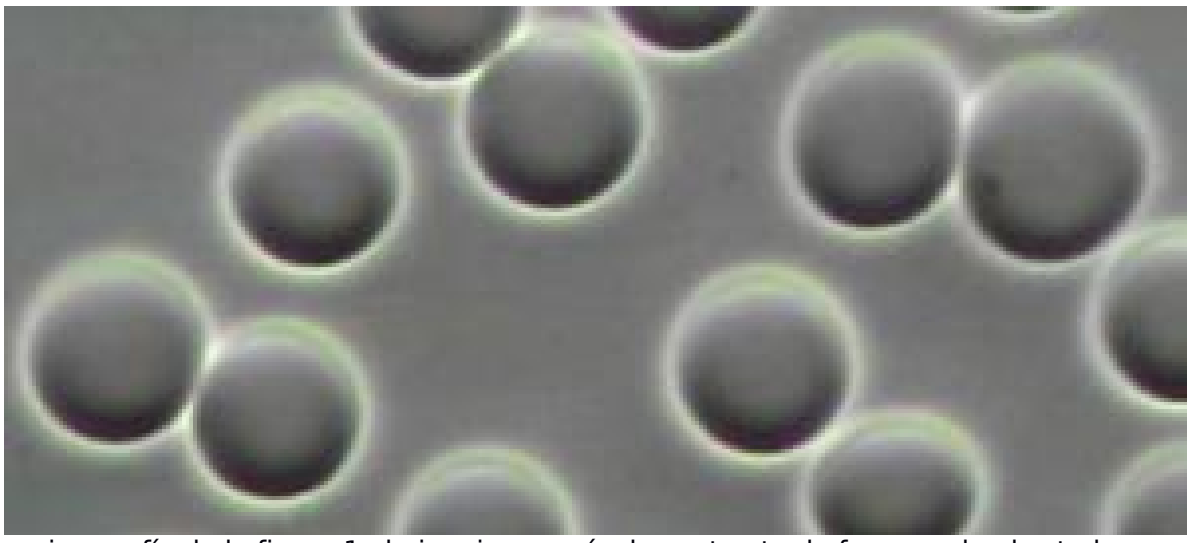

[La micrografía de la figura 1a bajo microscopía de contraste de fase revela el estado normal saludable de los glóbulos rojos, que son uniformes en color, en forma y en tamaño. Los glóbulos rojos en su estado sano miden anatómicamente 7 micras de diámetro. Dr. Robert O. Young, Profiles in Medical Microscopy, Hikari Omni Publishing, 1987-2021].

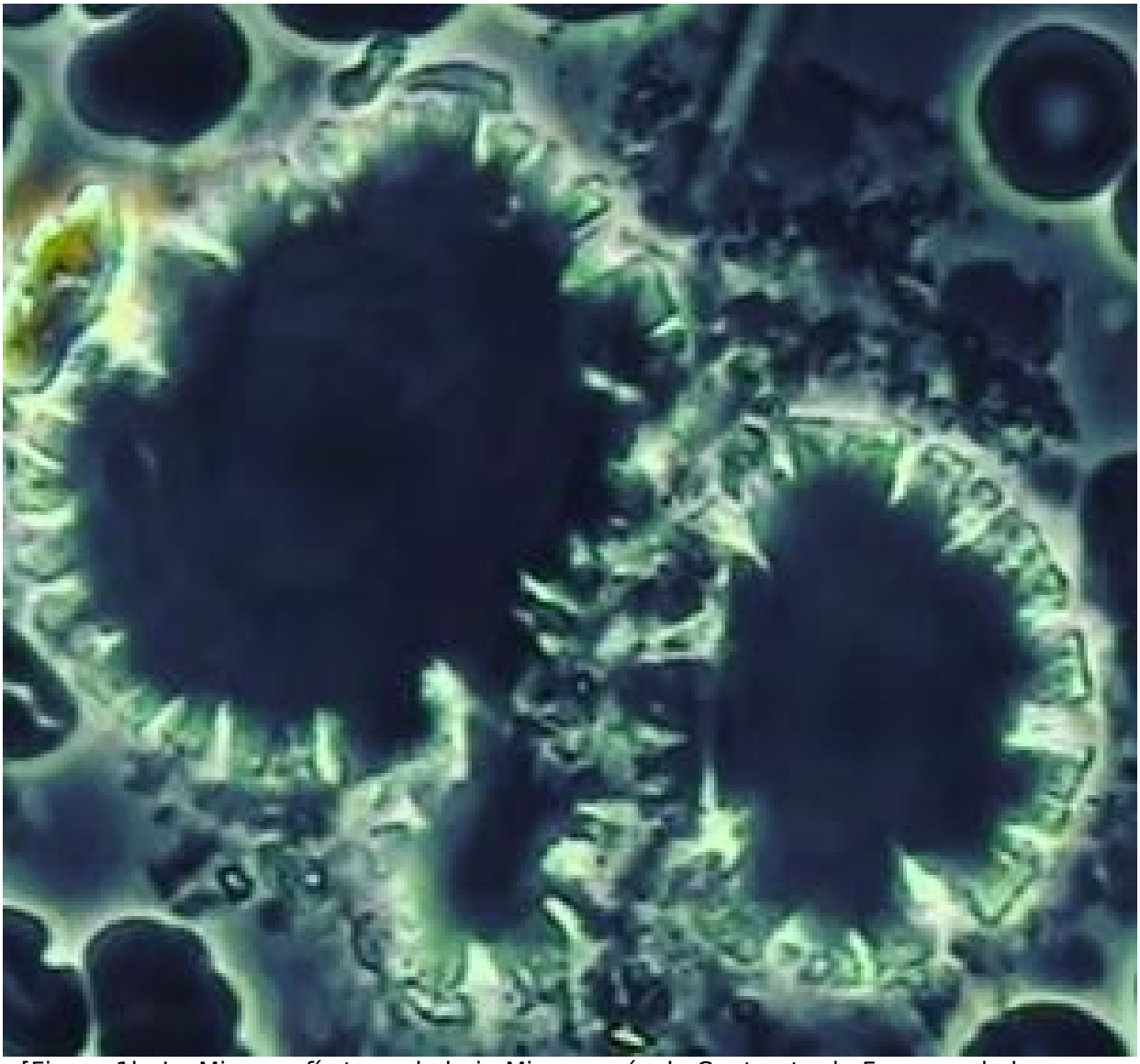

[Figura 1b. La Micrografía tomada bajo Microscopía de Contraste de Fase revela la sangre viva 24 horas después de la (aplicación de la) Vacuna de ARNm que ahora contiene glóbulos rojos cristalizados, transformaciones biológicas de los glóbulos rojos y blancos, grandes simplastos de cristales de óxido de grafeno (centro) y cristales de ácido orótico en la esquina superior derecha de la micrografía. Dr. Robert O. Young, Hikari Omni Publishing, septiembre, 2021 [73] [74] [83]]

Los nano y microtubos de grafeno provocan una coagulación sanguínea patológica que provoca hipercapnia, hipoxia y muerte[73].

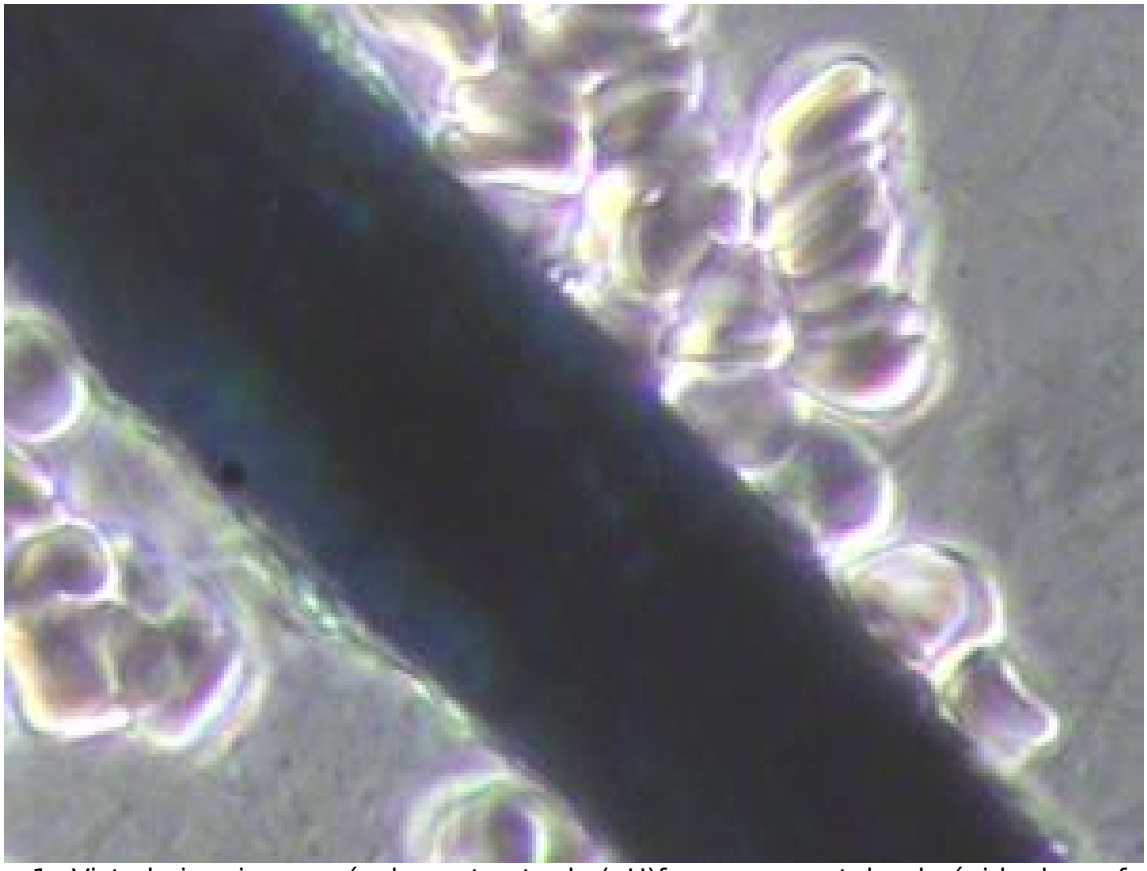

[Figura 1c Vista bajo microscopía de contraste de (pH)fase, un nanotubo de óxido de grafeno en glóbulos rojos coagulados o coágulos de sangre. Dr. Robert O. Young, Hikari Omni Publishing, 2021] [2][73][74][83]]

[Figura 1d Vista bajo microscopía de contraste de (pH)fase, un nanotubo de óxido de grafeno en glóbulos rojos coagulados o coágulos de sangre. Dr. Robert O. Young, Hikari Omni Publishing, 2021] [2][73][74][83]]

¿Qué hay dentro de los coágulos de sangre?

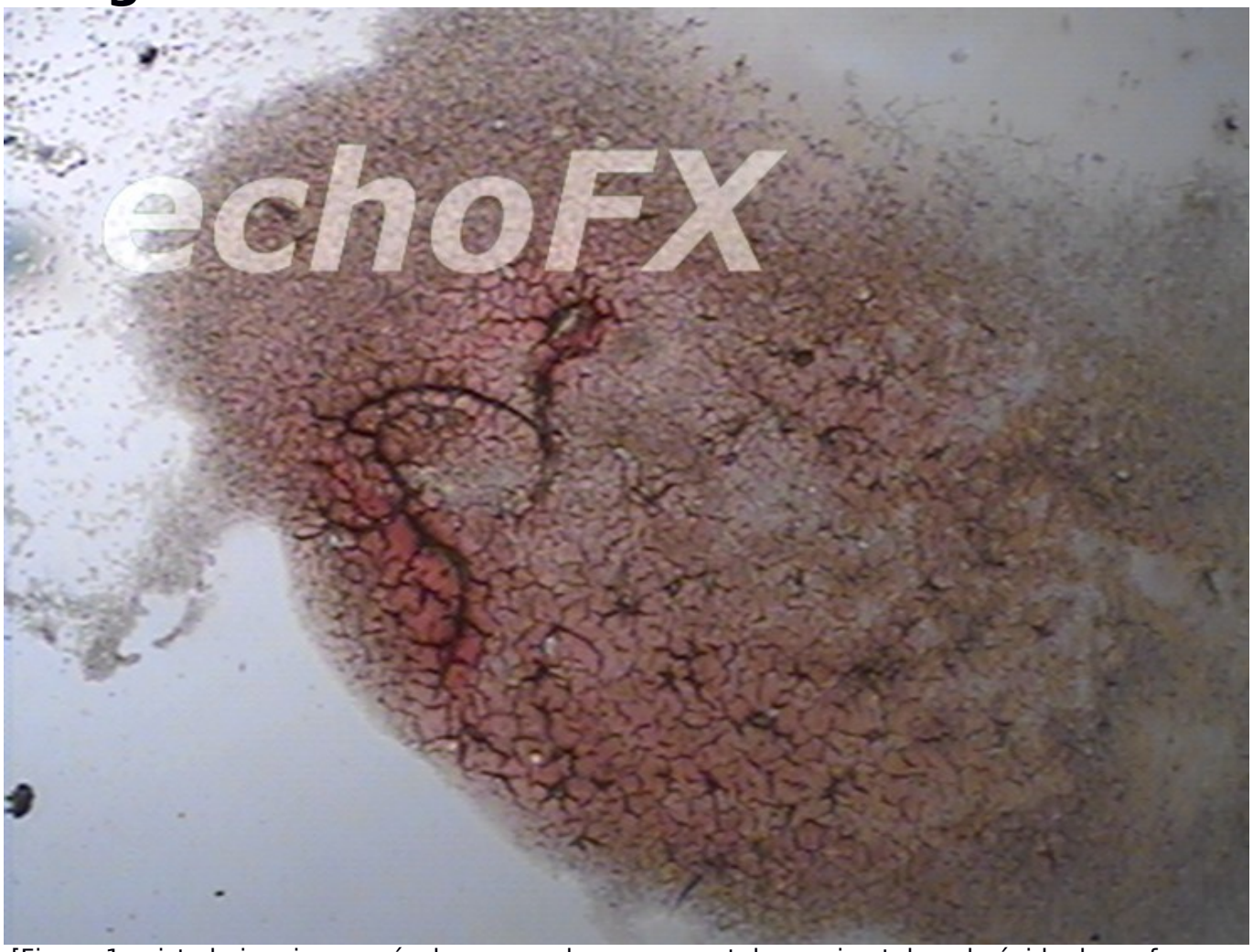

[Figura 1e vista bajo microscopía de campo claro: un nanotubo y microtubos de óxido de grafeno en las células sanguíneas coaguladas secas o un coágulo de sangre además de protuberancias parásitas expresadas en los monómeros de fibrina entrecruzada que indican una infección parasitaria sistémica. Dr. Robert O. Young, Editorial Hikari Omni, 2021][2][73][74][83]]

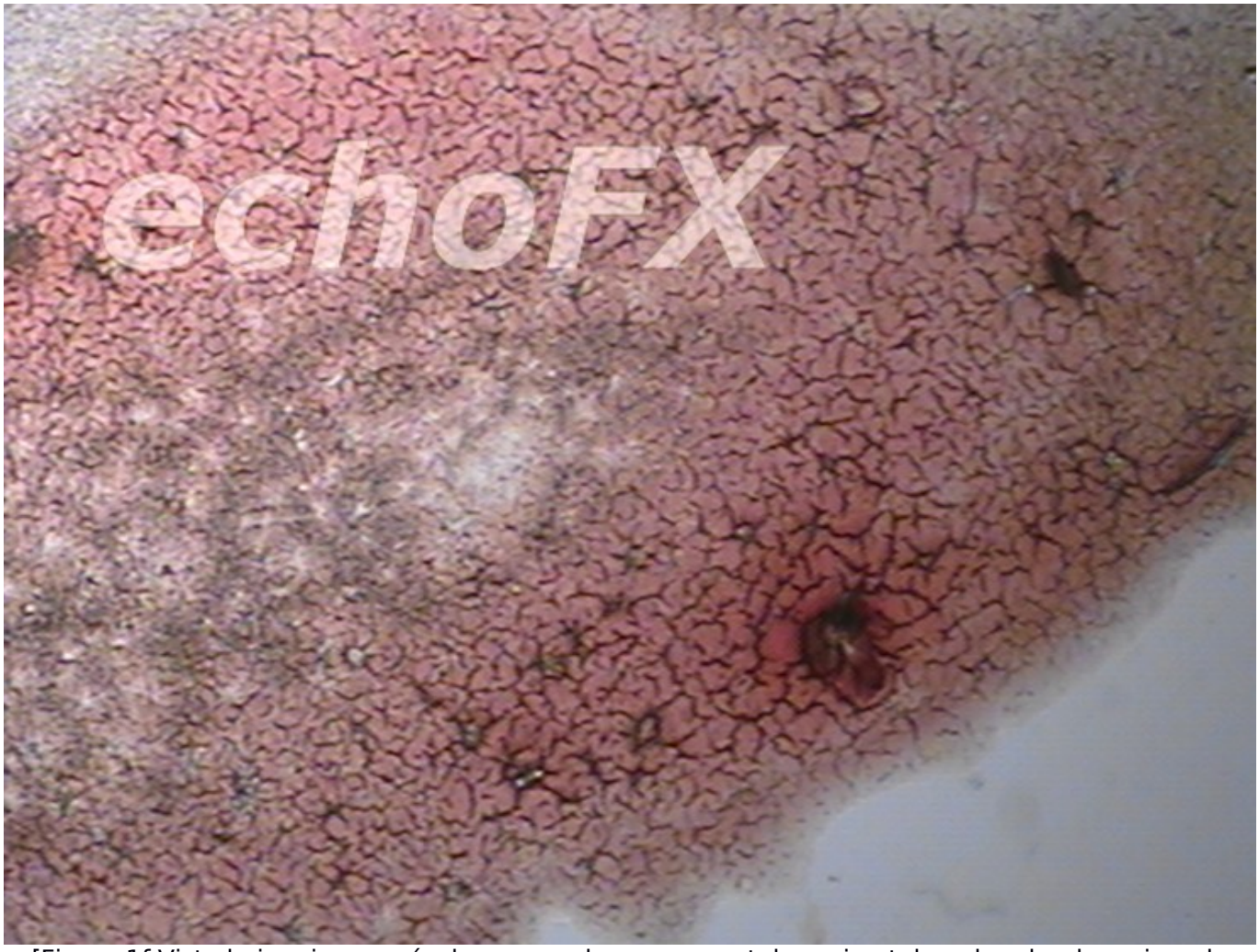

[Figura 1f Vista bajo microscopía de campo claro: un nanotubo, microtubo y bomba de racimo de óxido de grafeno en las células sanguíneas coaguladas secas o coágulos de sangre además de protuberancias parásitas expresadas en los monómeros de fibrina entrecruzada que indican una infección parasitaria sistémica. Dr. Robert O. Young, Editorial Hikari Omni, 2021][2][73][74][83]]

Coágulo de sangre normal sano libre de parásitos y óxido de hierro de grafeno

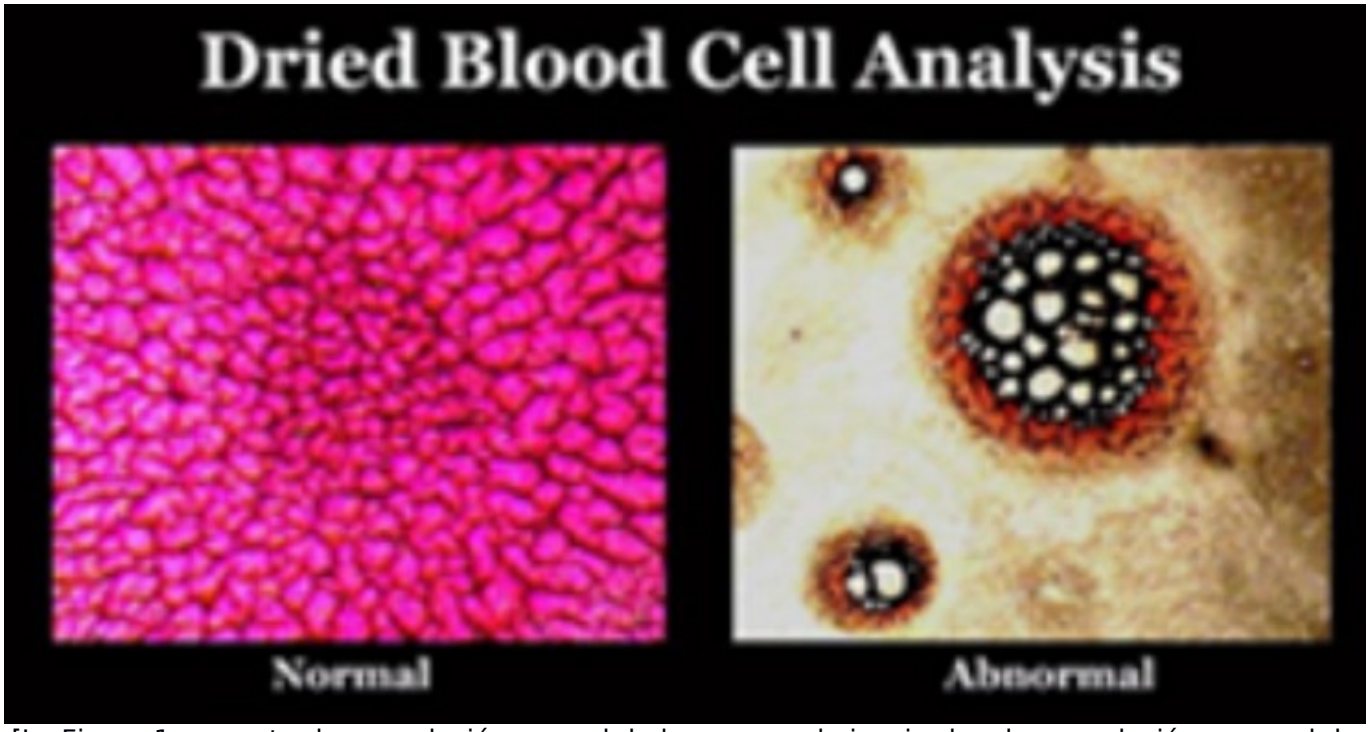

[La Figura 1g muestra la coagulación normal de la sangre a la izquierda y la coagulación anormal de la sangre a la derecha. Tenga en cuenta que el coágulo de sangre normal NO contiene grafeno ni óxido de hierro, ni parásitos ni depósitos de proteínas polimerizadas (círculos blancos que indican degeneración celular como se ve en el coágulo de sangre a la derecha. Dr. Robert O. Young, Hikari Omni Publishing, 2021.][2][73][74][75][83][85]]

¿Cuáles son los ingredientes no revelados que contienen las supuestas "vacunas" de Pfizer, Moderna, Astrazeneca y Janssen?

Para responder a esta pregunta, se tomó una fracción acuosa de las vacunas de Pfizer, Moderna, Astrazeneca y Janssen de cada frasco y se observó por separado bajo Microscopía de Contraste de (pH)Fase a 100x, 600x hasta 1500x de aumento, mostrando evidencia anatómica de **partículas de Óxido de Grafeno reducido (rGO) que se compararon con micrografías de rGO de Choucair et al, 2009 para su identificación y verificación**.[3]

Pasos del análisis de las fracciones acuosas de la vacuna

Las muestras refrigeradas se procesaron en condiciones estériles, utilizando una cámara de flujo laminar y material de laboratorio esterilizado.

Los pasos para los análisis fueron:

1. Dilución en solución salina fisiológica estéril al 0,9% (0,45 ml + 1,2 ml)

2. Fraccionamiento de la polaridad: 1,2 ml de hexano + 120 ul de muestra RD1[1]

3. Extracción de (pH)fase acuosa hidrofílica

1RD1=Ricardo Delgado 1

4. Escaneo de espectroscopia de absorbancia UV y de fluorescencia UV

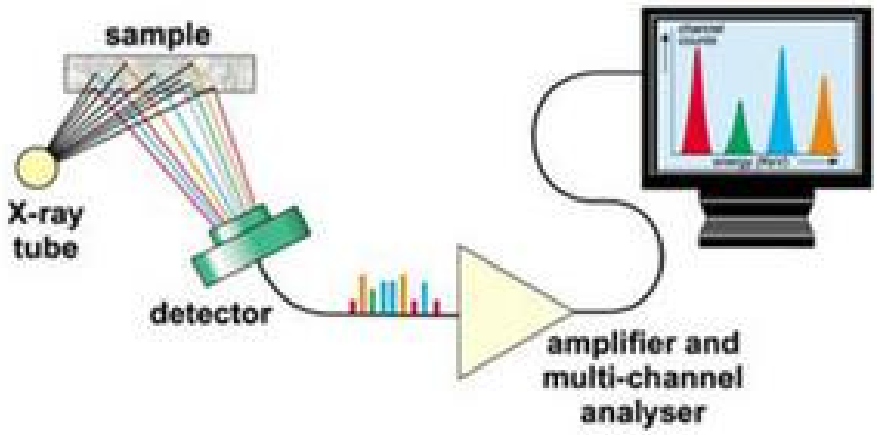

5. Extracción y cuantificación del ARN de la muestra

6. Microscopía electrónica y óptica de la (pH)fase acuosa

Microscopio electrónico de barrido Philips XL 30

[1] Los ingredientes no revelados de la "vacuna" de Pfizer

Las micrografías de **las Figuras 2 y 3** se obtuvieron utilizando microscopía óptica de contraste de (pH)fase, de campo oscuro y de campo claro, de 100X, 600X y 1200X. [3]

A la izquierda de cada micrografía se ven micrografías obtenidas de la fracción acuosa de la vacuna de Pfizer que contiene rGO.

A la derecha de cada micrografía podrá ver una coincidencia de fuentes conocidas

que contienen rGO para su validación anatómica**.**

Las observaciones bajo un microscopio de contraste de (pH)fase, de campo oscuro, de campo claro, microscopio electrónico de transmisión y de barrido del producto de la vacuna de Pfizer, incluyendo los productos de la vacuna de Moderna, Astrazeneca y Janssen revelaron algunas entidades que pueden ser tiras de grafeno como se ve a continuación en la Figura 3.

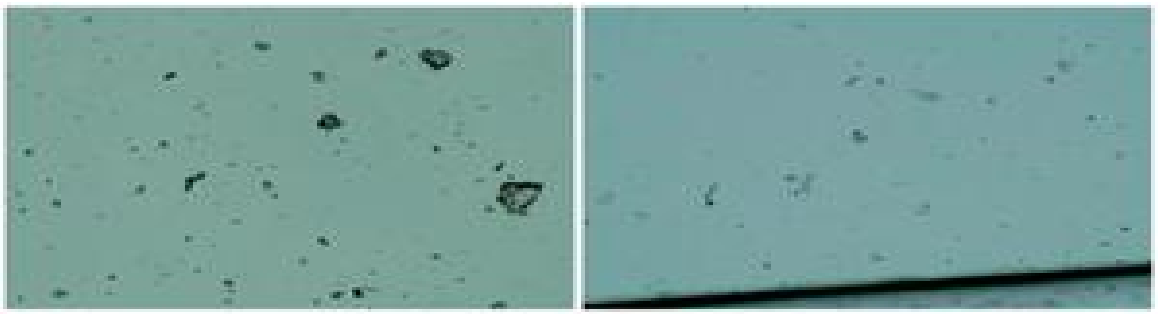

[La figura 2 muestra una imagen de la fracción acuosa de la muestra de la vacuna de Pfizer (izquierda) y del estándar de óxido de grafeno reducido (rGO) (derecha) (Sigma-777684). Microscopía óptica, aumento de 1000X].

[La figura 2a es una imagen de una fracción acuosa de 0,5 ml de una muestra de vacuna de Pfizer vista bajo microscopía de contraste de (pH)fase a 1000x, que muestra un simplasto de óxido de grafeno (arriba a la izquierda) junto a un parásito de Trypanosoma cruzi (abajo a la derecha). Dr. Robert O. Young, Hikari Omni Publishing, 11 de septiembre de 2021[2][9][73][83]]

[La figura 2b es una imagen de una fracción acuosa de 0,5 ml de una muestra de vacuna de Pfizer vista bajo microscopía de contraste de (pH)fase a 1000x, que muestra un simplasto de óxido de grafeno (arriba a la izquierda) y un parásito no identificado (abajo a la derecha). Dr. Robert O. Young, Hikari Omni Publishing, 11 de septiembre de 2021[2][9][73][83]]

[La figura 2c es una imagen de una fracción acuosa de 0,5 ml de una muestra de vacuna de Pfizer vista bajo microscopía de contraste de (pH)fase a 1000x, que muestra una cinta de óxido de grafeno. Dr. Robert O. Young, Hikari Omni Publishing, 11 de septiembre de 2021[2][9][73][74][83]]

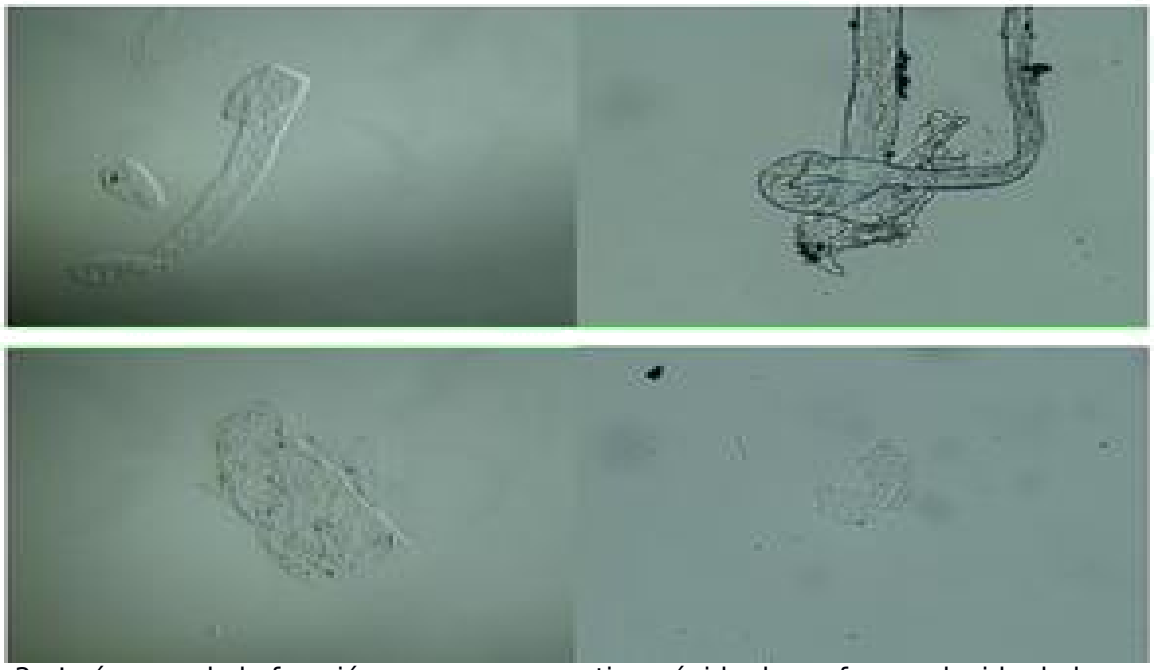

[Figura 3 - Imágenes de la fracción acuosa que contiene óxido de grafeno reducido de la muestra de la vacuna de Pfizer (izquierda) y el estándar de óxido de grafeno reducido (rGO) sonicado (derecha) (Sigma-777684). Microscopía óptica de contraste de (pH)fase, aumento de 600X. Además, la Muestra RD1, Informe de La Quinta Columna, 28 de junio de 2021; Detección de Óxido de Grafeno en Suspensión Acuosa; Delgado Martín, Campra Madrid confirma nuestros hallazgos. https://cen.acs.org/articles/86/i4/Graphene-Ribbons.html y https://cen.acs.org/articles/86/i4/Graphene-Ribbons.html [4][73][74][83]]

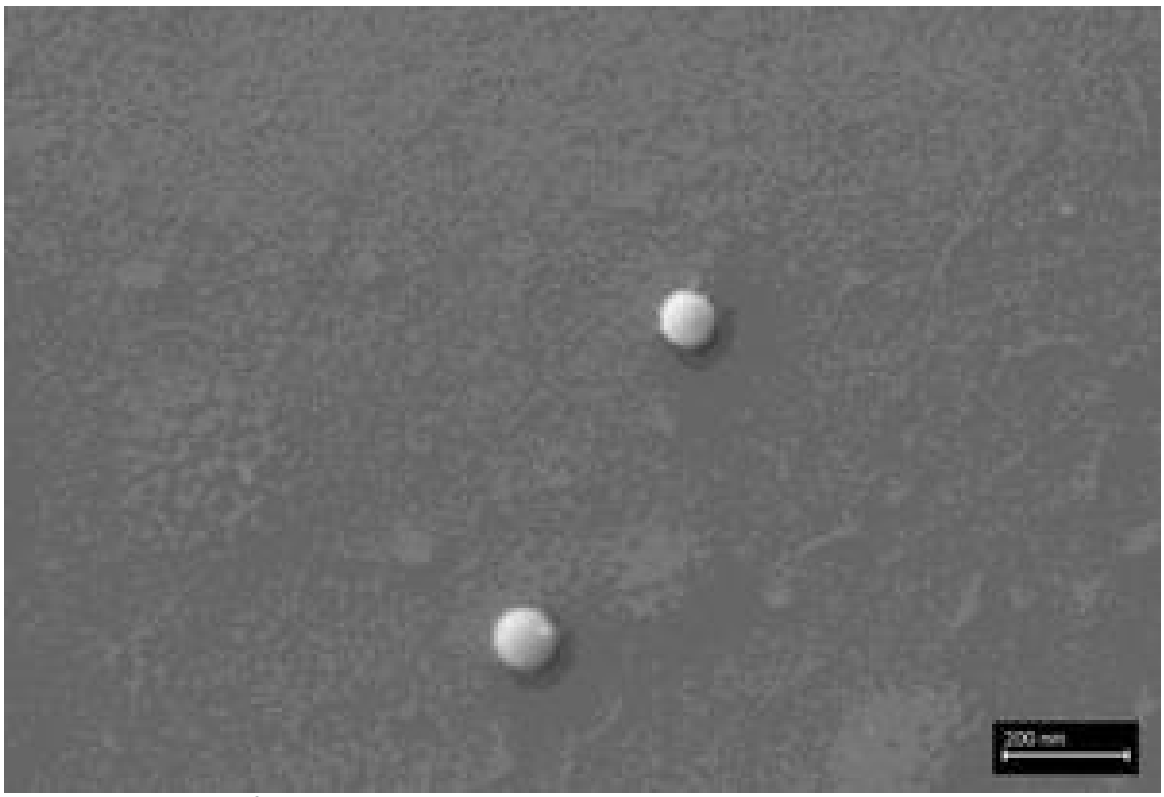

[La figura 4 muestra la cápside del liposoma que contiene rGO y que Pfizer utiliza para su producto para vehiculizar el óxido de grafeno uniendo la cápside del liposoma a moléculas específicas de ARNm para conducir el contenido del liposoma de rGO a órganos, glándulas y tejidos específicos, a saber, los ovarios y testículos, la médula ósea, el corazón y el cerebro. La imagen se obtuvo mediante una preparación SEM-Cryo. [83]]

Para una identificación definitiva del grafeno por TEM, es necesario complementar la observación con la caracterización estructural mediante la obtención de una muestra patrón de difracción de electrones característica (como la figura 'b' que se

muestra a continuación). [4]

La muestra estándar correspondiente al grafito o al grafeno tiene una simetría hexagonal, y generalmente tiene varios hexágonos concéntricos.

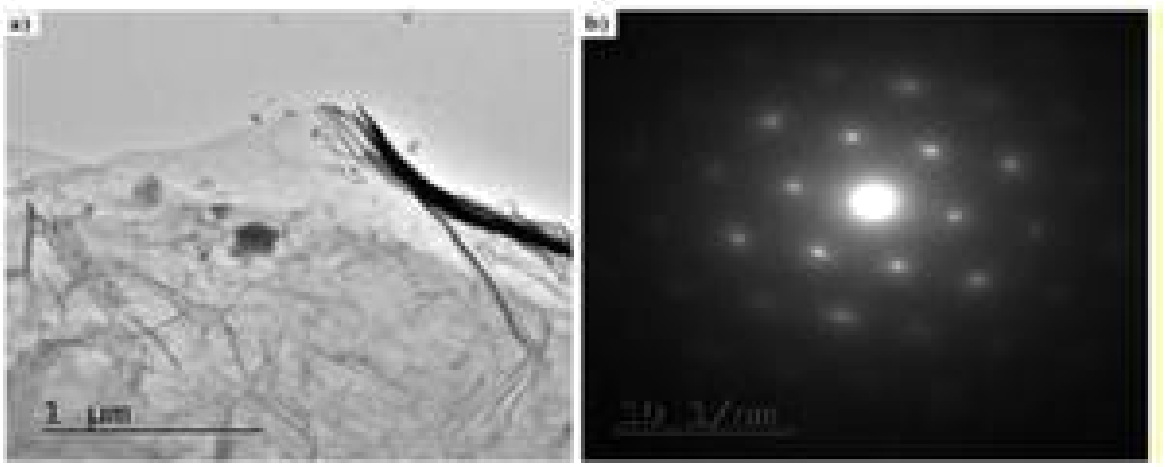

[La figura 4b revela el patrón de difracción de rayos X de las partículas de grafeno. Matéria (Rio J.) 23 (1) , 2018. Caracterización de nanohojas de grafeno obtenidas por un método de Hummer modificado. Renata Hack et al. [4][73][74][83]]

Utilizando la Microscopía Electrónica de Transmisión (TEM) observamos una intrincada matriz o malla de láminas flexibles de rGO plegadas y translúcidas con una mezcla de aglomeraciones multicapas más oscuras y monocapas desplegadas de color más claro como se ve en la Figura 5. [3][4]

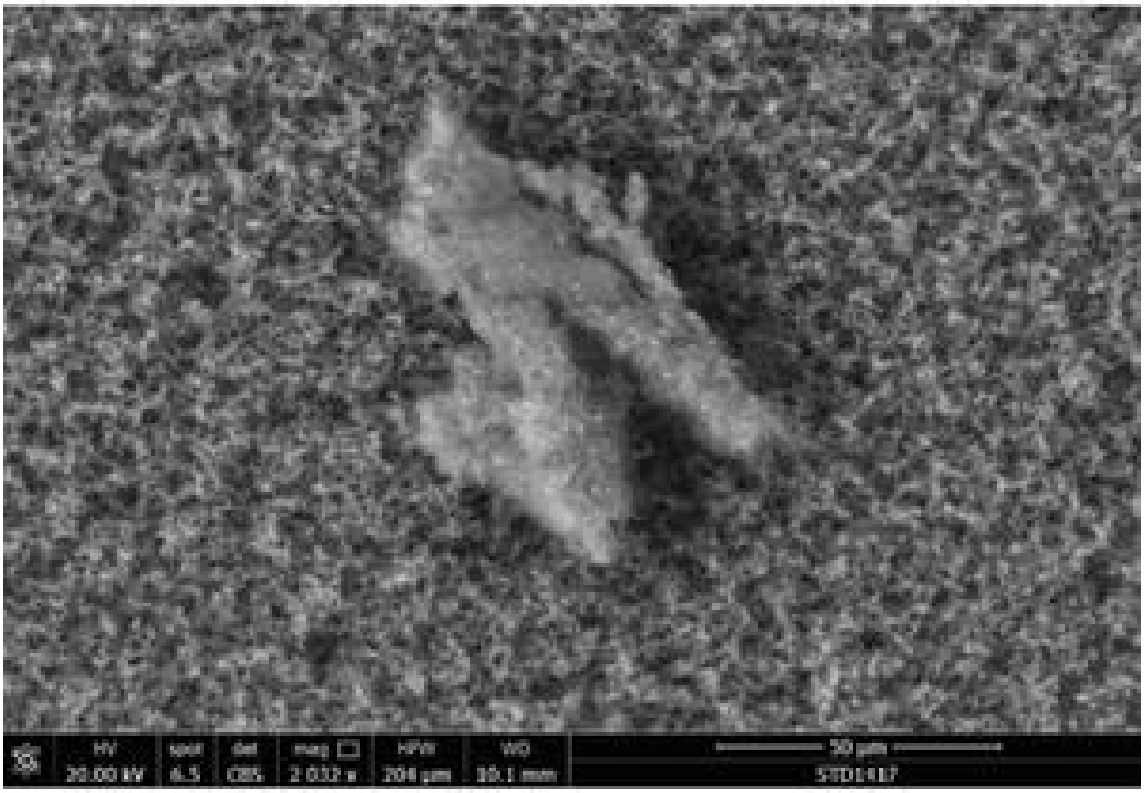

[La figura 5 muestra un grupo de nanopartículas de grafeno en una vacuna de Pfizer. Parecen estar aglomeradas. [83]]

Las zonas lineales más oscuras de la figura 5 parecen ser la superposición local de las láminas y la disposición local de las láminas individuales en paralelo al haz de electrones. [5]

Después de la malla, aparece una alta densidad de formas claras redondeadas y elípticas no identificadas, que posiblemente correspondan a agujeros generados por el forzamiento mecánico de la malla de rGO durante el tratamiento, como se ve en **la Figura 6**.[4][5]

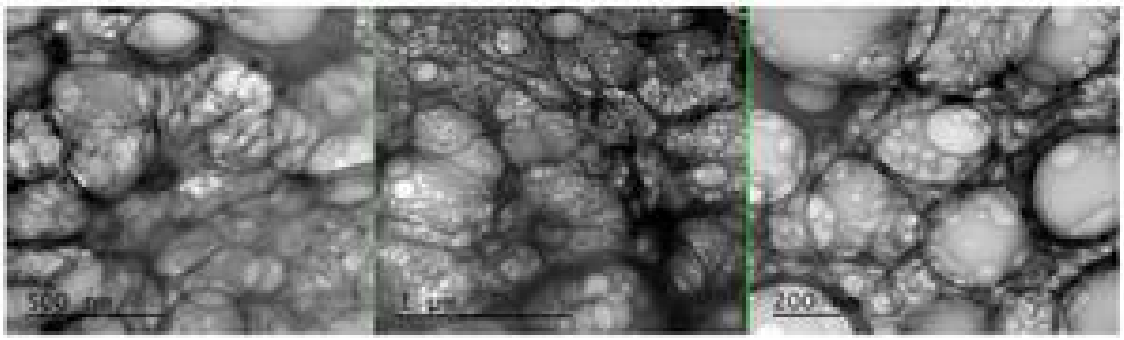

[La figura 6 muestra una observación de microscopía TEM en la que aparecen partículas de óxido de grafeno reducido en una "vacuna" de Pfizer. La difractometría de rayos X revela su naturaleza de nanopartículas cristalinas de rGO basadas en carbono. Esta evidencia fue encontrada inicialmente por Muestra RD1, y publicada en el Informe de La Quinta Columna, 28 de junio de 2021; Detección de Óxido de Grafeno en Suspensión Acuosa; Delgado Martín, Campra Madrid. [4][73][74][83]]

La respuesta inmunitaria a los ácidos dietéticos, metabólicos, ambientales y respiratorios, incluidas las micro y nanopartículas orgánicas e inorgánicas inoculadas de las supuestas "vacunas"

El cristal de sangre de color naranja brillante que se ve a continuación es ácido úrico solidificado por la ingestión de una dieta alta en proteínas procedentes de carne, sangre y fluidos intersticiales de animales. Observará que hay varios neutrófilos que intentan limpiar y eliminar esta masa tóxica. Este es el objetivo principal de los glóbulos blancos, que es gestionar y mantener el delicado equilibrio del pH alcalino de los fluidos corporales.

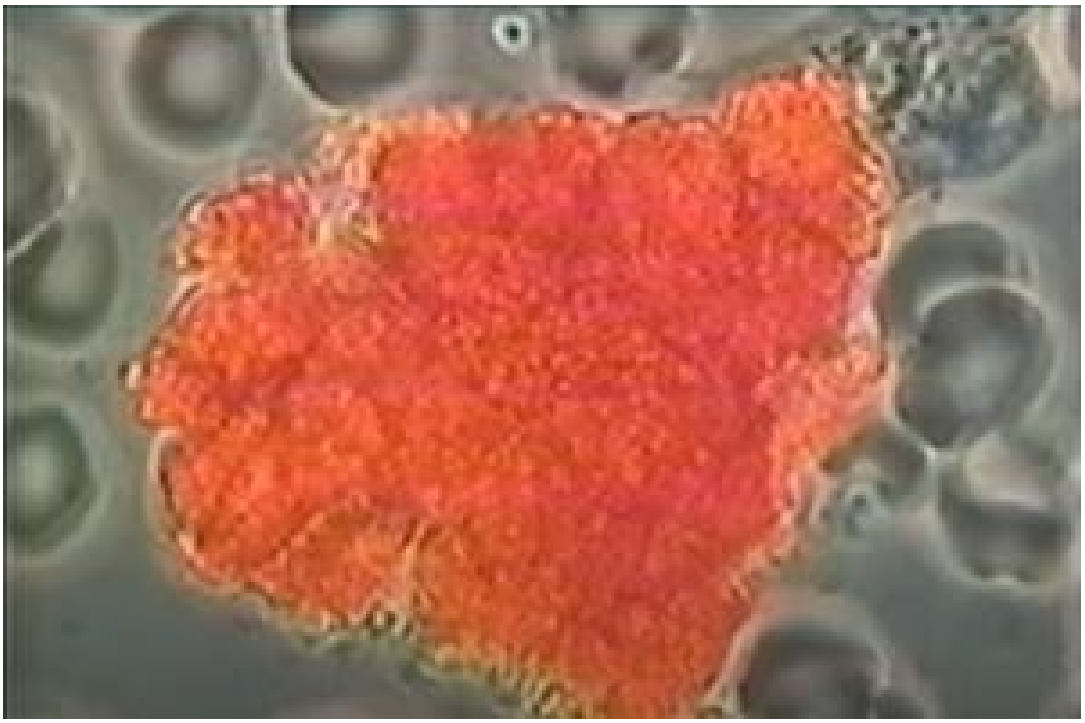

[https://youtu.be/yKONi_hDsfE Dr. Robert O. Young – Profiles in Medical Microscopy, Hikari Omni Publishing, 1987- 2021]

Al ver el vídeo de arriba se ven dos neutrófilos (los neutrófilos constituyen 2/3 del total de los glóbulos blancos) nadando por el plasma sanguíneo. El neutrófilo de la izquierda se mueve hacia abajo para recoger una transformación biológica de una levadura en forma de Y, como Candida albicans. En aproximadamente un minuto, verá cómo este neutrófilo expulsa esta levadura de forma Y altamente tóxica de vuelta al plasma sanguíneo.[https://youtu.be/yKONi_hDsfE Dr. Robert O. Young - Profiles in Medical Microscopy, Hikari Omni Publishing, 1987- 2021]

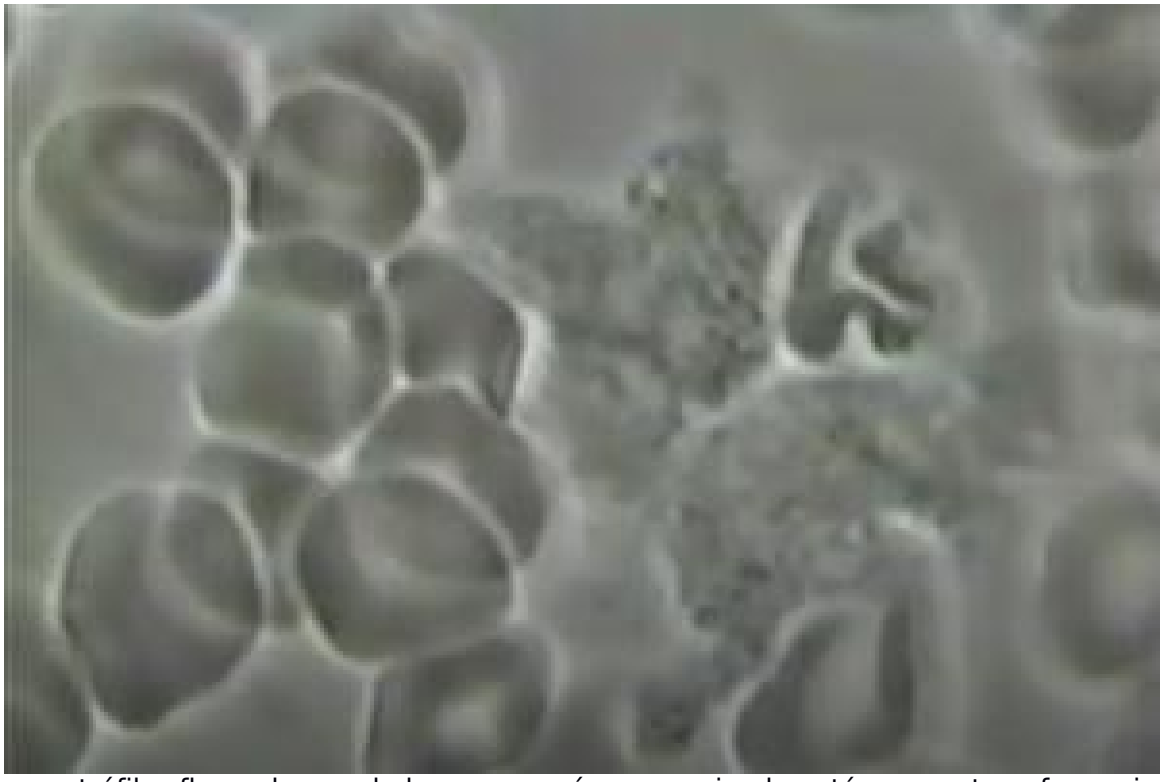

[Dos neutrófilos fluyendo por el plasma sanguíneo recogiendo patógenos o transformaciones biológicas de bacterias y levaduras a partir de la degeneración celular de lo que solían ser células corporales sanas. Dr. Robert O. Young - Profiles in Medical Microscopy, Hikari Omni Publishing, 1987-2021].

Esta es la función principal de los neutrófilos: recoger micro y nano partículas orgánicas y no orgánicas, como el ácido láctico, el ácido úrico, las bacterias, la levadura, el moho e incluso el óxido de grafeno, como se ve en la micrografía de abajo etiquetada como GO a la derecha y un neutrófilo etiquetado como NET a la izquierda.

Una vez más, los neutrófilos son glóbulos blancos que intentan aislar y luego recoger y eliminar el óxido de grafeno, un patógeno ácido tóxico que está contenido en todas las supuestas vacunas contra el CoV - 2 - 19, ¡como se ve en la micrografía de campo oscuro de abajo!

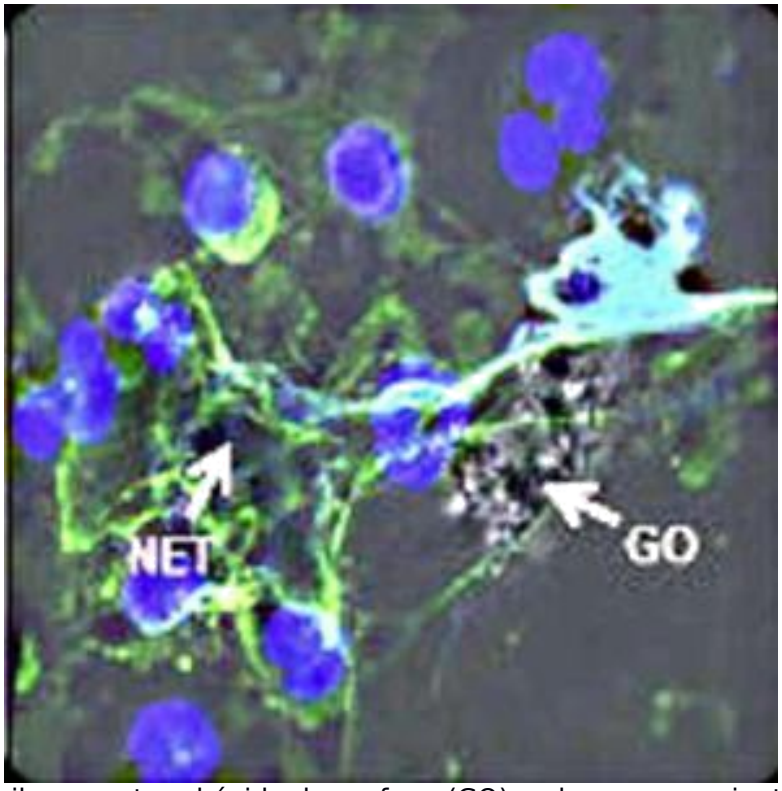

[La micrografía de arriba muestra el óxido de grafeno (GO) y el envenenamiento y la destrucción de los neutrófilos (NET - que constituyen más del 60% de todos los glóbulos blancos) que están diseñados para recoger y eliminar los residuos químicos tóxicos y biológicos extraños. Los científicos del Instituto Karlinska, la Universidad de Manchester, la Universidad Tecnológica de Chalmers y el equipo científico del Dr. Robert O. Young han demostrado que el sistema inmunitario humano trata al óxido de grafeno de la misma manera que a las bacterias, las levaduras o el moho. [83]]

La espectroscopia de rayos X de energía dispersiva revela la presencia de rGO en la vacuna de Pfizer[5] [6] [7]

La fracción líquida de la vacuna Pfizer se analizó luego para determinar su contenido químico y elemental mediante espectroscopia de energía dispersiva de rayos X (*EDS)*, como se observa en **la figura 6**. El espectro EDS mostró la presencia de Carbono, Oxígeno (verificando los elementos de rGO) y Sodio y Cloruro ya que la muestra mostrada en **las Figuras 2, 3, 5, 6, 7 y 7a** fueron diluidas en una solución salina.

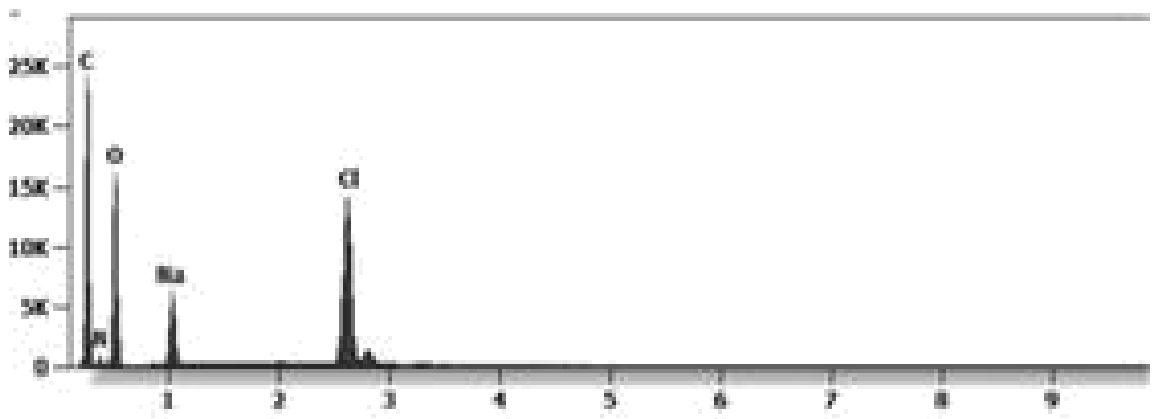

[La figura 7 muestra un espectro de una "vacuna" de Pfizer bajo un microscopio ESEM acoplado a una microsonda de rayos X EDS (eje X =KeV, eje Y = Conteo) identificando Carbono, Oxígeno, Sodio

y Cloruro. [83]]

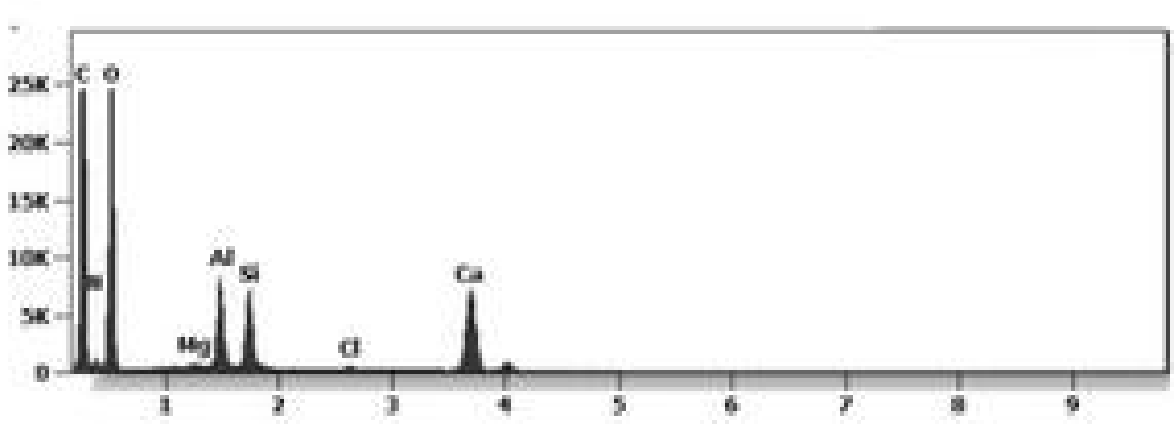

[La figura 7a muestra el espectro de una "vacuna" de Pfizer con nanopartículas de óxido de grafeno, magnesio, aluminio, silicio, cloruro y calcio identificadas en un microscopio ESEM acoplado a una microsonda de rayos X EDS. (Eje X =KeV, Eje Y = Recuentos) [75][83]]

La cuantificación del ARNm en la vacuna de Pfizer

La cuantificación del ARN en la muestra de Pfizer se realizó con protocolos convencionales (Fisher).

Según el software específico de comprobación de calibración del espectrofotómetro NanoDropTM 2000 (Thermofisher), el espectro de absorción UV de la fracción acuosa total se correlacionó con 747 ng/ul de sustancias absorbentes desconocidas.

Sin embargo, tras la extracción del ARN con un kit comercial (Thermofisher), la cuantificación con la sonda de fluorescencia Qbit específica para el ARN (Thermofisher) mostró que sólo 6 ng/ul podían relacionarse con la presencia de ARN. El espectro era compatible con el pico del rGO a 270 nm.

Según las imágenes microscópicas presentadas aquí, la mayor parte de esta absorbencia podría deberse a las láminas de grafeno, abundantes en la suspensión de fluidos en la muestra.

Las conclusiones se apoyan además en la elevada fluorescencia de la muestra con un máximo a 340 nm, de acuerdo con los valores máximos del rGO. Hay que recordar que el ARN no muestra fluorescencia espontánea bajo la exposición a los rayos UV.

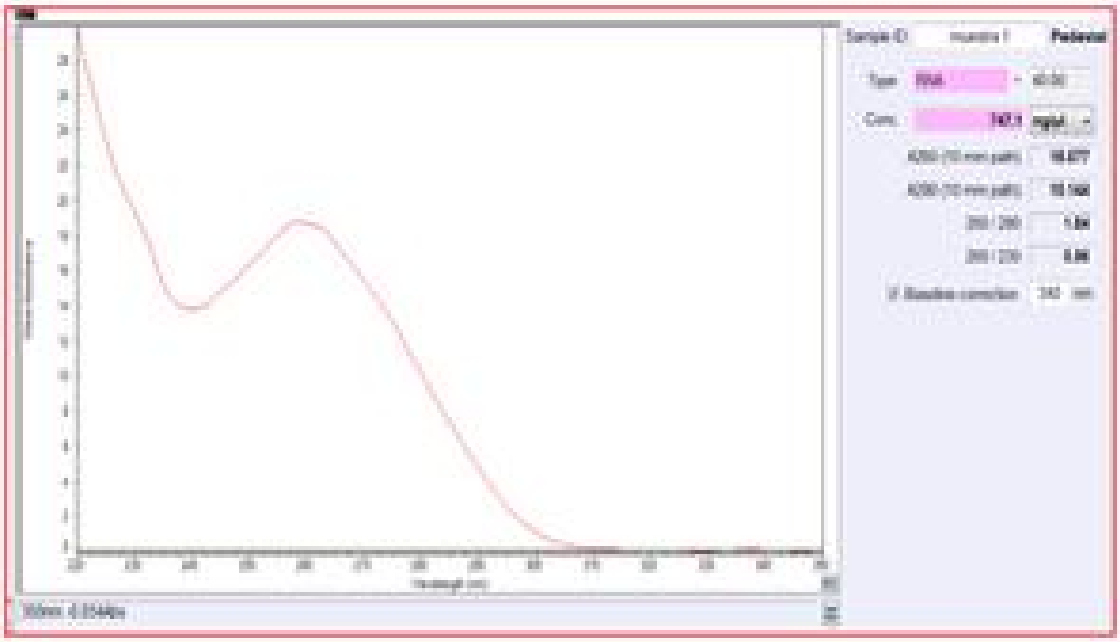

[Figura 8 - Espectro UV de la fracción acuosa de la muestra de vacuna de Pfizer. [1][2][3][5][6][83]]

Prueba de fluorescencia ultravioleta de la fracción acuosa de Pfizer para el óxido de grafeno reducido (rGO)[6]

Los espectros de absorción y fluorescencia ultravioleta se obtuvieron con el espectrofotómetro Cytation 5 Cell Imaging Multi-Mode Reader (BioteK). El espectro de absorción ultravioleta confirmó un pico máximo a 270 nm, compatible con la presencia de partículas de rGO.

El máximo de fluorescencia UV a 340 nm también sugiere la presencia de cantidades significativas de rGO en la muestra (Bano et al, 2019).

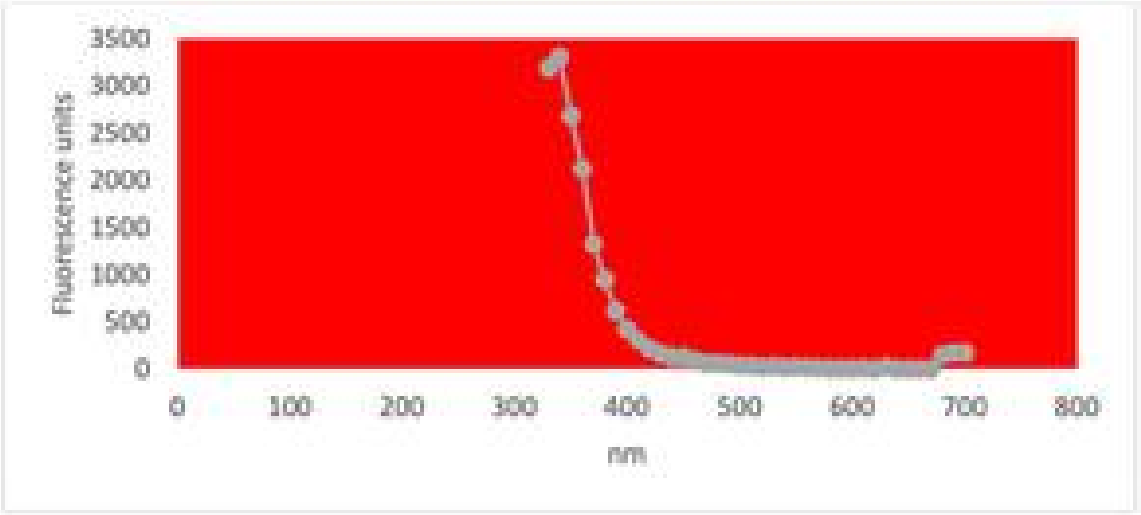

[Figura 9 - Los espectros de absorción y fluorescencia UV se obtuvieron con el espectrofotómetro Cytation 5 Cell Imaging Multi-Mode Reader (BioteK). El espectro de absorbencia UV confirmó un pico máximo a 270 nm, compatible con la presencia de rGO. El máximo de fluorescencia UV a 340 nm también sugiere la presencia de cantidades significativas de rGO en la muestra (Bano et al, 2019)].

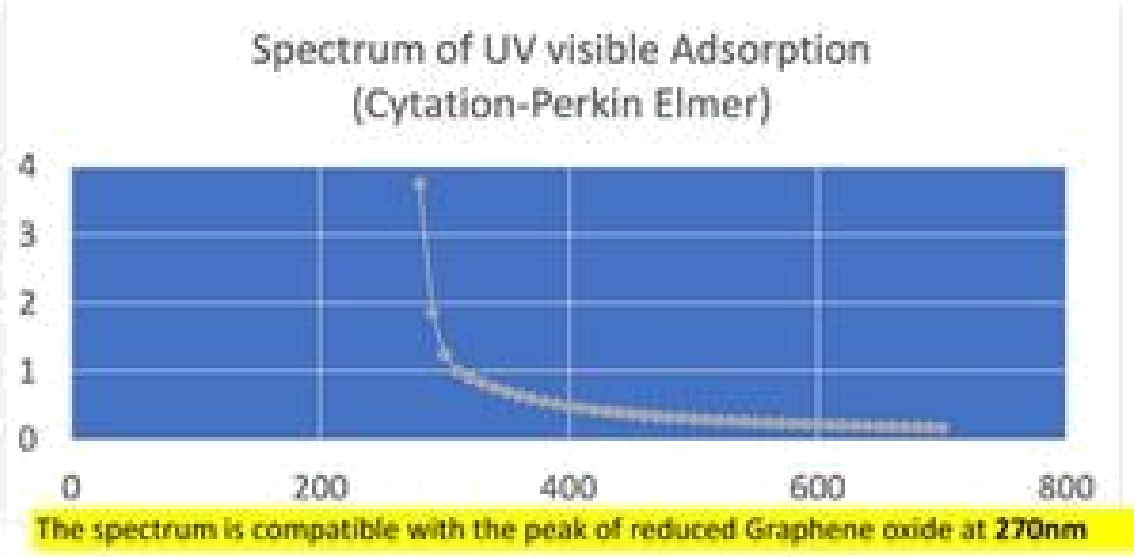

[Figura 10 - El análisis de espectroscopia UV mostró una adsorción debida a la presencia de óxido de grafeno reducido, lo que se confirma por la observación bajo microscopía ultravioleta visible].

Las figuras 11 y 12 siguientes muestran una micrografía de diferentes micro y nano partículas que han sido identificadas en las supuestas "vacunas" de Pfizer, Moderna, Astrazeneca y Janssen, y analizadas con un Microscopio Electrónico de Barrido Ambiental (SEM) acoplado a una microsonda de rayos X de un Sistema de Energía Dispersiva (EDS) que revela el tamaño de las partículas, la distribución de la composición y la naturaleza química de las micro y nanopartículas observadas. [6][7][8][83][84]

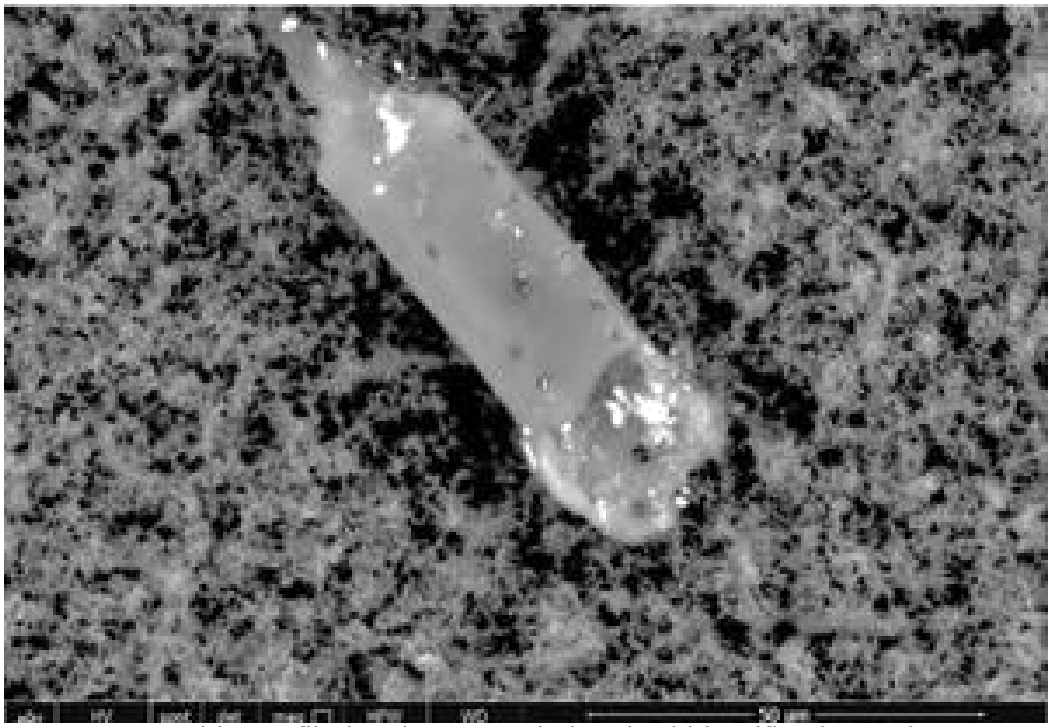

[La figura 11 muestra residuos afilados de 20 um de longitud identificados en la supuesta "vacuna" de Pfizer que contienen carbono, oxígeno, cromo, azufre, aluminio, cloruro y nitrógeno. [75][83]]

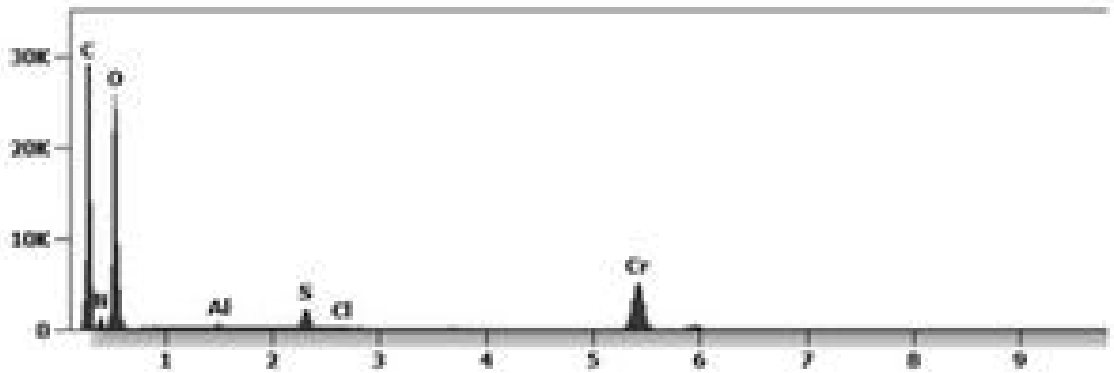

[La figura 12 muestra una partícula de 20 micras de longitud identificada en la supuesta "vacuna" de Pfizer. Está compuesta por carbono, oxígeno, cromo, azufre, aluminio, cloruro y nitrógeno. [75][83]]

Las figuras 13 y 14 siguientes muestran una micrografía de diferentes micro y nano partículas que han sido identificadas en las supuestas "vacunas" de Pfizer, Moderna, Astrazeneca y Janssen, y analizadas con un Microscopio Electrónico de Barrido Ambiental (SEM) acoplado a una microsonda de rayos X de un Sistema de Energía Dispersiva (EDS) que revela el tamaño de las partículas, la distribución de la composición y la naturaleza química de las micro y nano partículas observadas.

¿Hay parásitos en las "vacunas" de Pfizer?

Un cuerpo alargado de 50 micras, como se ve en **la figura 13,** es una presencia afilada misteriosa en la vacuna de Pfizer. Aparece y se identifica anatómicamente como un ***parásito Trypanosoma cruzi del que varias variantes son letales y es una de las muchas causas del síndrome de inmunodeficiencia adquirida o SIDA. [Atlas de Parasitología Humana, 4ª edición, Lawrence Ash y Thomas Orithel, páginas 174 a 178][9][83]***

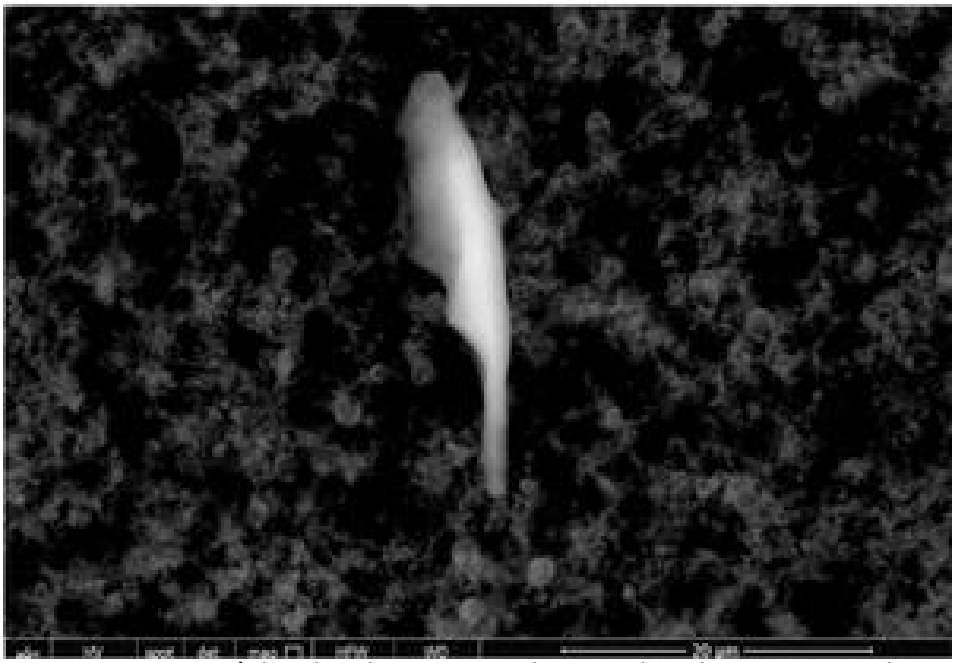
[La figura 13 muestra un parásito de tripanosoma de aproximadamente 50 micras de longitud encontrado en la supuesta "vacuna" de Pfizer. Está compuesto de carbono, oxígeno, cromo, azufre, aluminio, cloruro y nitrógeno. [83]]

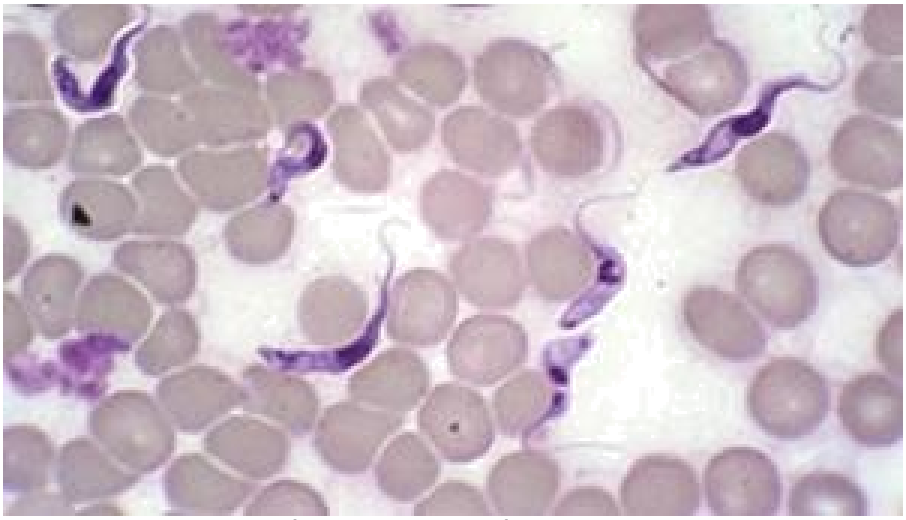

[La figura 13a muestra una micrografía de microscopía de contraste de (pH)fase de sangre viva del parásito Trypanosoma cruzi. [9][83]]

La figura 14 identifica una composición de nanopartículas que incluye carbono, oxígeno, cromo, azufre, aluminio, cloruro y nitrógeno que también se encuentran en las "vacunas" CoV-19.

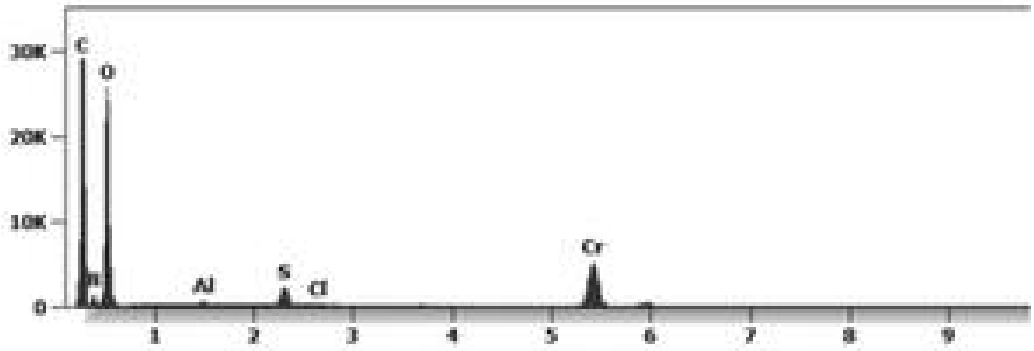

[La figura 14 identifica un compuesto de nanopartículas. [75][83]]

Las figuras 15 y 16 abajo muestran una micrografía de diferentes micro y nano partículas que han sido identificadas y analizadas bajo un Microscopio Electrónico de Barrido Ambiental (SEM) acoplado a una microsonda de rayos X de un Sistema de Energía Dispersiva (EDS) que revela la naturaleza química de las micro y nano partículas observadas y su morfología.

La partícula blanca de 2 micras de longitud está compuesta por bismuto, carbono, oxígeno, aluminio, sodio, cobre y nitrógeno. [75] [76][83]

[La figura 15 muestra las partículas nano y micrónicas identificadas en la "vacuna" de Pfizer. La partícula blanca de 2 micras de longitud está compuesta por bismuto, carbono, oxígeno, aluminio, sodio, cobre y nitrógeno. [75][76][83]]

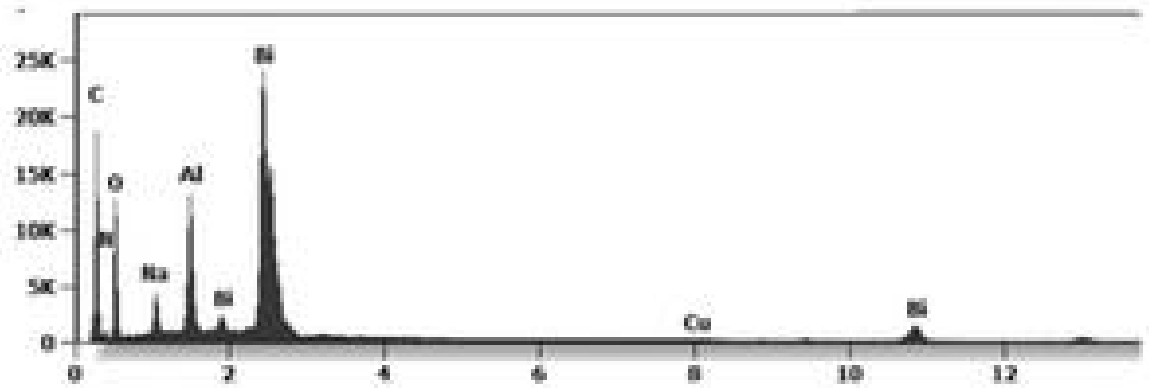

[La figura 16 muestra que las partículas blancas de 2 micras que se encuentran en la supuesta "vacuna" de Pfizer están compuestas de bismuto, carbono, oxígeno, aluminio, sodio, cobre y nitrógeno. [75][76][84]]

Las figuras 17 y 18 muestran la identificación de partículas orgánicas de carbono, oxígeno y nitrógeno con un aglomerado de nanopartículas incrustadas que incluyen bismuto, titanio, vanadio, hierro, cobre, silicio y aluminio, todas ellas encontradas en la supuesta **"vacuna" de Pfizer**.[75][76][83][84]

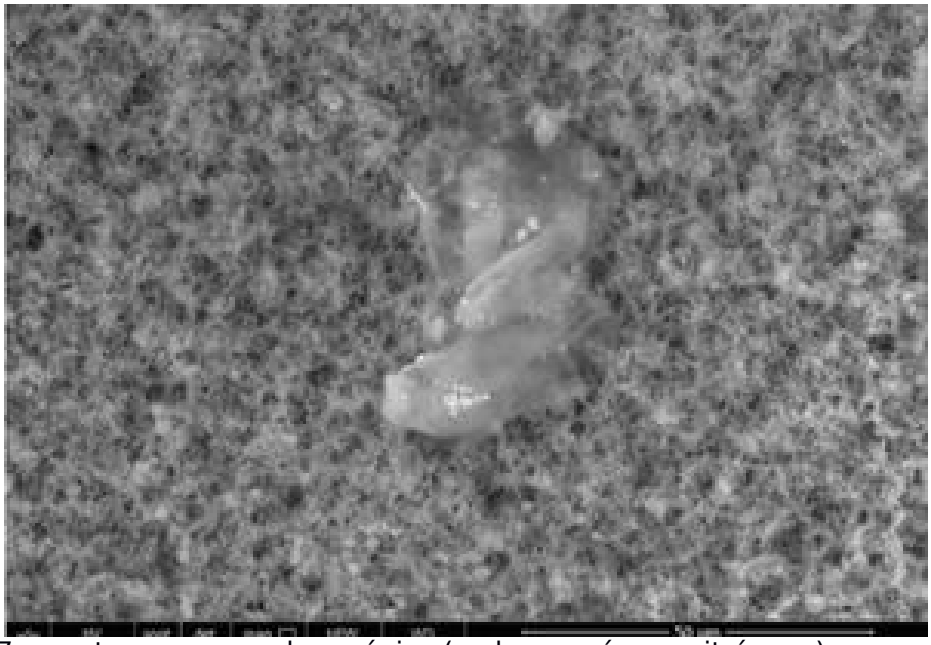

[La figura 17 muestra un agregado orgánico (carbono-oxígeno-nitrógeno) con nanopartículas incrustadas de bismuto, titanio, vanadio, hierro, cobre, silicio y aluminio ¡incrustadas en la "vacuna" de Pfizer![75][76][83]].

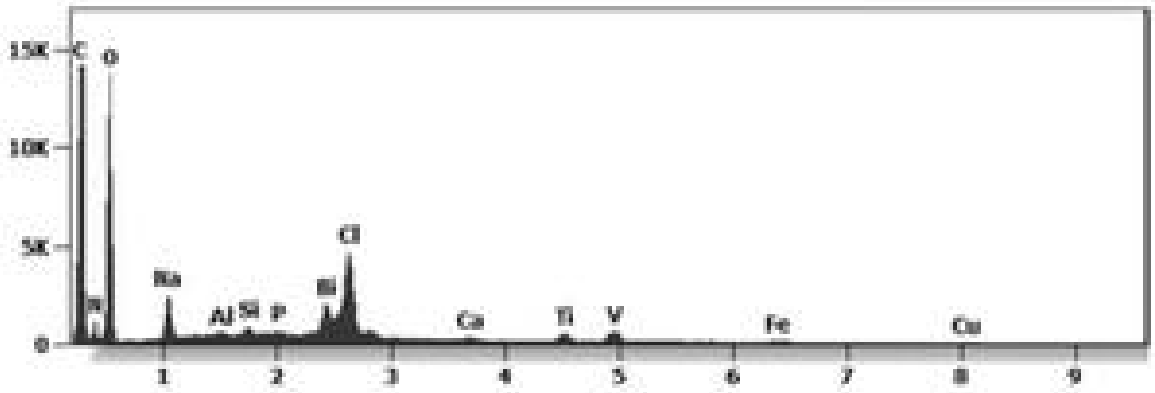

[La figura 18 muestra un agregado orgánico (carbono-oxígeno-nitrógeno) con nanopartículas incrustadas de bismuto, titanio, vanadio, hierro, cobre, silicio y aluminio ¡incrustadas en la "vacuna" de Pfizer![75][76][83][84]].

[2] Los ingredientes no revelados de la "vacuna" de Astrazeneca

Las figuras 19 y 20 muestran un agregado diseñado de hierro, cromo y níquel, también conocido como acero inoxidable, de micro y nano partículas incrustadas e identificadas en la **"vacuna" de Astrazeneca,** vistas bajo Microscopía Electrónica de Transmisión (TEM) y cuantificadas (EDS) con una microsonda de rayos X de un Sistema de Energía Dispersiva (EDS) que revela la naturaleza química de las micro y nano partículas observadas y su morfología.

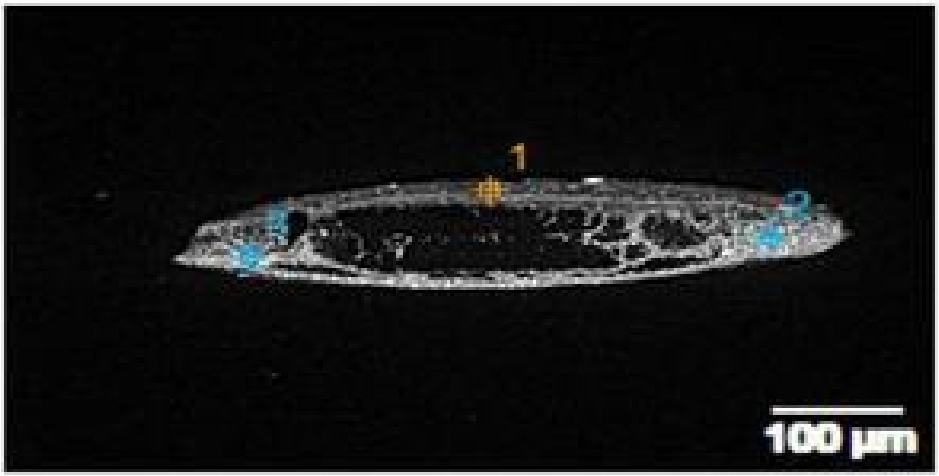

[Figura 19 - Agregado diseñado de hierro, cromo y níquel también conocido como acero inoxidable. [75][83]]

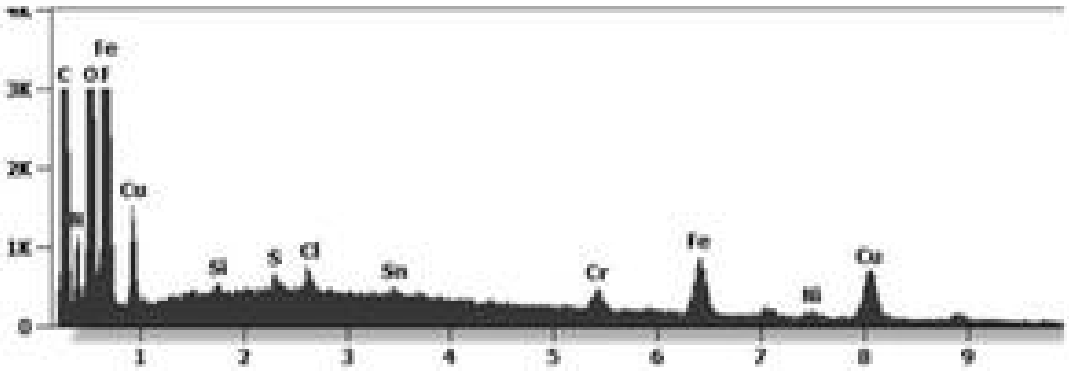

[La figura 20 muestra las nano partículas cuantificadas en la "vacuna" de Astrazeneca con una microsonda de rayos X de un Sistema de Energía Dispersiva que revela la naturaleza química de las micro y nano partículas observadas. [75][76][83]]

Se utilizó el instrumento XRF (fluorescencia de rayos X) para evaluar los adyuvantes de la **"vacuna" de Astrazeneca**, que identificó las siguientes moléculas de histidina, sacarosa, **polietilenglicol (PEG)** y alcohol etílico, también contenidas en las "vacunas" de Pfizer y Moderna. Los resultados de esta prueba pueden verse en la figura 20. [10][83]

Se sabe que la inyección de PEG y alcohol etílico son cancerígenos y genotóxicos. [10][83] El PEG era el único adyuvante declarado en la ficha técnica que enumeraba los ingredientes de la **"vacuna" de Astrazeneca**, pero también estaba presente en las "vacunas" de Pfizer y Moderna**.**

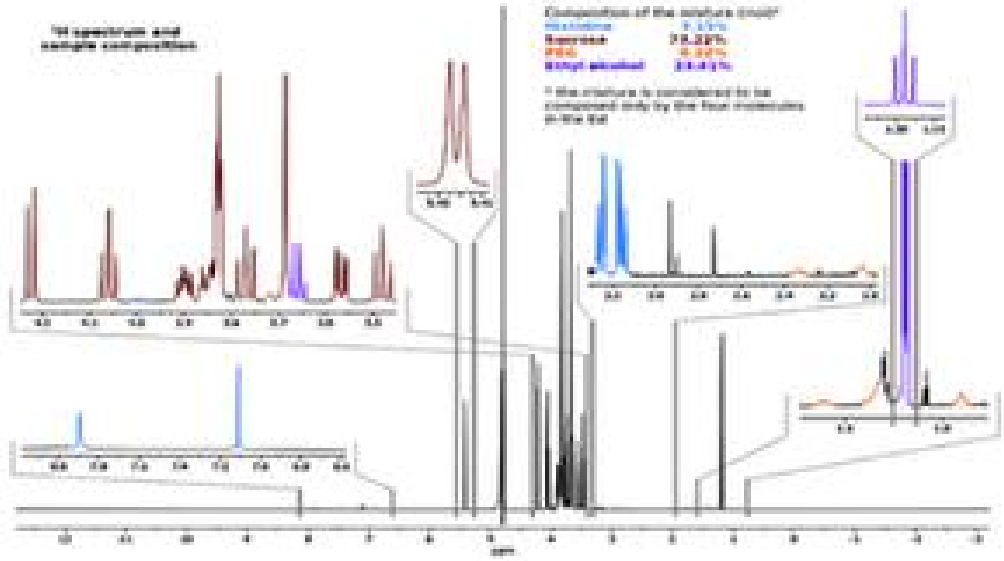

[La Figura 21 identifica el espectro de los adyuvantes de las vacunas de AstraZeneca. Se utilizan diferentes colores para las cuatro moléculas identificadas mediante espectros de referencia. La concentración relativa se calcula sobre las integrales de las señales de referencia para las moléculas en un espectro cuantitativo adquirido con un ciclo de trabajo de 5 segundos con el T1 calculado más largo fue de 5 segundos].

[3] Los ingredientes no revelados de la "vacuna" de Janssen

Las figuras 22 y 23 muestran un agregado orgánico-inorgánico identificado en la "vacuna" de Janssen. Las partículas están compuestas de acero inoxidable y están pegadas con un "**pegamento a base de carbono**" de óxido de grafeno reducido. [11] **Este agregado es altamente magnético y puede desencadenar la coagulación patológica de la sangre y la creación del "Efecto Corona" o "Efecto Proteína de Pico" a partir de la degeneración de la membrana celular debido a las interacciones con otros dipolos. [11] Puede ver estas reacciones biológicas o transformaciones celulares en la sangre viva bajo Microscopía de Contraste de (pH)Fase y de Campo Oscuro en las Figuras 24, 25 y 26.[1] [12]**

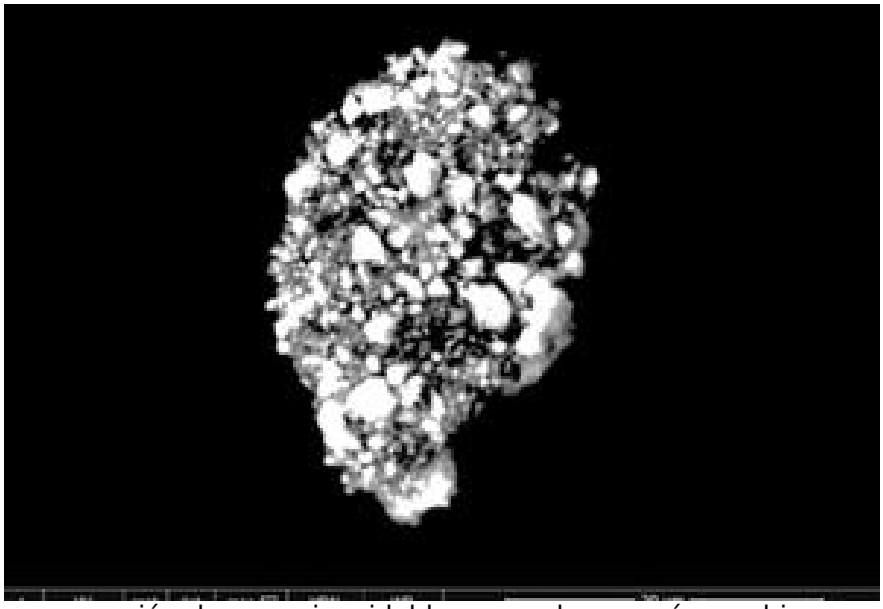

[Figura 22 Una agomeración de acero inoxidable con carbono, oxígeno, hierro y níquel unidos al óxido de grafeno. [75][83]]

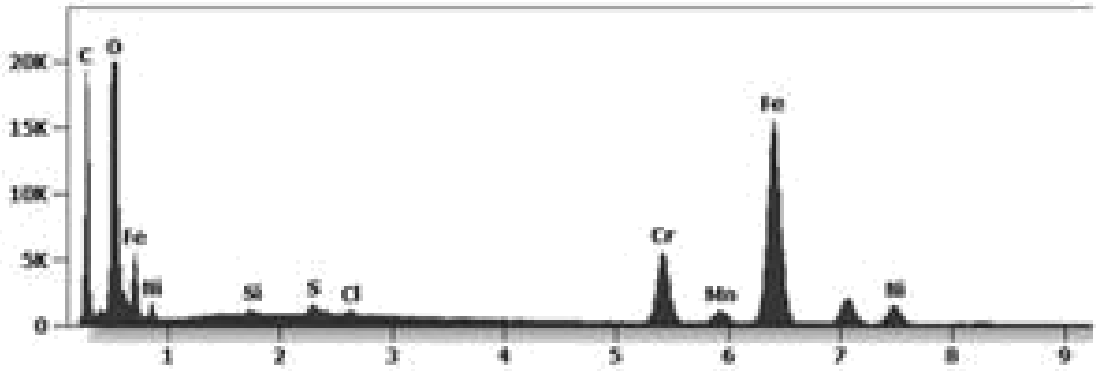

[La figura 23 muestra elementos de carbono, oxígeno, hierro y níquel unidos al óxido de grafeno. [75][83]]

El Efecto Corona y el efecto de la Proteína de Pico

El "Efecto Corona" y de "Proteína de Pico" creados endógenamente SON causados por el envenenamiento químico, parasitario y de radiación del Óxido de Grafeno Reducido y la radiación de microondas! [12] [82][83]

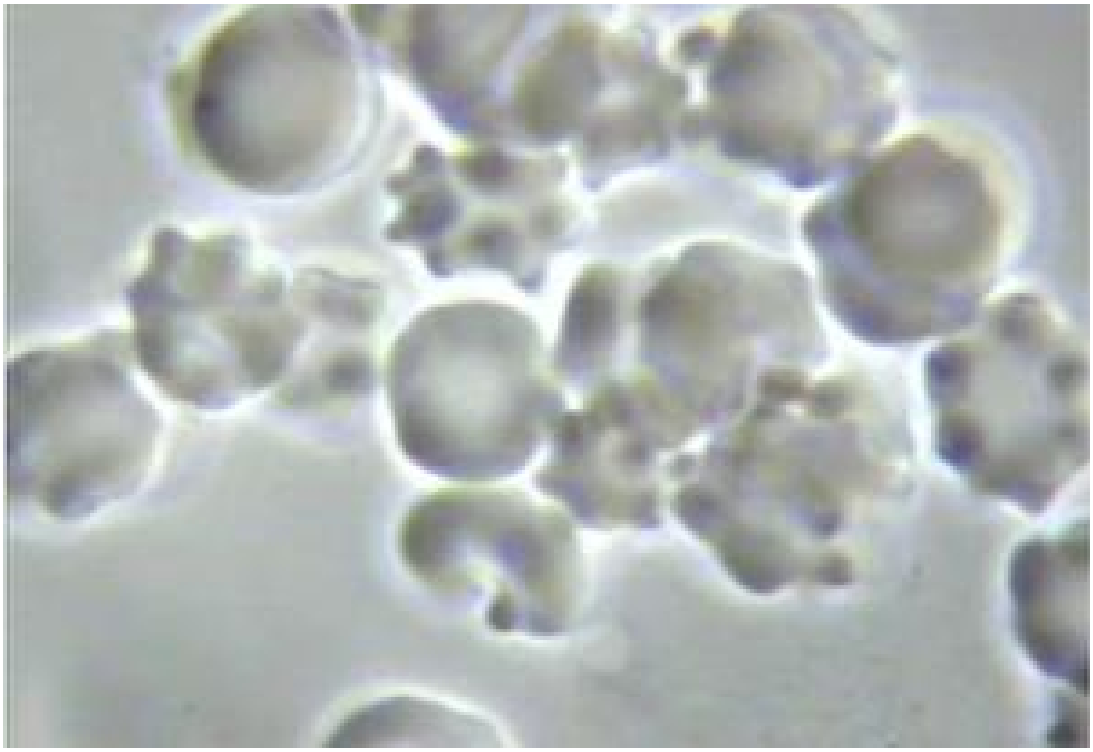

[Figura 24 "El efecto corona" y la creación endógena de exosomas debido al envenenamiento químico y por radiación de los fluidos vasculares e intersticiales del intersticio. Dr. Robert O. Young, Hikari Omni Publishing, 1987 - 2021. [83]]

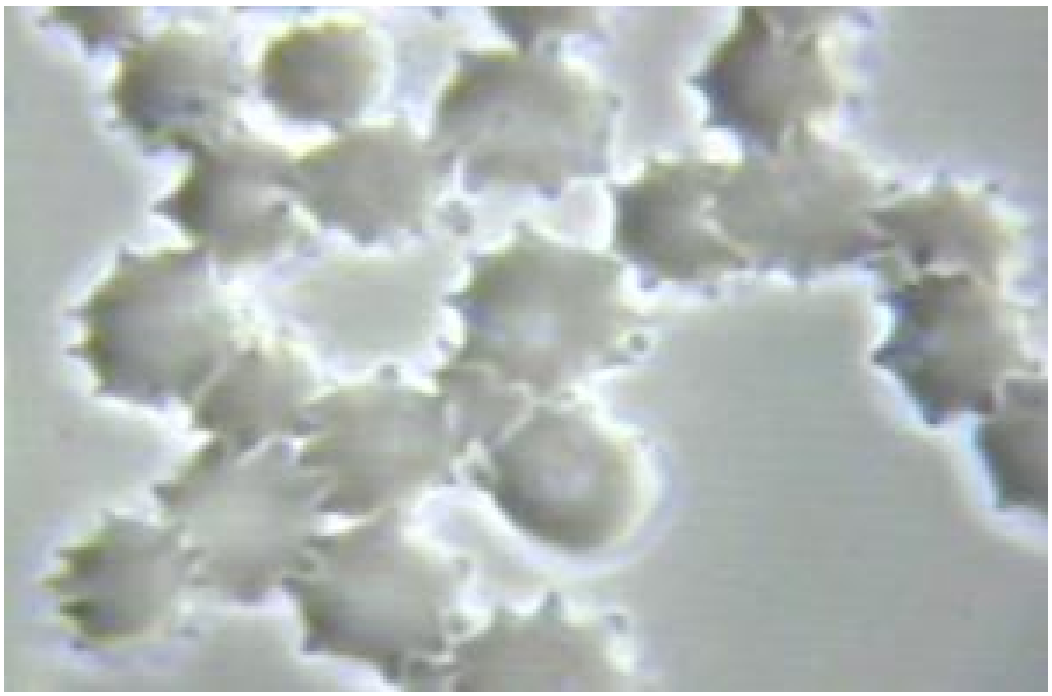

[La figura 25 muestra el "Efecto Corona" y el nacimiento endógeno de los peplómeros de proteína S1 causados por la radiación y el envenenamiento químico o lo que yo llamo el "Efecto Proteína de Pico". Dr. Robert O. Young, Hikari Omni Publishing, 1987 - 2021. [83]]

[Figura 26 Esta micrografía muestra el nacimiento endógeno de la "proteína de la espícula viral" como una Exfección y no como una Infección. Dr. Robert O. Young, Hikari Omni Publishing , 1987 - 2021,[83]]

Videos de la sangre 1 de 4 - La sangre de un hombre de 55 años con cáncer cerebral metastásico - RTPCR CoV -19 positivo

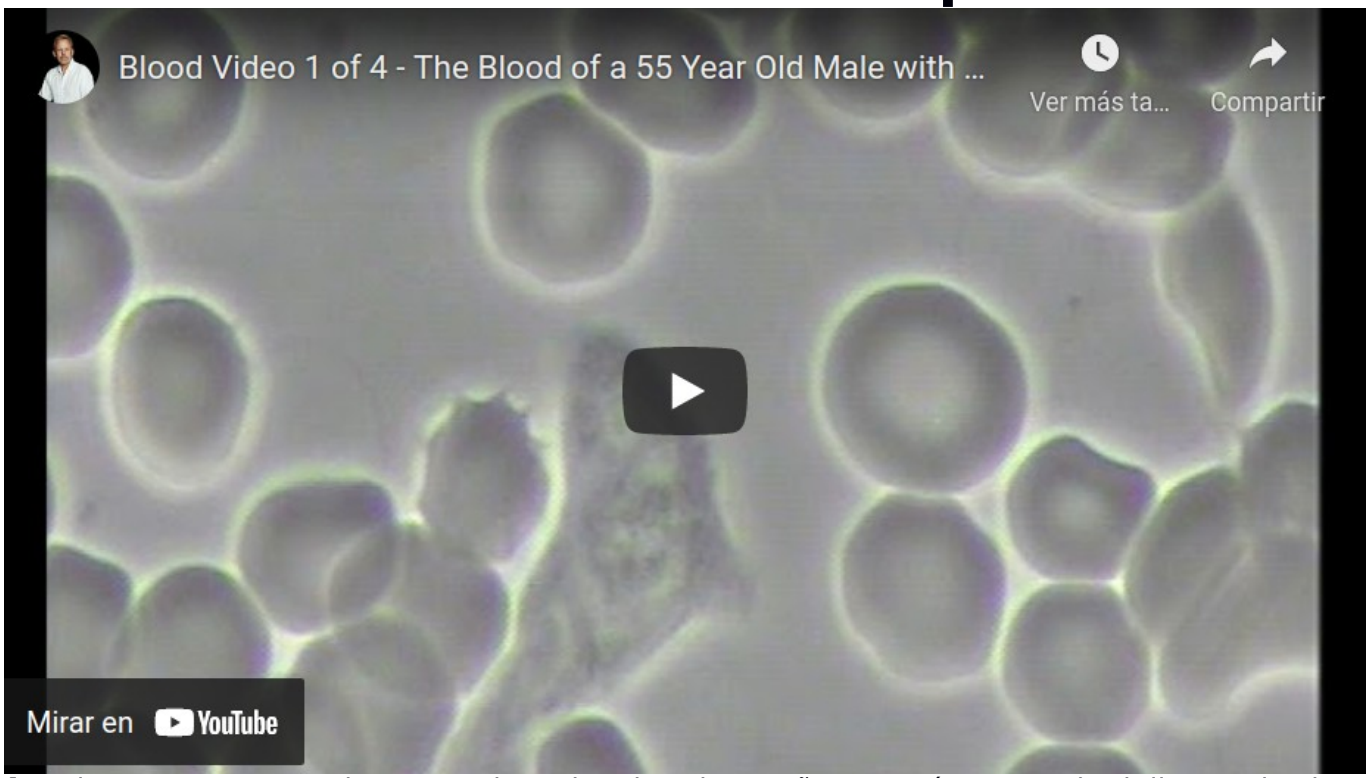

[La Figura 26a muestra la sangre de un hombre de 55 años con cáncer cerebral diagnosticado y metástasis en el pulmón, la vesícula biliar y la sangre. También dio positivo en test RTPCR para CoVid-2 renombrado como CoVid-19. Tenga en cuenta el glóbulo rojo que muestra el "Efecto Corona" a la izquierda del neutrófilo. Los neutrófilos constituyen 2/3 del recuento total de glóbulos blancos. Son los recolectores de basura y purificadores de la sangre.]
https://youtu.be/HYBj13hHxGA [83]]

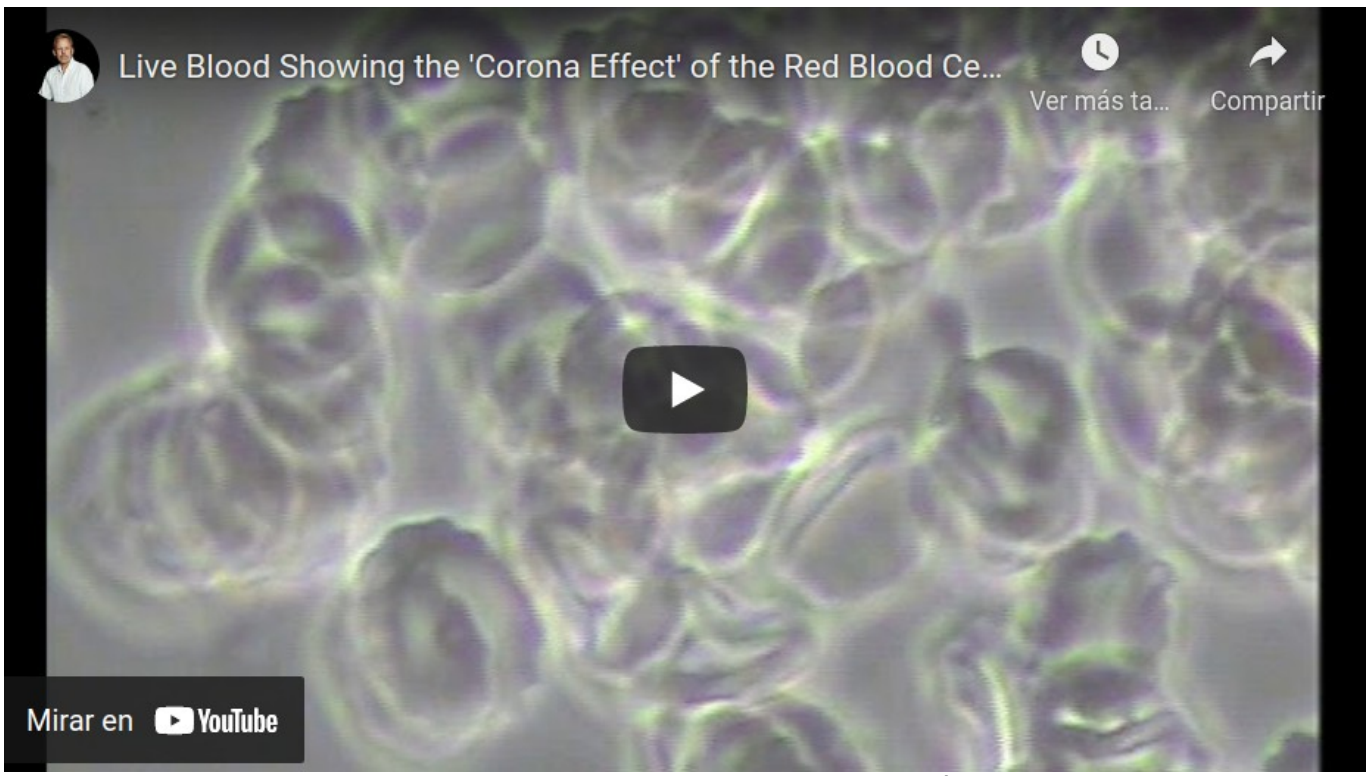

[La Figura 26b muestra la sangre viva como se ve bajo microscopía de contraste de (pH)Fase a

más de 1000x de aumento que muestra la transformación biológica de los glóbulos rojos cuando dan a luz a la "proteína con picos" y la coronación de sus membranas celulares, que llamo el "Efecto Corona". "]] https://youtu.be/l7ESjNmJX_g [83]

[La Figura 26c muestra un neutrófilo granulocítico o el glóbulo blanco dominante que elimina los desechos celulares de los fluidos vasculares. Esto no es inmunidad, sino un neutrófilo que limpia los fluidos vasculares de los desechos celulares de las células del cuerpo, alimentos y partículas ambientales y nanopartículas como aluminio, grafeno, titanio, cobre, hierro, etc.] https://youtu.be/dGX-UFEy2JQ [83]

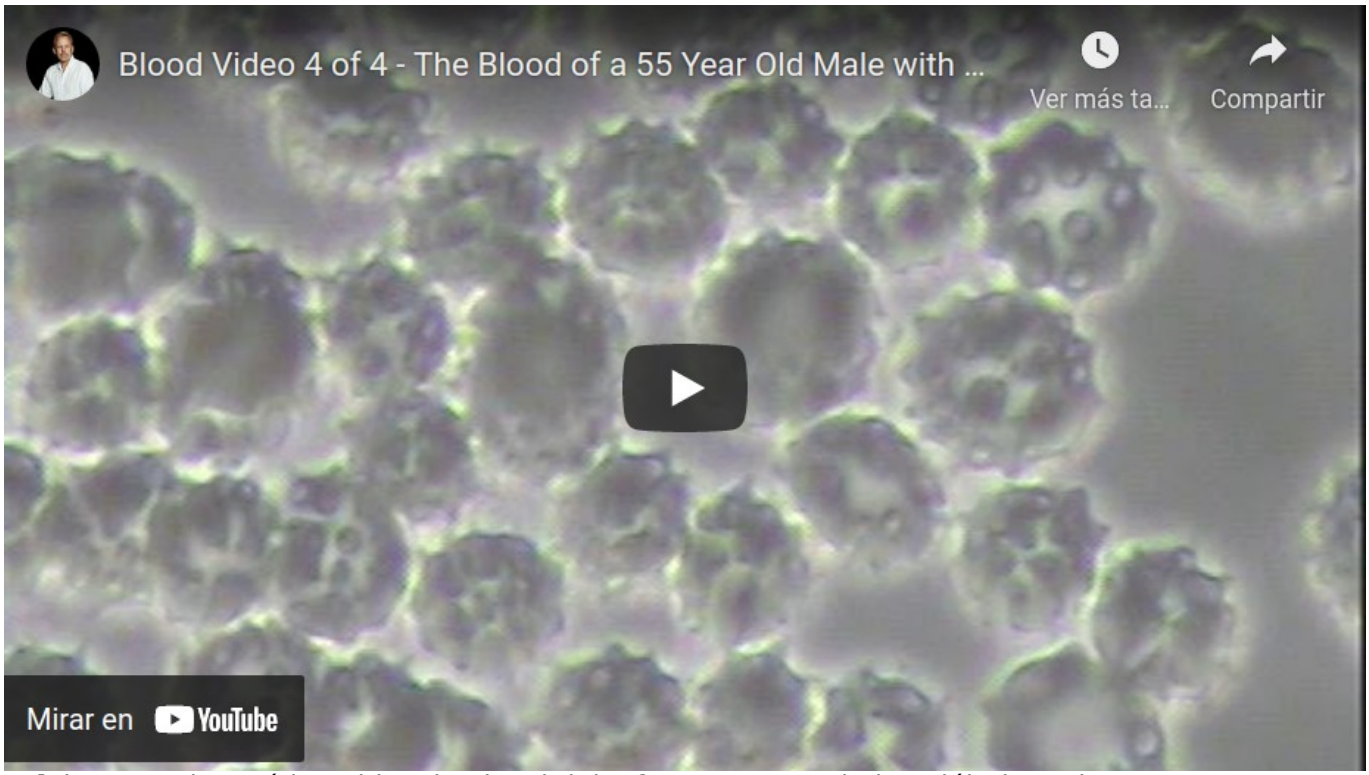

[Figura 26d: Verá la evidencia visual del 'Efecto Corona' de los glóbulos rojos que NO es una condición infecciosa viral sino una condición de estilo de vida ácido degenerativo de las

membranas celulares que degeneran debido a una bioquímica del fluido intersticial ácido, un campo electromagnético ácido y un entorno privado de oxígeno] **https://youtu.be/-c7KDneWK4U** [83]

Las figuras 24 y 25 muestran el "EFECTO CORONA" en los glóbulos rojos y la figura 26 muestra el "EFECTO PROTEÍNA DE ESPÍCULA", ambos causados por la acidosis descompensada de los fluidos intersticiales y luego los vasculares debido a un estilo de vida ácido y, en concreto, a la exposición a campos electromagnéticos pulsantes tóxicos de (frecuencias de) 2,4 gHz o superiores, al envenenamiento químico por los alimentos y el agua ingeridos, a la contaminación atmosférica ácida y tóxica, a las estelas químicas y, por si fuera poco, a la inoculación "contra" CoV-19 cargada de nano partículas químicas. [12][82]

El campo magnético y el óxido de grafeno

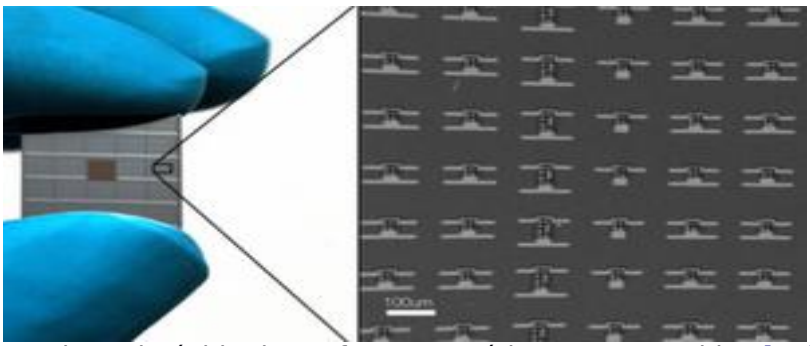

[Nanobots de óxido de grafeno magnéticos programables [82]]

Se ha comprobado que los nanobots magnéticos programables "GO" inyectados en los fluidos vasculares e intersticiales de un cuerpo humano o animal se depositan en los tejidos conectivos y grasos y luego en los órganos y glándulas, causando potencialmente la transformación biológica de la membrana celular (coronación y pico de proteínas), la mutación genética y la muerte de la célula, como se ve en las micrografías de microscopía de campo oscuro, como se ve arriba en las figuras 24, 25, 26. [77] [78][82]

Las técnicas originales de nanofabricación fueron desarrolladas por Marc Miskin y sus colegas de la Universidad de Cornell. La investigación se presentó en la American Physical Society en marzo de 2017. Según un comunicado de *EurekAlert*, el equipo pasó años desarrollando un proceso de nanofabricación que puede producir un millón de **nanobots** a partir de una oblea de silicio especializada de 4 pulgadas en el lapso de semanas. [82]

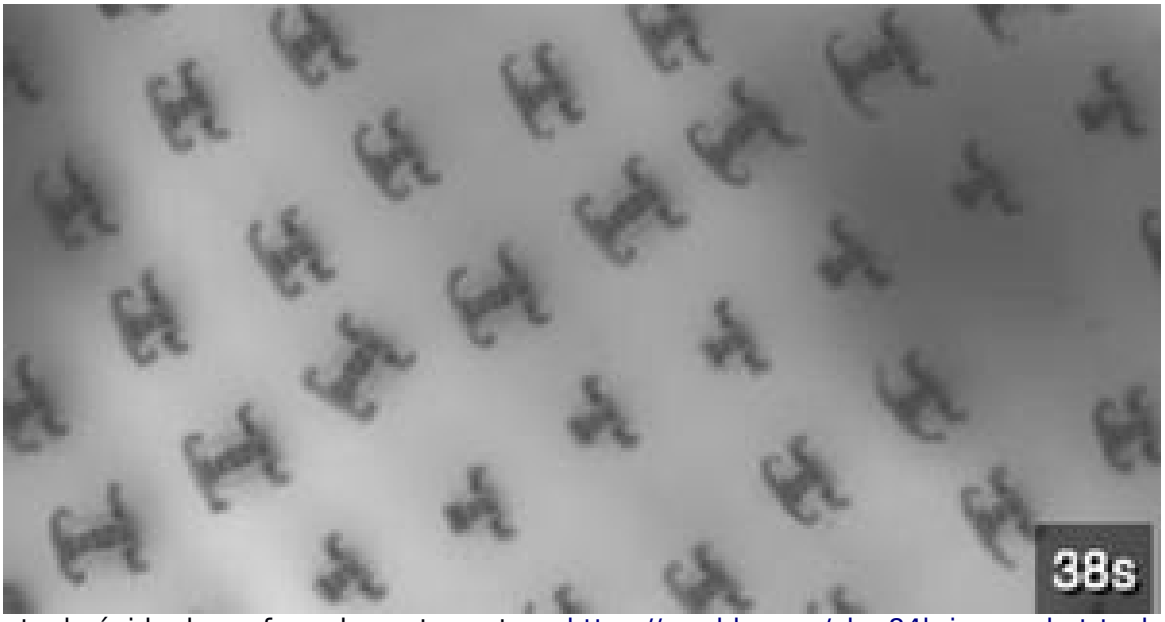

[Nanobots de óxido de grafeno de cuatro patas - https://rumble.com/vkm84h-is-nanobot-technology-or-artificial-intelligence-viable-inside-the-human-bo.html [82]]

Estos microrobots mostrados arriba tienen cuatro patas y están compuestos de óxido de grafeno hexagonal, que es altamente magnético, flexible y súper fuerte. [77][78][82]

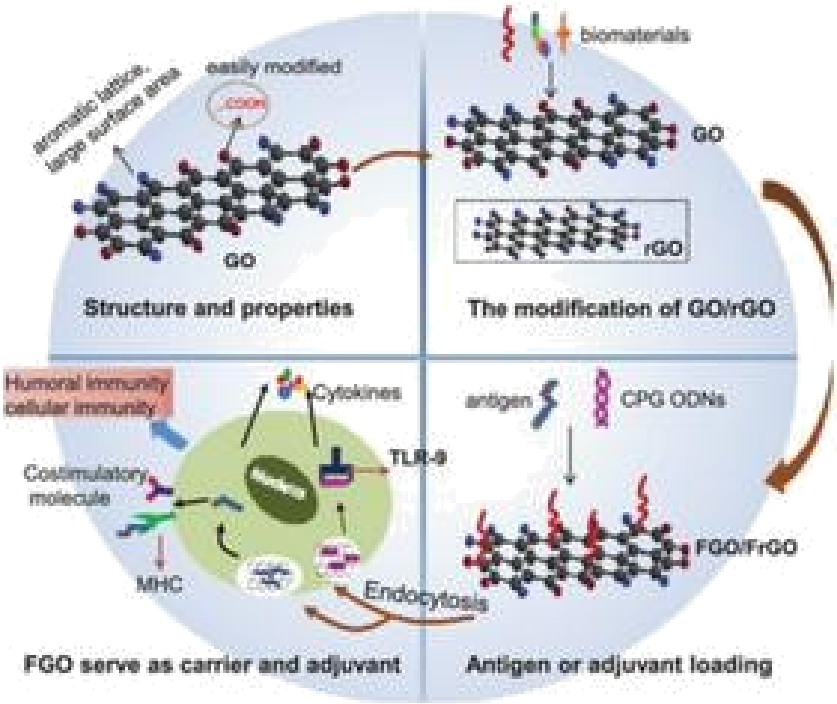

El siguiente es el enlace a un vídeo que muestra la activación del óxido de grafeno provocada por frecuencias de microondas pulsantes electromagnéticas (EMF):

[https://rumble.com/vkm84h-is-nanobot-technology-or-artificial-intelligence-viable-inside-the-human-bo.html] [79][82]

Nanopartículas de óxido de grafeno -

https://forbiddenknowledgetv.net/dr-david-martin-just-ended-covid-fauci-doj-politicians-in-one-interview/ [82]

Esto permite a los nanobots de óxido de grafeno transportar un cuerpo que pese unas 8.000 veces más que cada pata. Además, cada pata mide sólo 100 átomos y hasta 1 átomo de grosor, y pueden transportar cuerpos de 1.000 a 100.000 veces más gruesos. [82][83]

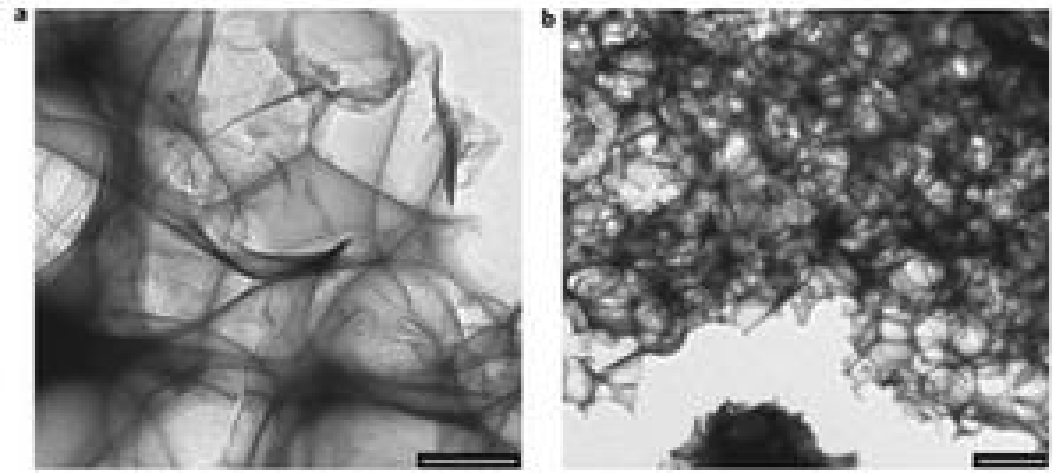

[Se han encontrado versiones "inteligentes" hexagonales de nanobots de óxido de grafeno en las vacunas de Pfizer, Moderna, Astrazeneca y Janssen. [82][83]]

Otros investigadores han desarrollado ahora versiones "inteligentes" de estos nanobots de óxido de grafeno. Estas versiones cuentan con controladores, sensores, transmisores y relojes. [82][83]

Los **nanobots de óxido de grafeno** se alimentan mediante el uso de campos magnéticos (EMF) o ultrasonidos, lo que hace posible que viajen profundamente a los tejidos, órganos y glándulas del cuerpo humano (como los órganos reproductores, [80][82][83] la médula ósea, a través de la barrera hematoencefálica y la barrera aire-sangre de los pulmones a través de los fluidos intersticiales, el órgano más grande del cuerpo humano y animal llamado Intersticio. [81][82][83]

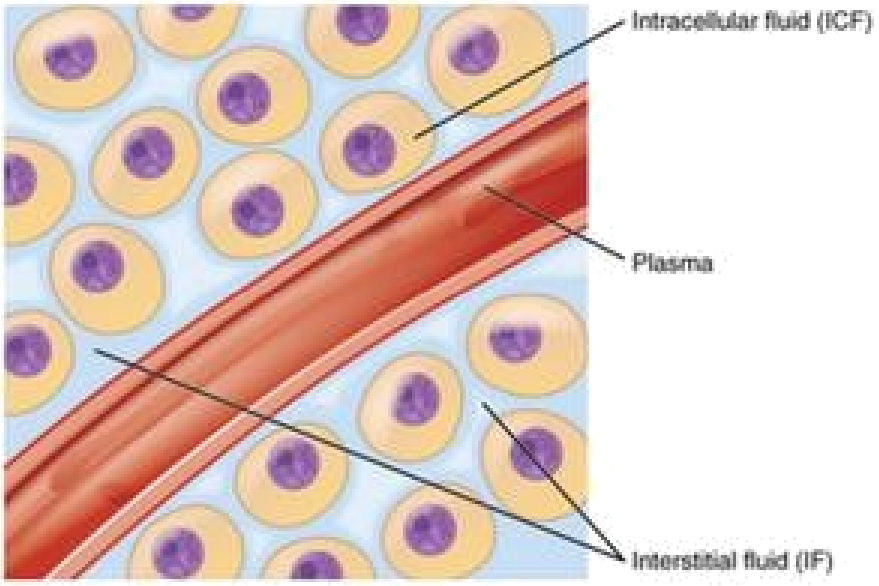

[4] Los ingredientes no revelados de la "vacuna" Moderna

Las **figuras 26 y 27** identificaron una entidad mixta de materia orgánica e inorgánica contenida en la "vacuna" de Moderna. La Microscopía Electrónica de Transmisión (TMS) y la cuantificación con una microsonda de rayos X de un Sistema de Energía Dispersiva (EDS) revelaron la naturaleza química de las micro y nano partículas observadas.

La supuesta "vacuna" Moderna es un sustrato de óxido de grafeno reducido a base de carbono en el que se incrustan algunas nanopartículas. Las nanopartículas están compuestas por carbono, nitrógeno, oxígeno, aluminio, cobre, hierro y cloro. [13] [83][84]

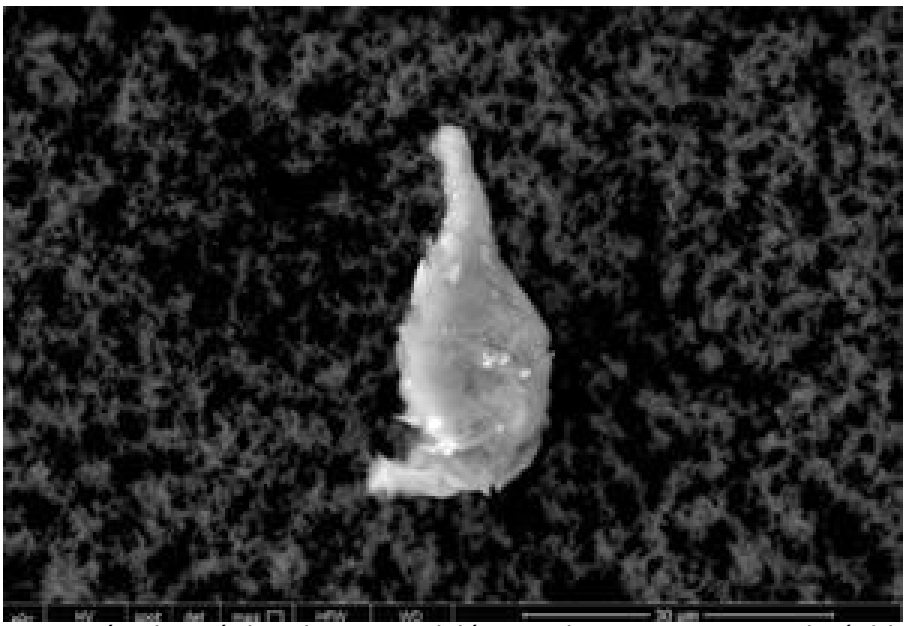

[Figura 26 La Microscopía Electrónica de Transmisión revela un compuesto de óxido de grafeno con materia orgánica y no orgánica incrustada. [83]]

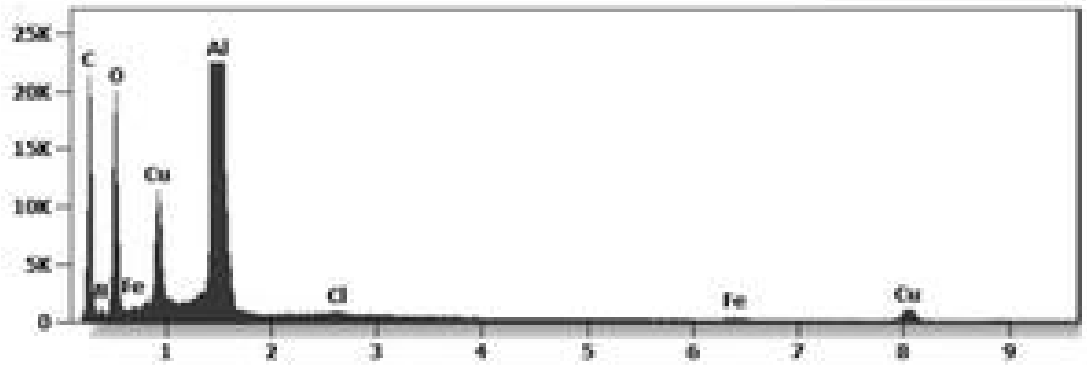

[La figura 27 revela las nanopartículas citotóxicas incrustadas. [75][76][83][84]]

Las figuras 27 y 28 muestran un análisis que también se realizó bajo Microscopía Electrónica de Transmisión (TEM) y se cuantificó con una microsonda de rayos X de un Sistema de Energía Dispersiva (EDS) y reveló la naturaleza química de las micro y nano partículas observadas. Se identificaron muchos cuerpos extraños con una morfología esférica con algunas cavidades en forma de burbuja.

La figura 29 muestra que están compuestos de carbono, nitrógeno, oxígeno, silicio, plomo, cadmio y selenio. Esta composición de nano partículas altamente tóxicas son puntos cuánticos de seleniuro de cadmio que son citotóxicos y genotóxicos. [14][15][83]

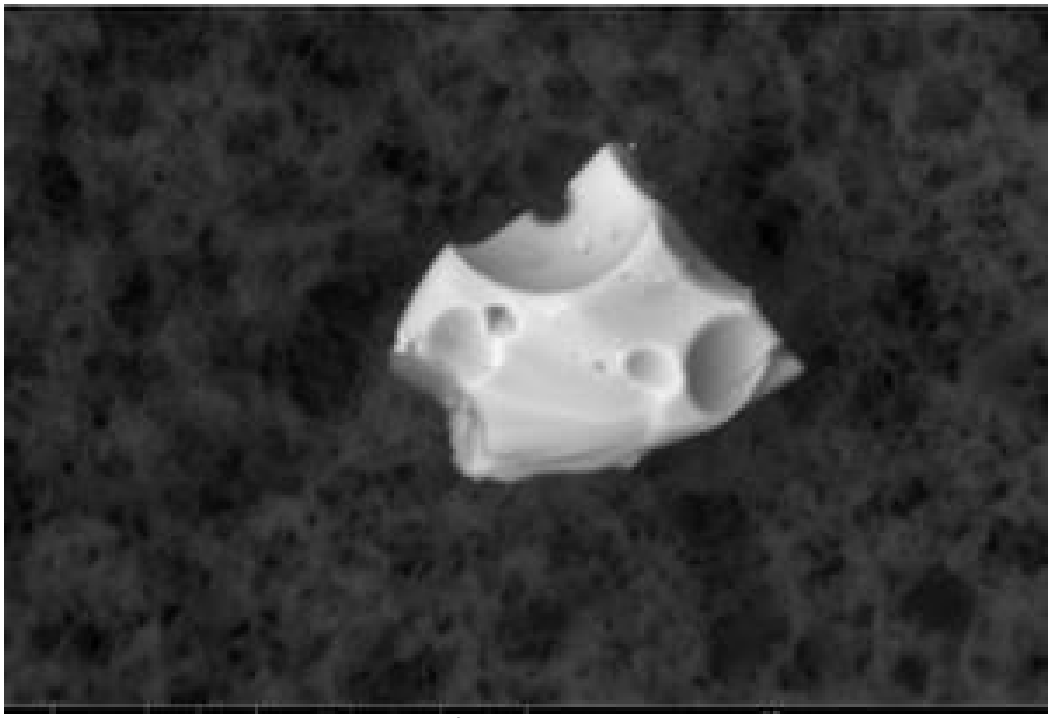
[La figura 27 revela los nanopuntos en el óxido de grafeno que se encuentra en la "vacuna" de Moderna. [83]]

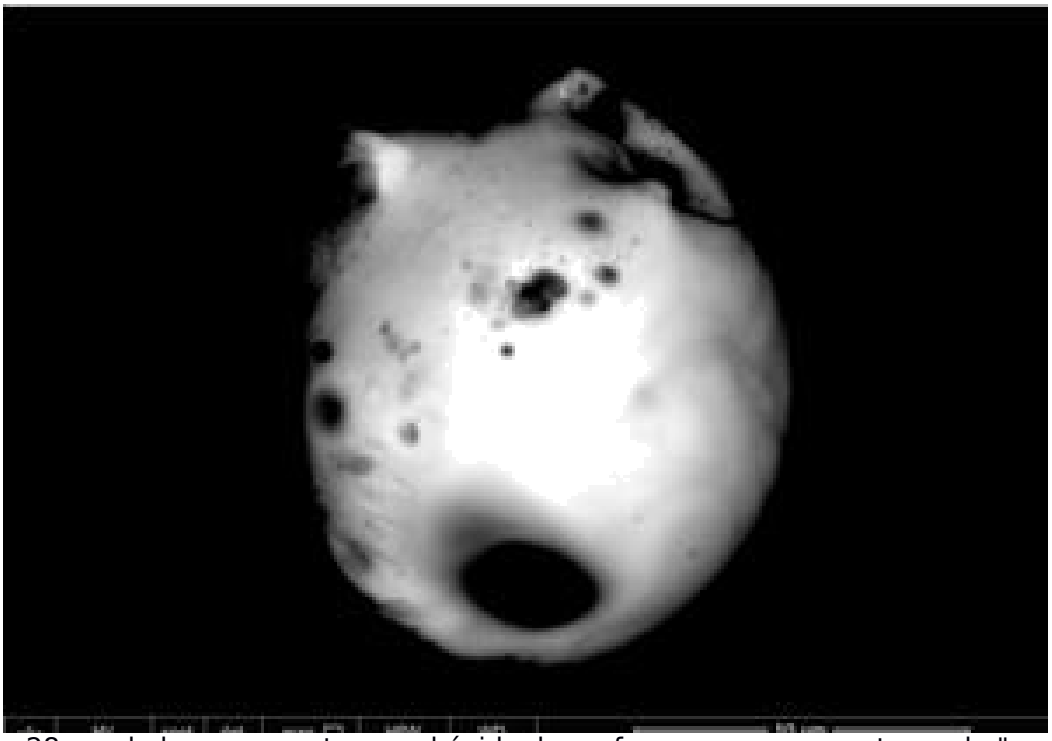

[La figura 28 revela los nanopuntos en el óxido de grafeno que se encuentra en la "vacuna" de Moderna. [83]]

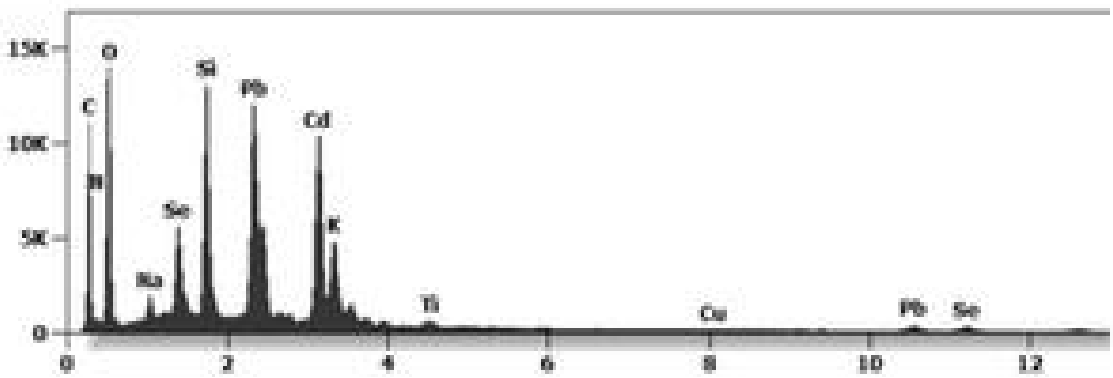

[La figura 29 revela el compuesto citotóxico y genotóxico de nanopartículas de óxido de grafeno encontradas en la "vacuna" Moderna. [75][76][83][84]]

Las figuras 30 y 31: un análisis más detallado de la supuesta "vacuna" de Moderna mostró un compuesto simplástico de nano partículas de óxido de grafeno reducido de 100 micras. El rGO está compuesto de carbono y oxígeno con contaminación de nano partículas de nitrógeno, silicio, fósforo y cloro. [16][83]

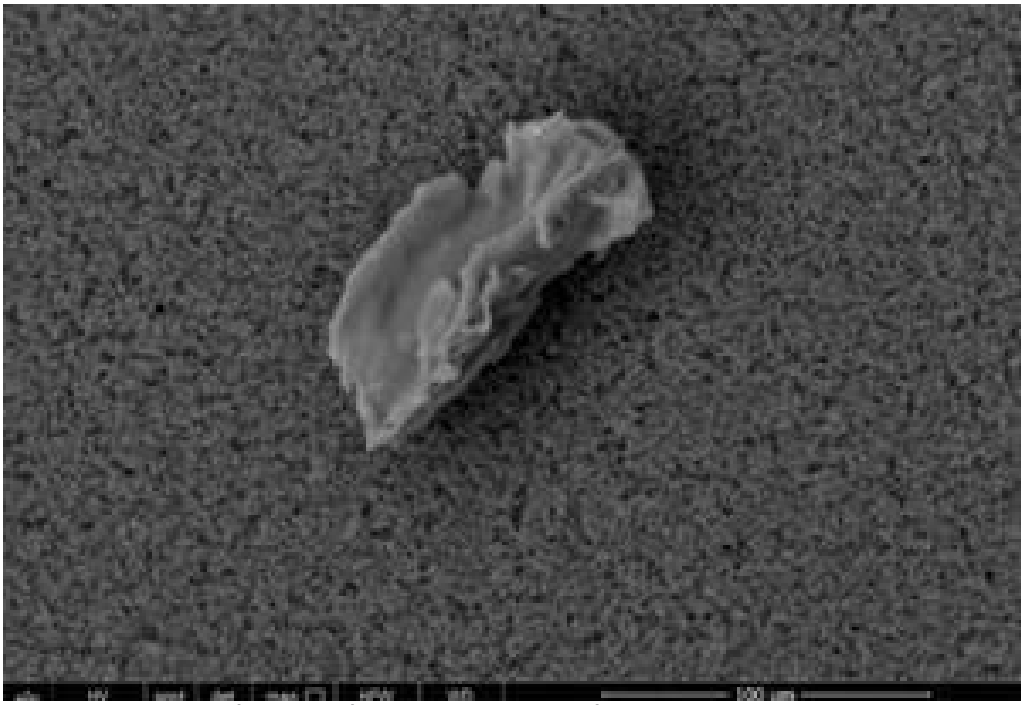

[La figura 30 de la microscopía electrónica de transmisión revela un gran compuesto simplástico de 100 micras de óxido de grafeno reducido. [83]]

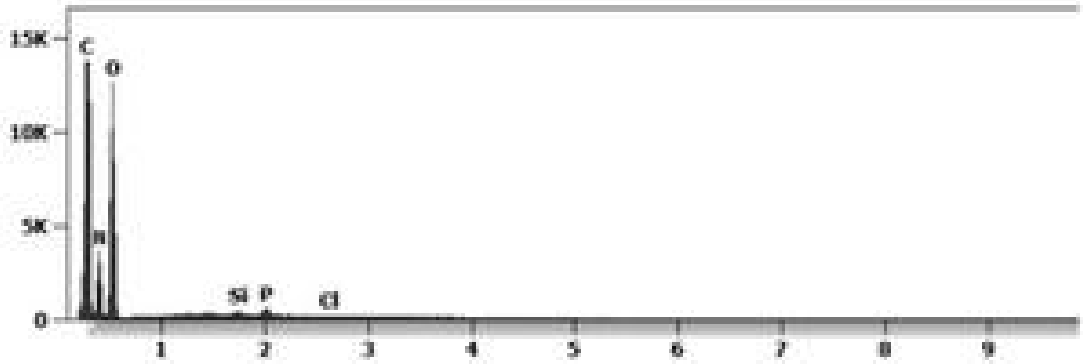

[La figura 31 revela el complejo de nanopartículas que contiene la "vacuna" Moderna. [75][83]]

Las figuras 32 y 33 muestran entidades de óxido de grafeno reducido a base de carbono en la "vacuna" Moderna mezcladas con aglomerados rellenos de nanopartículas de silicato de aluminio. [17][83]

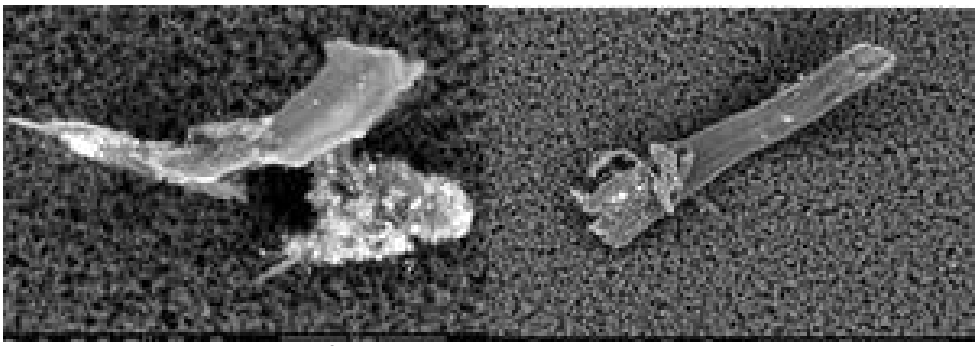

[La figura 32 revela un complejo de óxido de grafeno y silicato de aluminio mediante Microscopía Electrónica de Transmisión. [75][83]]

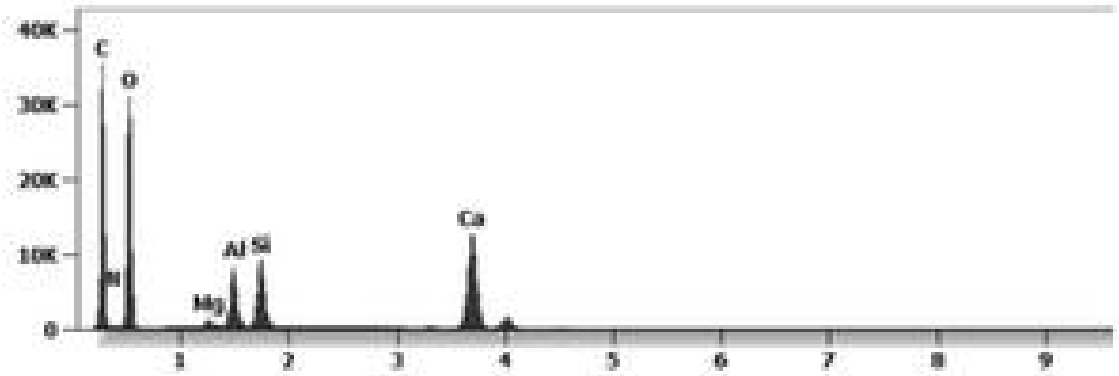

[La figura 33 revela los nanoelementos de óxido de grafeno y silicato de aluminio contenidos en la "vacuna" Moderna. [75][83]]

Debate

La pandemia de SARS-CoVid-2-19 indujo a las industrias farmacéuticas a desarrollar nuevos fármacos que llamaron vacunas.

El mecanismo de acción de estos nuevos fármacos, tal como lo declara la industria farmacéutica, junto con lo que se informa en la hoja de datos de los productos de la vacuna, NO está claro, pero está los suficientemente claro como para que los sabios médicos actuales entiendan que esos nuevos fármacos producidos por **Pfizer -BioNTech mRNA Vaccine**, la **Moderna-Lonza mRNA-1273 Vaccine**, la **Serum Institute Oxford Astrazeneca Vaccine** y la ***Janssen* COVID -19 *Vaccine***, fabricada por *Janssen* Biotech Inc, una empresa farmacéutica *Janssen* de *Johnson & Johnson,* **NO** son vacunas, sino medicamentos nanotecnológicos que funcionan como terapia genética.

El nombre de "vacuna" es probablemente un escamoteo (engaño) utilizado por razones burocráticas y tecnocráticas con el fin de recibir una aprobación urgente, ignorando todas las reglas normales necesarias para los nuevos medicamentos, especialmente para aquellos que implican mecanismos nanotecnológicos novedosos que nunca han sido desarrollados ni experimentados por los seres humanos en ningún lugar, en ningún momento de la historia del mundo.

Todas estas supuestas "vacunas" están patentadas y, por tanto, su contenido real se mantiene en secreto incluso para los compradores, que, por supuesto, utilizan el dinero de los contribuyentes. Así, los consumidores (contribuyentes) no tienen información sobre lo que están recibiendo en sus cuerpos mediante la inoculación. La humanidad se mantiene en la oscuridad en lo que respecta a los procesos tecnológicos de nano partículas involucrados, a los efectos negativos sobre las células del cuerpo, pero sobre todo al posible efecto magnetotóxico, citotóxico y genotóxico de la nano-bio-interacción en la sangre y las células del cuerpo. [82]

El presente estudio de investigación, mediante el análisis directo de las mencionadas supuestas "vacunas" a través de la instrumentación tecnológica de nano partículas, revela información perturbadora y que altera la vida en lo que respecta a la verdad sobre los contenidos ácidos tóxicos reales y sus efectos de estas supuestas "vacunas".

The vaccines for SARS CoVid-2 or also renamed as CoVid-19 have been fast tracked from 10 years to 1 year. It is important for us all to be aware that the clinical trials of these so-called "vaccines" or "gene therapy" inoculations do not finish until 2023!!

Las vacunas para el SARS CoVid-2 o también renombradas como para CoVid-19 se han apresurado de 10 años a (menos de) 1 año. ¡Es importante que todos seamos conscientes de que los ensayos clínicos de estas supuestas "vacunas" o inoculaciones de "terapia génica" no terminan hasta 2023!

Los medicamentos de Pfizer, Moderna, Astrazeneca y Janssen **NO** son "vacunas", sino aglomerados complejos de nano partículas de óxido de grafeno con diversos nano elementos unidos a ácidos nucleicos genéticamente modificados de ARNm de células animales o vero y células fetales humanas abortadas, como se ha visto y descrito anteriormente. Una vez más, los ingredientes de estas supuestas vacunas son altamente magnetotóxicos, citotóxicos y genotóxicos para las membranas celulares de las plantas, los insectos, las aves, los animales y los seres humanos, así como para su genética, lo que ya ha provocado graves lesiones (estimadas en más de 500 millones) y/o la muerte (estimada en más de 35 millones). [17] [18] hasta [55] [73] [82] [83]

Los supuestos "expertos" o "sabios de la medicina" le están diciendo a USTED que las vacunas contra el CoV -2 - 19 son la ÚNICA manera de detener la propagación del CoV-19... ¡incluso cuando no hay NINGUNA EVIDENCIA de su existencia y NINGUNA EVIDENCIA de que se esté propagando según el método científico de los postulados de Koch o Rivers![54]

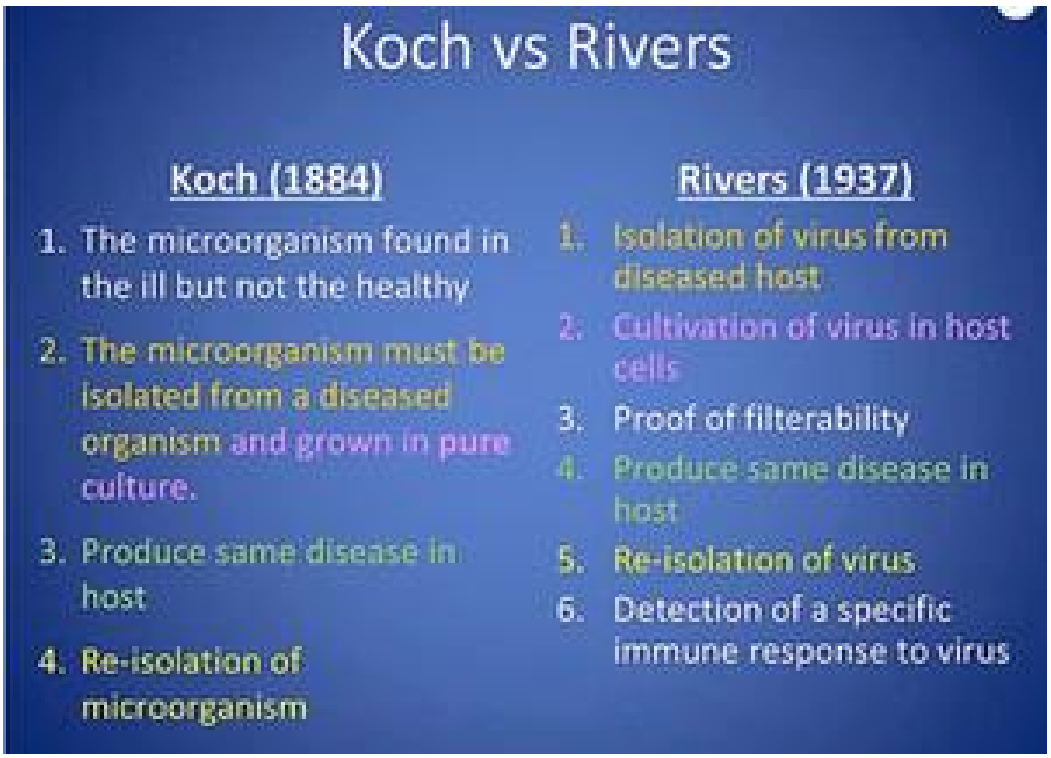
Koch vs Rivers
Koch (1884)
1. The microorganism found in the ill but not the healthy
2. The microorganism must be isolated from a diseased organism and grown in pure culture.
3. Produce same disease in host
4. Re-isolation of microorganism
Rivers (1937)
1. Isolation of virus from diseased host
2. Cultivation of virus in host cells
3. Proof of filterability
4. Produce same disease in host
5. Re-isolation of virus
6. Detection of a specific immune response to virus

[Desmantelando la Teoría Viral - https://www.drrobertyoung.com/post/dismantling-the-viral-theory.]

Que son seguras - a pesar de que las evidencias documentadas muestran lo contrario... [54][73][83]

Que son efectivas - aunque millones de personas "doblemente vacunadas" se están enfermando, exponiéndose teóricamente a un VIRUS NO EXISTENTE llamado CoV - 19, y muriendo...[55] NO por alguna infección viral fantasma sino por el MIEDO o la falsa evidencia que parece real y el contenido ácido tóxico del óxido de grafeno reducido entregado a través del ARNm genéticamente modificado a objetivos específicos del cuerpo humano que conducen a la coagulación patológica de la sangre, la privación de oxígeno, la hipercapnia, la hipoxia y luego la muerte

por asfixia. [56] [57] [58][83]

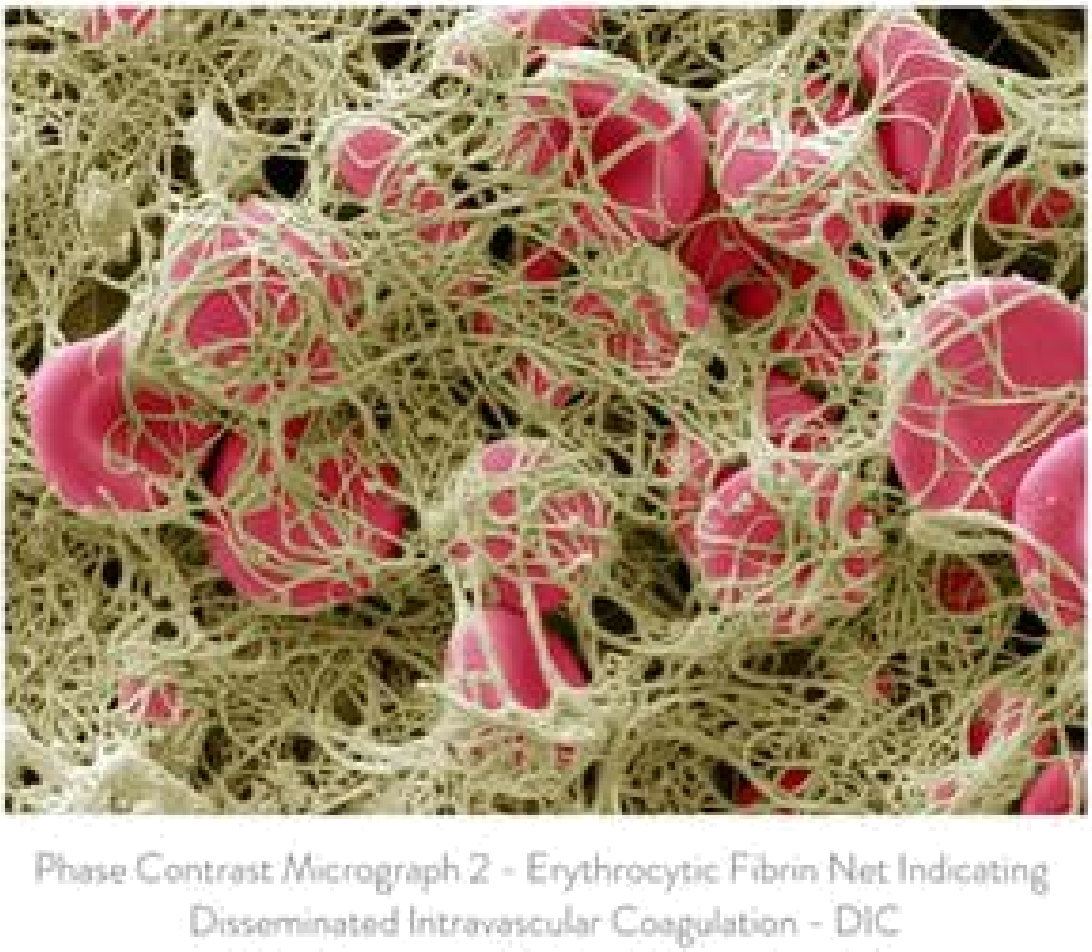

Micrografía de Contraste De Fase 2 - Red de Fibrina Eritrocítica que indica Coagulación Intravascular Diseminada – DIC, en inglés
[Coagulación Intravascular Diseminada (CID) o coagulación sanguínea patológica. [57][58]]

Que USTED TIENE QUE ponerse AL MENOS dos vacunas MÁS "refuerzos" para llevar una "vida normal"...

Y pronto le dirán a USTED que no tiene más remedio que cumplir con TODOS sus MANdatos, incluso cuando los CDC y otros gobiernos, universidades e institutos médicos han admitido por escrito que ¡NO TIENEN NINGÚN "ESTÁNDAR DE ORO" para el aislamiento del virus del CoV - 2 ahora llamado CoV - 19! [55]

NO HAY NINGÚN CORONA VIRUS y NUNCA LO HUBO. [56]

Recuerda...

NO DEJES QUE NADIE TE QUITE TU LIBERTAD SANITARIA

Es TU cuerpo, TU vida y TU elección!

El conocimiento es poder. Y es la clave para entender por qué las vacunas experimentales CoV-19 son tan peligrosas - a pesar de la narrativa oficial de los medios de comunicación corporativos que suprime y censura a cualquiera que se atreva a hablar.

Tú tienes el control de tu propia salud. No sea víctima de los gobiernos y burócratas mundiales que presionan a todo el mundo para que se vacune. El multimillonario "filántropo" Bill Gates y los multimillonarios activistas de las grandes tecnologías creen que saben lo que es mejor para usted y su familia.

https://youtu.be/EaYn6QM2Ny8

Debes ser libre de decidir lo que es correcto para ti. NO dejes que los gobiernos y los empleadores te obliguen a "vacunarte" "por tu propio bien".

Y nunca dejes que la cultura de la cancelación te haga tener miedo de defender tus derechos.

En palabras del gran médico y científico francés, Antione BeChamp, "no hay nada tan falso que NO contenga un elemento de verdad y así es con la teoría de los gérmenes". En este caso ¡la teoría viral, de las vacunas y de la inmunidad![59]

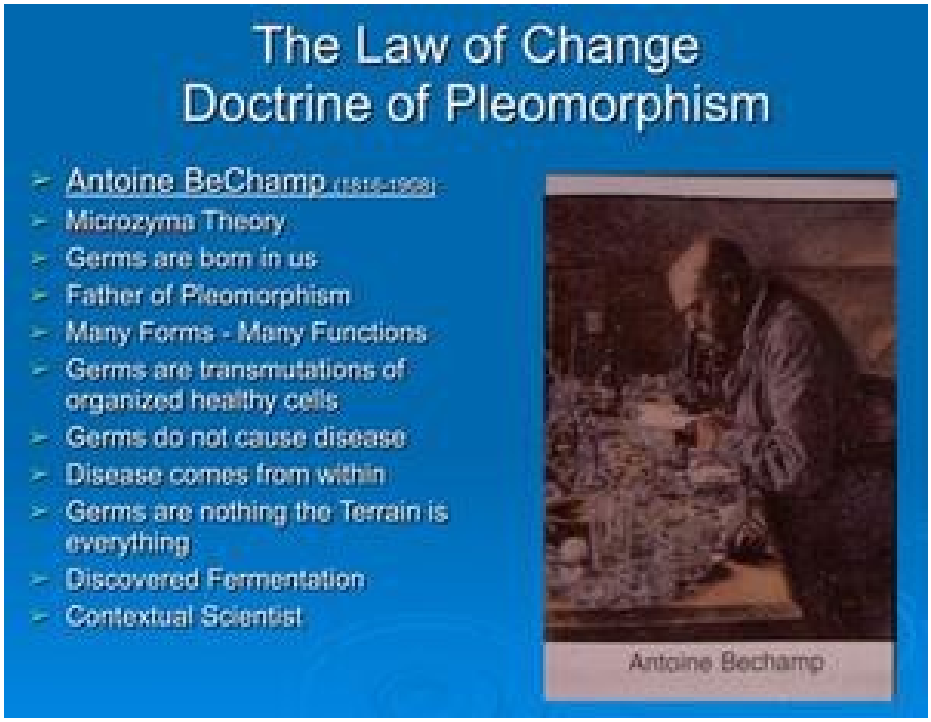

Para saber más sobre los virus, las vacunas y la teoría viral, lea y estudie el libro A Second Thought About Viruses, Vaccines and the HIV AIDS Hypothesis (Una Segunda Reflexión Sobre Los Virus, Las Vacunas Y La Hipótesis Del VIH / SIDA). Puede pedir este libro en:

https://www.phmiracleproducts.com/collections/books-audio-video/products/second-thoughts-about-viruses-vaccines-and-the-hiv-aids-hypothesis-booklet

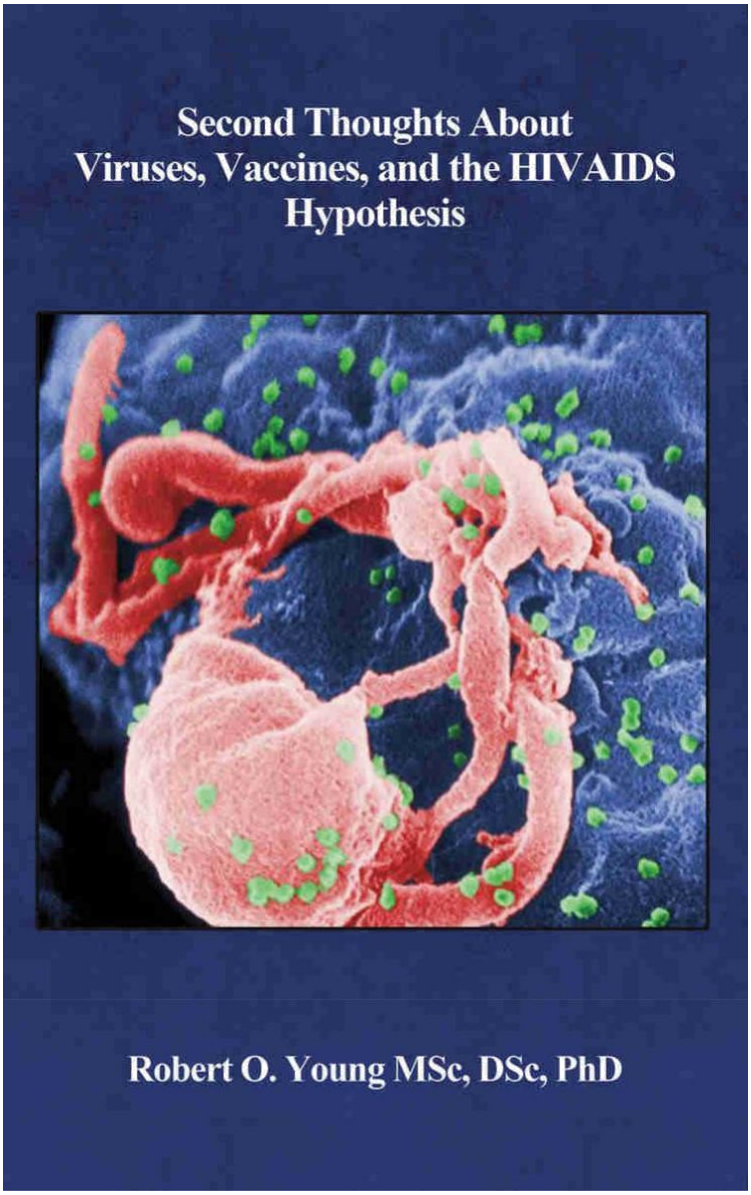

Lea y aprenda más sobre los virus, las vacunas y la teoría viral en los siguientes artículos científicos [60] [61] [62]

Robert O Young MSc, DSc, PhD, médico naturista

1. Los resultados de la microscopía electrónica de barrido y de transmisión revelan la presencia de óxido de grafeno en las vacunas contra el CoV-19 - Entrevista con el Dr. Robert O. Young.

Una bomba absoluta y las principales revelaciones sobre lo que hay en las vacunas, con el uso de microscopía electrónica y de otros tipos, de la investigación original por el Dr. Robert Young y su equipo, que confirma lo que los investigadores de La Quinta Columna encontraron - contenido nanometálico tóxico con efectos citotóxicos y genotóxicos, así como un parásito identificado. Esta es una gran revelación: por favor, manténgase en sintonía para un artículo importante que informa de esto en ECC, mientras tanto, por favor, comparta este video ampliamente!

https://www.bitchute.com/video/Z2sAH0Woz38r/

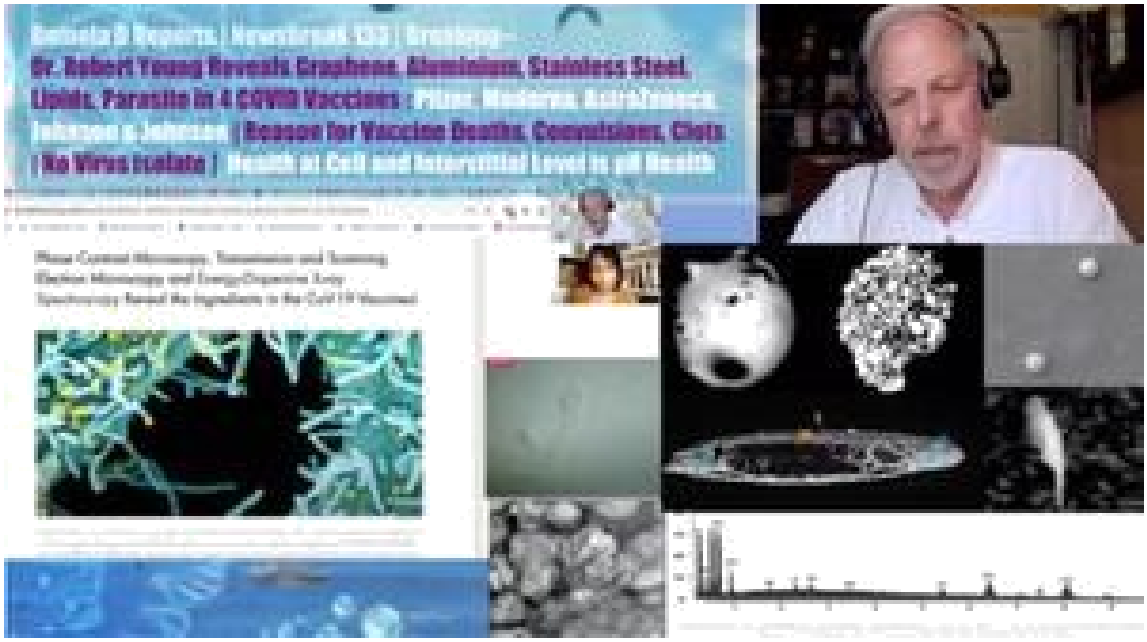

https://rumble.com/vlonug-electron-microscopy-reveals-graphene-oxide-in-cov-19-vaccines.html

https://odysee.com/@DrRobertYoung:7/MicroscopyEvidenceofGOinVaccineszoom_0:c?r=DwWt6qy5ACY9nSS1q6nAqSpAYbuZDjWf

2. Las curvas epidémicas de los países más vacunados
https://www.drrobertyoung.com/post/world-health-organization-who-publishes-epidemic-curves-of-the-most-vaccinated-countries (gráficos en francés)

3. Suecia sigue la ciencia biológica y NO la ciencia política
https://www.drrobertyoung.com/post/sweden-is-following-the-biological-science-not-the-political-science

4. Lo que ocurre en la India https://www.drrobertyoung.com/post/what-happened-in-india

5. Sobrevivir a la plaga de la corrupción
https://www.drrobertyoung.com/post/surviving-the-plague-of-corruption

6. Desmontando la Teoría Viral
https://www.drrobertyoung.com/post/dismantling-the-viral-theory

7. Corona on Trial (Coronavirus en Juicio)
https://www.drrobertyoung.com/post/corona-on-trial-explosive-and-exclusive

8. El síndrome de La Habana-Cuba causado por microondas pulsantes dirigidas por CEM https://www.drrobertyoung.com/post/the-havana-syndrome-pulsating-microwaves

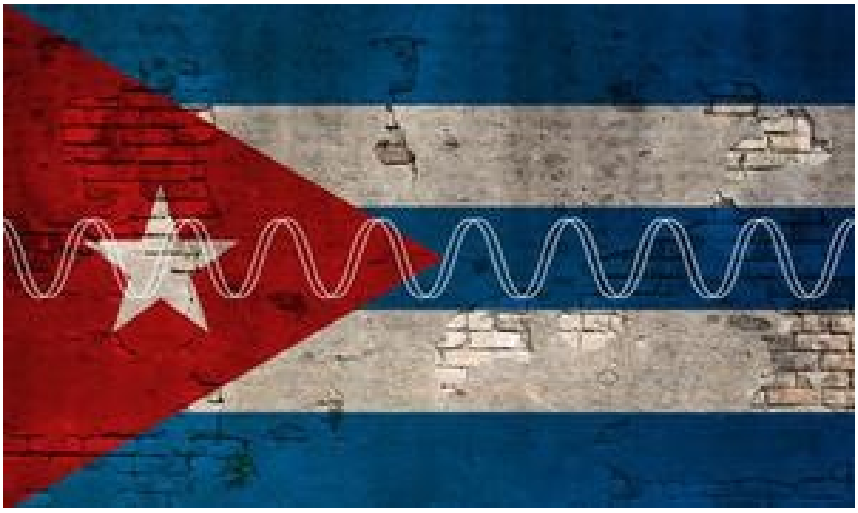

9. ¡El CDC admite AHORA que NO EXISTE NINGÚN "estándar de oro" para el aislamiento de NINGÚN virus! - https://www.drrobertyoung.com/post/cdc-now-admits-no-gold-standard-for-the-isolation-for-any-virus?postId=60c4dbc74f7fc9002ba2507e

10. Respuestas a (solicitudes de) Libertad de Información sobre CoV - 2 Ahora llamado CoV - 19 - https://www.drrobertyoung.com/post/freedom-of-information-responses-on-cov-2

11. ¡Por qué los virus no existen! - https://www.drrobertyoung.com/post/why-viruses-do-not-exist

Dr. Robert Young Explains All Disease as "Outfection" not Infection |
The Lipid Nanoparticles with Conductive Graphene Oxide in the COVID Vaccines + Radiation are the Bioweapon, not the Mythical "Virus"
Ramola D Reports | Report 255
Spikes in the Clotted Blood of the Vaccinated
August 19, 2021

12. Informe 255 | Dr. Robert Young: Toda enfermedad es una Ex-fección, no una Infección. ¡La Nano Vacuna es un Arma Biológica!
https://www.bitchute.com/video/rdQhuY455VmK

13. Informe 255 | Dr. Robert Young: Toda enfermedad es una Exfección, no una Infección | Las nanopartículas lipídicas de la vacuna con grafeno más radiación son el arma biológica--¡No existe el virus COVID!
https://www.brighteon.com/250210af-c8a3-47a1-8922-c960342fe2fb

14. Informe 255 | Dr. Robert Young: Toda enfermedad es una Exfección, no una Infección. ¡La Vacuna Nano es un Arma Biológica!
https://odysee.com/@RamolaDReports:8/Report-255---Dr.-Robert-Young-Explains-Disease-by-Outfection,-Lipid-Nanoparticles-with-Graphene-the:4

15. Olvídate de todo lo demás! Mira los números de la VAERS sobre lesiones y muertes! https://www.drrobertyoung.com/post/forget-everything-else-you-ve-heard-just-look-at-the-numbers

EudraVigilance - European database of suspected adverse drug reaction reports
The European Medicines Agency publishes these data so that its stakeholders, including the general public, can access information that European regulatory authorities use to review the safety of a medicine or active substance. Transparency is a key guiding principle of the Agency.
COVID-19 Vaccine Adverse Drug Reactions
20,525 DEAD
1,960,607 Injuries Through July 31,2021
COVID-19 MRNA VACCINE MODERNA (CX-024414)
COVID-19 MRNA VACCINE PFIZER-BIONTECH
COVID-19 VACCINE ASTRAZENECA (CHADOX1 NCOV-19)
COVID-19 VACCINE JANSSEN (AD26.COV2.S)
EUROPEAN MEDICINES AGENCY
EudraVigilance

16. Testimonio del Dr. Robert O. Young en ITNJ
https://youtu.be/gKjnEz5s37o

Suscríbase AHORA al boletín de noticias GRATUITO del Dr. Young en: www.drrobertyoung.com

17. La solicitud de patente de Pfizer aprobada, el 31 de agosto de 2021, es la primera patente que aparece en una lista de más de 18500 con el propósito de rastrear a distancia los contactos de todos los humanos vacunados en todo el mundo que estarán o están ahora conectados al "internet de las cosas" mediante un enlace c**u**ántico de frec**u**encias de microondas p**u**lsantes de 2,4 gHz o más desde las torres de telefonía móvil y los satélites directamente al óxido de grafeno mantenido en los tejidos grasos de todas las personas inoculadas. [63] [64][65][66] [67][82]

US011107588B2

(12) **United States Patent**
Ehrlich et al.

(10) **Patent No.: US 11,107,588 B2**
(45) **Date of Patent: Aug. 31, 2021**

(54) **METHODS AND SYSTEMS OF PRIORITIZING TREATMENTS, VACCINATION, TESTING AND/OR ACTIVITIES WHILE PROTECTING THE PRIVACY OF INDIVIDUALS**

(71) Applicants: **Gal Ehrlich**, Ramat-Gan (IL); **Shaker Founder**, Petach-Tikva (IL)

(72) Inventors: **Gal Ehrlich**, Ramat-Gan (IL); **Shaker Founder**, Petach-Tikva (IL)

(*) Notice: Subject to any disclaimer, the term of this patent is extended or adjusted under 35 U.S.C. 154(b) by 0 days.

(21) Appl. No.: **17/146,279**

(22) Filed: **Jan. 30, 2020**

(65) **Prior Publication Data**

US 2021/0082783 A1 Mar. 18, 2021

(30) **Foreign Application Priority Data**

Aug. 31, 2020 (IL) 276648
Aug. 31, 2020 (IL) 276667
Sep. 1, 2020 (IL) 277083

(51) **Int. Cl.**
G06Q 10/00 (2012.01)
G16H 10/60 (2018.01)
(Continued)

(52) **U.S. Cl.**
CPC **G16H 10/60** (2018.01); **G06N 7/005** (2013.01); **G16H 50/30** (2018.01); **H04W 4/021** (2013.01); **H04W 4/029** (2018.02)

(58) **Field of Classification Search**
CPC G16H 50/80; G16H 50/30; G16H 15/00; G16H 10/60; H04W 4/021; H04W 4/029; H04W 12/069; H04W 4/90; G06N 7/005; G06Q 21/02; G07C 9/28; G07C 9/22; G06F 3/165; G06F 3/16; G06Q 3/56;
(Continued)

(56) **References Cited**

U.S. PATENT DOCUMENTS

7,565,723 B2 4/2009 Kalle et al.
8,045,956 B2 2/2011 Rao
(Continued)

OTHER PUBLICATIONS

Office Action and Search Report dated Dec. 17, 2020 from the Israel Patent Office Re. Application No. 276648. (9 Pages.)
(Continued)

Primary Examiner — Ade Y Lo

(57) **ABSTRACT**

Systems and methods for anonymously selecting subjects for treatment against an infectious disease caused by a pathogen. The system comprises a plurality of electronic devices comprising instructions to generate an ID and, when in proximity of another such electronic device, one or both electronic devices transmit/receive the ID to/from the other electronic device. Then, a score is generated based on a plurality of such received IDs. Additionally, based on information received from a server, relevant treatment instructions are displayed to the subjects based on the received information and the score. The server comprises instructions for sending to the plurality of electronic devices the information to be displayed with the relevant treatment instructions, additionally the server and/or the electronic devices comprise instructions to generate a prediction of likelihood of a subject transmitting the pathogen, based on the score of the subject.

37 Claims, 12 Drawing Sheets

Aquí está el enlace al resumen de la patente y los detalles:
https://patft.uspto.gov/netacgi/nph-Parser?Sect1=PTO2&Sect2=HITOFF&u=%2Fnetahtml%2FPTO%2Fsearch-adv.htm&r=1&p=1&f=G&l=50&d=PTXT&S1=Pfizer&OS=Pfizer&RS=Pfizer

18. Arquitectura general del sistema TRANS-HUMANO basado en Redes Inalámbricas de Área Corporal (WBAN) [68] [69] [70][71] [72] [82]

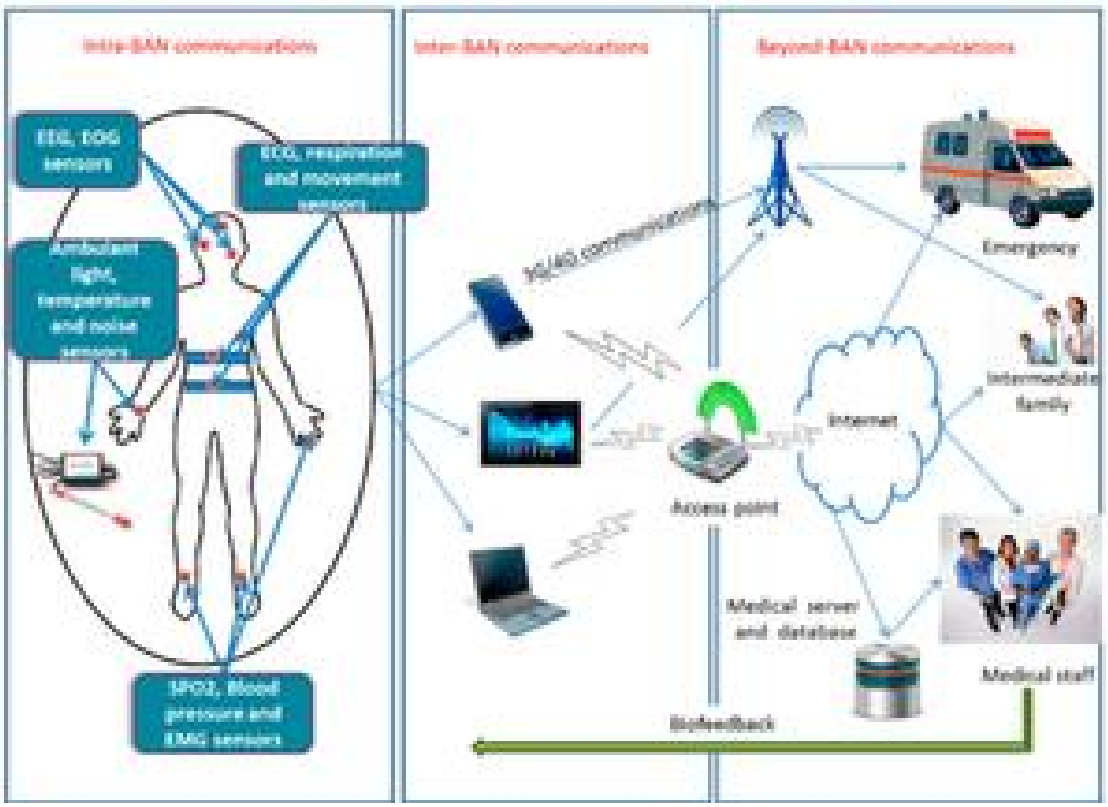

Una vez impregnado con el acero inoxidable, óxido de grafeno y óxido de hierro de la vacuna CoV-19, ¡AHORA USTED está listo para Conectarse al Internet de las Cosas!

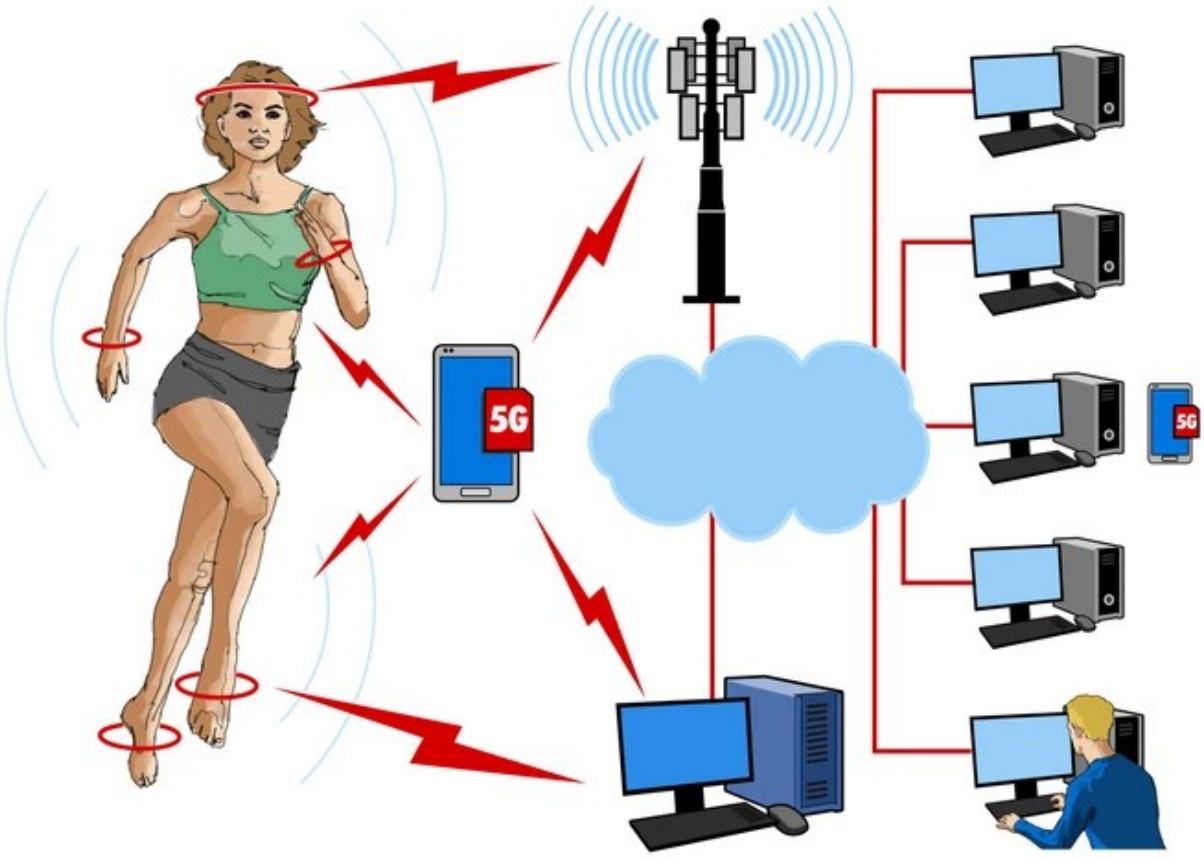

19. Conexiones inalámbricas desde las torres de telefonía móvil o los satélites hacia USTED [73][74][82]

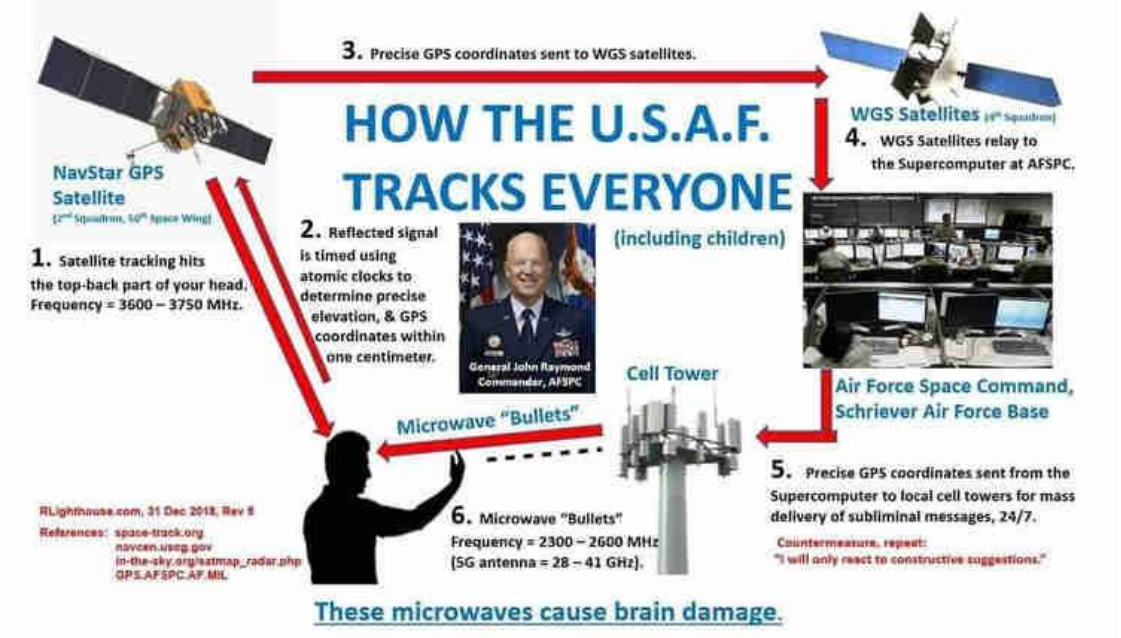
HOW THE U.S.A.F.
TRACKS EVERYONE
(including children)
3. Precise GPS coordinates sent to WGS satellites.
WGS Satellites
4. WGS Satellites relay to the Supercomputer at AFSPC.
NavStar GPS Satellite
1. Satellite tracking hits the top-back part of your head. Frequency = 3600 – 3750 MHz.
2. Reflected signal is timed using atomic clocks to determine precise elevation, & GPS coordinates within one centimeter.
General John Raymond Commander, AFSPC
Air Force Space Command, Schriever Air Force Base
Cell Tower
Microwave "Bullets"
5. Precise GPS coordinates sent from the Supercomputer to local cell towers for mass delivery of subliminal messages, 24/7.
Countermeasure, repeat: "I will only react to constructive suggestions."
6. Microwave "Bullets" Frequency = 2300 – 2600 MHz (5G antenna = 28 – 41 GHz).
RLighthouse.com, 31 Dec 2018, Rev 5
References: space-track.org navcen.uscg.gov in-the-sky.org/satmap_radar.php GPS.AFSPC.AF.MIL
These microwaves cause brain damage.

Targeted Individual Diagram
CIA funds to USAF & FBI
CIA Denver PsyOps
Council on Foreign Relations (CFR) directs program
CIA directs FBI - Harassment & Stalking
CIA directs USAF - Tracking & Microwave weapons
MQ-9 Drone Microwave Attacks
Block Medical Help
NSA records & collects data
FBI
FBI & DHS
Fusion Center
USAF Space Command Schriever AFB
Block Legal Help
Nominated by CIA, FBI, or Govt Agency
TERRORIST WATCHLIST
GangStalking
Cell Tower Microwave Tracking & Attacks
Family relations destroyed
Vircator Microwave Weapon Targeting

20. Lea el artículo en el siguiente enlace: Ingredientes de las vacunas “para” COVID-19 y su conexión con el óxido de grafeno, los parásitos y los CEM en: nobulart.com/covid-19-vaccine-ingredients/ Publicado: 31 de agosto de 2021.

21. TU Cuerpo TU Vida TU Elección:
https://rumble.com/vn4n6i-your-body-your-life-your-choice.html

22. Archivo PDF actualizado de este artículo:

GrapheneOxideVaccinePaperUpdated12.pdf
Descargar PDF - 6.77MB

Suscríbase al boletín de noticias GRATUITO del Dr. Young en:
www.drrobertyoung.com

Dr. Robert O. Young - www.drrobertyoung.com

Referencias

[1] Ou, L., Song, B., Liang, H. *et al.* Toxicidad de las nanopartículas de la familia del grafeno: una revisión general de los orígenes y mecanismos. *Part Fibre Toxicol13***,** 57 (2016). https://doi.org/10.1186/s12989-016-0168-y

[2] Young RO (2016) Coagulación sanguínea patológica y la prueba de estrés oxidativo micotóxico (MOST). Int J Vaccines Vaccin 2(6): 00048. DOI: 10.15406/ijvv.2016.02.00048

[3] Xu et al, (2019) Identificación del óxido de grafeno y sus características estructurales en disolventes mediante microscopía óptica, RSC Adv., 9, 18559-18564

1- Kit de Extracción de ARN https://www.fishersci.es/shop/products/ambion-purelink-rna-mini-kit7/10307963

2- NanoDrop™ https://www.thermofisher.com/order/catalog/product/ND-2000#/ND-2000

3- QUBIT2.0: https://www.thermofisher.com/es/es/home/references/newsletters-andjournals/bioprobes-journal-of-cell-biology-applications/bioprobes-issues-2011/bioprobes-64-april2011/the-qubit-2-0-fluorometer-april-2011.html

[4] Muestra RD1, Informe de La Quinta Columna, 28 de junio de 2021; Detección de Óxido de Grafeno en Suspensión Acuosa; Delgado Martín, Campra Madrid.

[5] Kim et al, Seeing graphene-based sheets (Observación de Láminas Basadas en Grafeno), Materials Today,Volume 13, Issue 3,2010,Pages 28- 38,ISSN 1369-7021, https://doi.org/10.1016/S1369-7021(10)70031-6

[6] Bano, I. et al , 2019. Exploración de las propiedades de fluorescencia del óxido de grafeno reducido con rendimiento de dispositivo sintonizable, Diamond and Related Materials, Volume 94,59-64, ISSN 0925- 9635, https://doi.org/10.1016/j.diamond.2019.02.021.

[7] Biroju, Ravi & Narayanan, Tharangattu & Vineesh, Thazhe Veettil. (2018). Nuevos avances en la electroquímica 2D-Catálisis y detección. 10.1201/9781315152042-7.

[8] Choucair, M., Thordarson, P. & Stride, J. Producción a escala de gramo de grafeno basada en la síntesis solvotérmica y la sonicación. Nature Nanotech 4, 30-33 (2009). https://doi.org/10.1038/nnano.2008.365

[9] Atlas de Parasitología Humana, 4ª edición, Lawrence Ash y Thomas Orithel, páginas 174 a 178

[10] Mano, S.S.; Kanehira, K.; Sonezaki, S.; Taniguchi, A. Efecto de la modificación con polietilenglicol de nanopartículas de TiO2 sobre la citotoxicidad y expresiones génicas en líneas celulares humanas. *Int. J. Mol. Sci.* **2012**, *13*, 3703-3717. https://doi.org/10.3390/ijms13033703

[11] Srivastava AK, Dwivedi N, Dhand C, et al. Potencial de los materiales basados en grafeno para combatir COVID-19: propiedades, perspectivas y posibilidades. *Mater Today Chem*. 2020;18:100385. doi:10.1016/j.mtchem.2020.100385

[12] Young, RO, "Los efectos de las frecuencias electromagnéticas (EMF) en la sangre y el terreno biológico". https://www.drrobertyoung.com/post/the-effects-electromagnet-frequencies-on-the-blood-and-biological-terrain

[13] Gatti AM, Manti A, Valentini L, Montanari S, Gobbi P, et al. (2016) Nano biointeracción de partículas en la circulación sanguínea. Frontiers 30: 3.

[14] Nikazar, S., Sivasankarapillai, V.S., Rahdar, A. *et al.* Revisando la citotoxicidad de los puntos cuánticos: una descripción en profundidad. *Biophys Rev* **12,** 703-718 (2020). https://doi.org/10.1007/s12551-020-00653-0

[15] Ritesh Banerjee, Priya Goswami, Manoswini Chakrabarti, Debolina Chakraborty, Amitava Mukherjee, Anita Mukherjee, Los puntos cuánticos de seleniuro de cadmio (CdSe) causan genotoxicidad y estrés oxidativo en plantas de cepa Allium, Investigación de mutaciones / Toxicología genética y mutagénesis

ambiental, Volume 865, 2021, 503338,ISSN 1383-5718, https://doi.org/10.1016/j.mrgentox.2021.503338.

[16] Wanjun Cao, Lin He, Weidong Cao, Xiaobing Huang, Kun Jia, Jingying Dai, Progreso reciente del óxido de grafeno como posible portador y adyuvante de vacunas, Acta Biomaterialia, Volumen 112, 2020, Páginas 14-28, ISSN 1742-7061, https://doi.org/10.1016/j.actbio.2020.06.009. (https://www.sciencedirect.com/science/article/pii/S1742706120303305)

[17] Enciclopedia Concisa de Materiales Compuestos, ed. Anthony Kelly, MIT Press, 1989, ISBN0-262-11145-4

[18] L. Harivardhan Reddy, José L. Arias, Julien Nicolas y Patrick Couvreur, "Nanopartículas Magnéticas: Diseño y caracterización, toxicidad y biocompatibilidad, aplicaciones farmacéuticas y biomédicas". Chemical Reviews **2012** *112* (11), 5818-5878 DOI: 10.1021/cr300068p

[19] Departamento de Salud y Servicios Humanos de los Estados Unidos (1996) Actualización del informe: efectos secundarios, reacciones adversas, contraindicaciones y precauciones de las vacunas. CDC 45(RR-12): 1-35.

[20] Ottaviani G, Lavezzi AM, Matturri L (2006) Síndrome de muerte súbita del lactante (SMSL) poco después de la vacunación hexavalente: ¿patología en la sospecha de SMSL? Virchows Arch 448(1): 100-104.

[21] Taylor B, Miller E, Farrington CP, Petropoulos MC, Favot-Mayaud I, et al. (1999) Autismo y vacuna contra el sarampión, las paperas y la rubéola: no hay evidencia epidemiológica de una asociación causal. Lancet 353(9169): 2026-2029.

[22] Demicheli V, Rivetti A, Debalini MG, Di Pietrantonj C (2012) Vacunas para el sarampión, las paperas y la rubéola en niños. Cochrane Database Syst Rev 15(2): CD004407. Nuevas investigaciones de control de calidad de las vacunas: Micro y Nanocontaminación 13/13 Copyright: ©2016 Gatti et al. Citación: Gatti AM, Montanari S (2016) Nuevas investigaciones de control de calidad en vacunas: Micro y Nanocontaminación. Int J Vaccines Vaccin 4(1): 00072. DOI: 10.15406/ijvv.2017.04.00072

[23] Carola Bardage, Ingemar Persson, Åke Örtqvist, Ulf Bergman, Jonas F Ludvigsson, et al. (2011) Trastornos neurológicos y autoinmunes después de la vacunación contra la gripe pandémica A (H1N1) con una vacuna adyuvada monovalente: estudio de cohorte basado en la población en Estocolmo, Suecia. BMJ 343: d5956.

[24] Johann Liang R (2012) Actualización de la tabla de lesiones causadas por vacunas después del Informe del IOM de 2011 sobre los efectos adversos de las vacunas. HRSA, pp. 1-27.

[25] L Tomljenovic, CA Shaw (2011) Adyuvantes de Aluminio en Vacunas: ¿Son seguros? Current Medicinal Chemistry 18(17): 2630-2637.

[26] Shaw CA, Petrik MS (2009) Las inyecciones de hidróxido de aluminio provocan déficits motores y degeneración de las neuronas motoras. J Inorg Biochem 103(11): 1555-1562.

[27] Authier FJ, Sauvat S, Christov C, Chariot P, Raisbeck G, et al. (2006) La miofascitis macrofágica inducida por una vacuna con adyuvante de AlOH3 en ratas está influenciada por los antecedentes genéticos. Neuromuscul Disord 16(5): 347-352.

[28] Exley C, Esiri MM (2006) Angiopatía congofílica cerebral grave coincidente con aumento de aluminio cerebral en un residente de Camelford, Cornwall, Reino Unido. J Neurol Neurosurg Psychiatry 77(7): 877- 879.

[29] Wills MR, Savory J (1985) Contenido de agua de aluminio, demencia por diálisis y osteomalacia. Environ Health Perspect 63: 141-147.

[30] Brinth L, Pors K, Theibel AC, Mehlsen J (2015) Sospecha de efectos secundarios de la vacuna tetravalente contra el papiloma humano. Danish Medical J 62(4): 1-12.

[31] Palmieri B, Poddighe D, Vadalà M, Laurino C, Carnovale C, et al. (2016) Síndromes somatomorfos y disautonómicos graves tras la vacunación contra el VPH: serie de casos y revisión de la literatura. Immunol Res.

[32] Visani G, Manti A, Valentini L, Canonico B, Loscocco F, et al. (2016) Las nanopartículas ambientales están significativamente sobreexpresadas en la leucemia mieloide aguda. Leuk Res 50: 50-56.

[33] Artoni E, Sighinolfi GL, Gatti AM, Sebastiani M, Colaci M, et al. (2016) Micro y nanopartículas como posibles cofactores patogénicos en la crioglobulinemia mixta. Occupational Medicine.

[34] T Hansen, L Klimek, F Bittinger, I Hansen, A Gatti, et al. (2008) Patología del granuloma rico en aluminio en mastocitos 29(4): 311-313.

[35] Gatti AM, Manti A, Valentini L, Montanari S, Gobbi P, et al. (2016) Nano biointeracción de partículas en la circulación sanguínea. Frontiers 30: 3.

[36] Tenzer S, Docter D, Rosfa S, Wlodarski A, Kuharev J, et al. (2011) El tamaño de las nanopartículas es un determinante fisicoquímico crítico de la corona en el plasma sanguíneo humano: un análisis proteómico cuantitativo completo. ACS Nano 5(9): 7155-167.

[37] Radauer Preiml, Andosch A, Hawranek T, Luetz-Meindl U, Wiederstein M, et al. (2015) Las interacciones entre nanopartículas y alérgenos median las respuestas alérgicas humanas: caracterización de la corona de proteínas y respuestas celulares. Fibre toxicology 13: 3.

[38] Cedervall T, Lynch I, Lindman S, Berggård T, Thulin E, et al. (2016) Entendiendo la corona de nanopartículas-proteínas utilizando métodos para cuantificar los tipos de intercambio y las afinidades de las proteínas por las nanopartículas. PNAS 104 (7): 2050-2055.

[39] Lynch I, Cedervall T, Lundqvist M, Cabaleiro-Lago C, Linse S, et al. (2007) El complejo nanopartícula-proteína como entidad biológica; un complejo desafío de la ciencia de superficies y fluidos para el siglo XXI. Advances in Colloid and Interface Science 134-135: 167-174.

[40] Gatti AM, Quaglino D, Sighinolfi GL (2009) Un enfoque morfológico para

monitorear la interacción nanopartícula-célula. International Journal of Imaging and Robotics 2: 2-21.

[41] Urban RM, Jacobs JJ, Gilbert JL, Galante JO (1994) Migración de productos de corrosión de prótesis modulares de cadera. Microanálisis de partículas y hallazgos histopatológicos. The Journal of Bone and Joint Surgery 76(9): 1345-1359.

[42] Kirkpatrick CJ, Barth S, Gerdes T, Krump-Konvalinkova V, Peters (K 2002) Patomecanismos de la cicatrización de heridas deteriorada por productos de corrosión metálicos. Mund Kiefer Gesichtschir 6(3): 183-190.

[43] Lee SH, Brennan FR, Jacobs JJ, Urban RM, Ragasa DR, et al. (1997) Respuesta de monocitos / macrófagos humanos a productos de corrosión de cobalto-cromo y partículas de titanio en pacientes con reemplazos totales de articulaciones. J Orthop Res 15(1): 40-49.

[44] Shaw CA, Seneff S, Kette SD, Tomljenovic L, Oller Jr JW, et al. (2014) Entropía inducida por aluminio en sistemas biológicos: Implicaciones para la enfermedad neurológica. Journal of Toxicology 2014: 491316.

[45] Shaw CA, Kette SD, Davidson RM, Seneff S (2013) El papel del Aluminio™ en las interacciones del sistema inmunológico del SNC que conducen a trastornos neurológicoss. Immunome Research 9: 069.

[46] Seneff S, Swanson N, Chen Li (2015) El aluminio y el glifosato pueden inducir sinérgicamente la patología de la glándula pineal: Conexión con la disbiosis intestinal y la enfermedad neurológica. Agricultural Sciences 6(1): 42- 70.

[47] Pegaz B, Debefve E, Ballini JP, Konan-Kouakou YN, van den Bergh HJ (2006) Efecto del tamaño de las nanopartículas sobre las extravasaciones y la actividad fototrombica de la meso(p-tetracarboxifenil)porfirina. J Photochem Photobiol B 85(3): 216-222.

[48] Brinth LS, Pors K, Hoppe AG, Badreldin I, Mehlsen J (2015) ¿Es el síndrome de fatiga crónica/encefalomielitis miálgica un diagnóstico relevante en pacientes con sospecha de efectos secundarios de la vacuna contra el virus del papiloma humano? International Journal of Vaccines and Vaccination 1(1):1-5.

[49] Moos WH, Faller DV, Harpp DN, Kanara I, Pernokas J, et al. (2016) Microbiota y trastornos neurológicos: A Gut Feeling. Biores Open Access 5(1): 137-145.

[50] Sekirov I, Russell SL, Caetano L, Antunes M, Brett (2010) Gut Microbiota in Health and Disease. Physiological Rev 90(3): 859-904.

[51] Umbrello G, Esposito S (2016) Microbiota y enfermedades neurológicas: efectos potenciales de los probióticos. J Transl Med 14(1): 298.

[52] Kinoshita T, Abe RT, Hineno A, Tsunekawa K, Nakane S, et al. (2014) Disfunción del nervio simpático periférico en niñas japonesas adolescentes tras la inmunización con la vacuna contra el virus del papiloma humano. Intern Med 53(19): 2185-2200.

[53] Zhang L, Richards A, Khalil A, Wogram E, Ma H, Young RA, Jaenisch R. ARN del SARS-CoV-2 con transcripción inversa e integrado en el genoma humano. bioRxiv

[Preprint]. 2020 Dec 13:2020.12.12.422516. doi: 10.1101/2020.12.12.422516. PMID: 33330870; PMCID: PMC7743078.

[54] Young, RO, "¡Olvida todo lo demás! ¡Mira los NÚMEROS DE VAERS sobre lesiones y muertes!" https://www.drrobertyoung.com/post/forget-everything-else-you-ve-heard-just-look-at-the-numbers

[55] Young, RO, "¡Los CDC AHORA no admiten no tener NINGÚN 'Estándar de Oro' para el aislamiento de NINGÚN virus!" https://www.drrobertyoung.com/post/cdc-now-admits-no-gold-standard-for-the-isolation-for-any-virus

[56] Young, RO, "La génesis del (síndrome) respiratorio agudo severo o SARS y corona virus o COVID – 19." https://www.drrobertyoung.com/post/the-genesis-of-severe-acute-respiratory-syndrome-or-sars-corona-virus-or-covid-19

[57] Young, RO, "¿Qué causa la privación de oxígeno en la sangre (DIC, en inglés, Coagulación Intravascular Diseminada) y luego en los pulmones (SARS - CoV 2 y 19)?" https://www.drrobertyoung.com/post/what-causes-oxygen-deprivation

[58] Young RO, Migalko G (2020) ¿Qué causa la privación de oxígeno en la sangre (DIC) y luego en los pulmones (SARS - CoV 2 y 12)? Integ Mol Bio Biotechnol 1: 001-007. http://sciaeon.org/articles/What-Causes-Oxygen-Deprivation-of-the-Blood-DIC-and-Then-Lungs-SARS-CoV2and12.pdf

[59] Young RO (2016) ¿Quién tenía su dedo en la magia de la vida - Antoine Bechamp o Louis Pasteur? Int J Vaccines Vaccin 2(5): 00047. DOI: 10.15406/ijvv.2016.02.00047

[60] Young RO (2016) Segundos pensamientos sobre los virus, las vacunas y la hipótesis del VIH / SIDA - Parte 1. Int J Vaccines Vaccin 2(3): 00032. DOI: 10.15406/ijvv.2016.02.00032

[61] Young RO (2016) Segundos pensamientos sobre los virus, las vacunas y la hipótesis del VIH / SIDA - Parte 2. Int J Vaccines Vaccin 2(3): 00034. DOI: 10.15406/ijvv.2016.02.00034
https://medcraveonline.com/IJVV/second-thoughts-concerning-viruses-vaccines-and-the-hivaids-hypothesis---part-2.html

[62] Young RO (2016) Segundos pensamientos sobre los virus, las vacunas y la hipótesis del VIH / SIDA - Parte 3: VIH / SIDA y el modelo de enfermedad monomórfica. Int J Vaccines Vaccin 2(3): 00035. DOI: 10.15406/ijvv.2016.02.00035
https://medcraveonline.com/IJVV/second-thoughts-concerning-viruses-vaccines-and-the-hivaids-hypothesis---part-3-hivaids-and-the-monomorphic-disease-model.html

[63] Wu HY, Lin KJ, Wang PY, Lin CW, Yang HW, Ma CC, Lu YJ, Jan TR. El óxido de grafeno recubierto de polietilenglicol atenúa la producción de IgE específica de antígeno y mejora la reactividad de células T inducida por antígeno en ratones BALB /c sensibilizados con ovoalbúmina. Int J Nanomedicine. 2014 Sep 8;9:4257-66. doi: 10.2147/IJN.S66768. PMID: 25228804; PMCID: PMC4162634.

[64] Xu L, Xiang J, Liu Y, Xu J, Luo Y, Feng L, Liu Z, Peng R. El óxido de grafeno funcionalizado sirve como un nano-adyuvante de vacuna novedoso para la estimulación robusta de la inmunidad celular. Nanoscale. 2016 Feb 14;8(6):3785-

95. doi: 10.1039/c5nr09208f. Epub 2016 Jan 27. PMID: 26814441.

[65] Xu L, Xiang J, Liu Y, Xu J, Luo Y, Feng L, Liu Z, Peng R. El óxido de grafeno funcionalizado sirve como un nano-adyuvante de vacuna novedoso para la estimulación robusta de la inmunidad celular. Nanoscale. 2016 Feb 14;8(6):3785-95. doi: 10.1039/c5nr09208f. Epub 2016 Jan 27. PMID: 26814441.

[66] Cao W, He L, Cao W, Huang X, Jia K, Dai J. Progreso reciente del óxido de grafeno como posible portador y adyuvante de vacunas. Acta Biomater. 2020 Aug;112:14-28. doi: 10.1016/j.actbio.2020.06.009. Epub 2020 Jun 10. PMID: 32531395.

[67] Nanovacuna recombinante contra el coronavirus con óxido de grafeno como portador – Patente https://patents.google.com/patent/CN112220919A/en

Resumen
La invención pertenece al campo de los nanomateriales y la biomedicina, y se refiere a una vacuna, en particular al desarrollo de la nanovacuna recombinante nuclear del coronavirus 2019-nCoV. La invención también comprende un método de preparación de la vacuna y la aplicación de la misma en experimentos con animales. La nueva vacuna contra el coronavirus contiene óxido de grafeno, carnosina, CpG y el RBD (Dominio de Enlace Receptor) del nuevo coronavirus; uniendo la carnosina, el CpG y el RBD del coronavirus a la columna vertebral del óxido de grafeno; la secuencia de codificación del CpG se muestra como SEQ ID NO 1; el RBD del nuevo coronavirus se refiere a una región de unión del receptor de proteína del nuevo coronavirus que puede generar un anticuerpo altamente específico dirigido al RBD en el cuerpo de un ratón, y proporciona un fuerte apoyo para la prevención y el tratamiento del novedoso coronavirus.

[68] Takizawa K, Aoyagi A, Takada J, Katayama N, Yekeh K, Takehiko Y, Kohno KR. **Modelos de canales para redes de área corporal inalámbricas.** Annu Int Conf IEEE Eng Med Biol Soc. 2008;2008:1549-52. doi: 10.1109/IEMBS.2008.4649465. PMID: 19162968.

[69] Le, Thien T T, y Sangman Moh. **"Esquemas de mitigación de interferencias para redes inalámbricas de sensores de área corporal: una investigación comparativa".** *Sensors (Basilea, Suiza)* vol. 15,6 13805-38. 11 jun. 2015, doi:10.3390/s150613805

[70] "**Proyecto: Soul Catcher: Secrets of Cyber and Cybernetic Warfare Revealed" (Cazador de Almas: Los secretos de la guerra cibernética y la cibernética revelados)** Rústica - 27 de septiembre de 2010. El volumen 2 detalla las prácticas de interrogación y control mental cibernético de la CIA en su afán por convertir en arma la neuropsicología. Abarca el arte de la guerra biocomunicativa. Los seres humanos son máquinas complejas, pero su funcionamiento interno ha sido descifrado. El control mental y el lavado de cerebro se han perfeccionado en los últimos 60 años. Hackear los ordenadores y hackear las mentes de los individuos es similar. El siglo XXI será conocido como la era de las máquinas espirituales y los hombres sin alma. https://www.amazon.com/Project-Catcher-Secrets-Cybernetic-Revealed/dp/1452804087/ref=asc_df_1452804087/?tag=hyprod-20&linkCode=df0&hvadid=312128454859&hvpos=&hvnetw=g&hvrand=10418004802487893016&hvpone=&hvptwo=&hvqmt=&hvdev=c&hvdvcmdl=&hvlocint=&hvlocphy=9004410&hvtargid=pla-560212038209&psc=1

[71] Mehrotra, Parikha et al. **"Biosensores de ondas electromagnéticas: una revisión de la detección de RF, microondas, ondas milimétricas y óptica".** *Sensors (Basilea, Suiza)* vol. 19,5 1013. 27 feb. 2019, doi:10.3390/s19051013

[72] Composiciones de nanopartículas de ferritina y métodos para modular la actividad de las células: una patente US10786570B2 concedida el 29-09-2020 a Jerffery Friedman y la Universidad Rockefeller
WO US US10786570B2 Jeffrey Friedman The Rockefeller University
Prioridad 2011-08-24 - Presentado 2018-07-30 - Concedido 2020-09-29 - Publicado 2020-09-29
La presente invención proporciona métodos y composiciones para el control remoto de la función celular basados en el uso de ondas de radiofrecuencia para excitar nanopartículas dirigidas a tipos celulares específicos. Las nanopartículas pueden aplicarse a la célula objetivo de forma extracelular y/o expresarse de forma intracelular.

[73] Ou, L., Song, B., Liang, H. *et al.* "**Toxicidad de las nanopartículas de la familia del grafeno: una revisión general de los orígenes y mecanismos".** *Part Fibre Toxicol13***,** 57 (2016). https://doi.org/10.1186/s12989-016-0168-y

[74] "**Las cintas de grafeno se muestran prometedoras como semiconductores"**, volumen 86, número 3, Chemical and Engneering News, Bethany Halford, volumen 86, número 4, 28 de enero de 2008. https://cen.acs.org/articles/86/i4/Graphene-Ribbons.html

[75] Ivask, Angela et al. **"Toxicidad de 11 nanopartículas de óxido metálico para tres tipos de células de mamíferos *in Vitro*".** Current Topics in Medicinal Chemistry 15,18 (2015): 1914-1929. Web.

[76] Moschini, Elisa, Maurizio Gualtieri, Miriam Colombo, Umberto Fascio, Marina Camatini y Paride Mantecca. **"La modalidad de las interacciones célula-partícula impulsa la toxicidad del CuO y el TiO2 nanoscópicos en las células epiteliales alveolares humanas".** Toxicology Letters 222, no. 2 (2013): 102-16. doi:10.1016/J.TOXLET.2013.07.019.

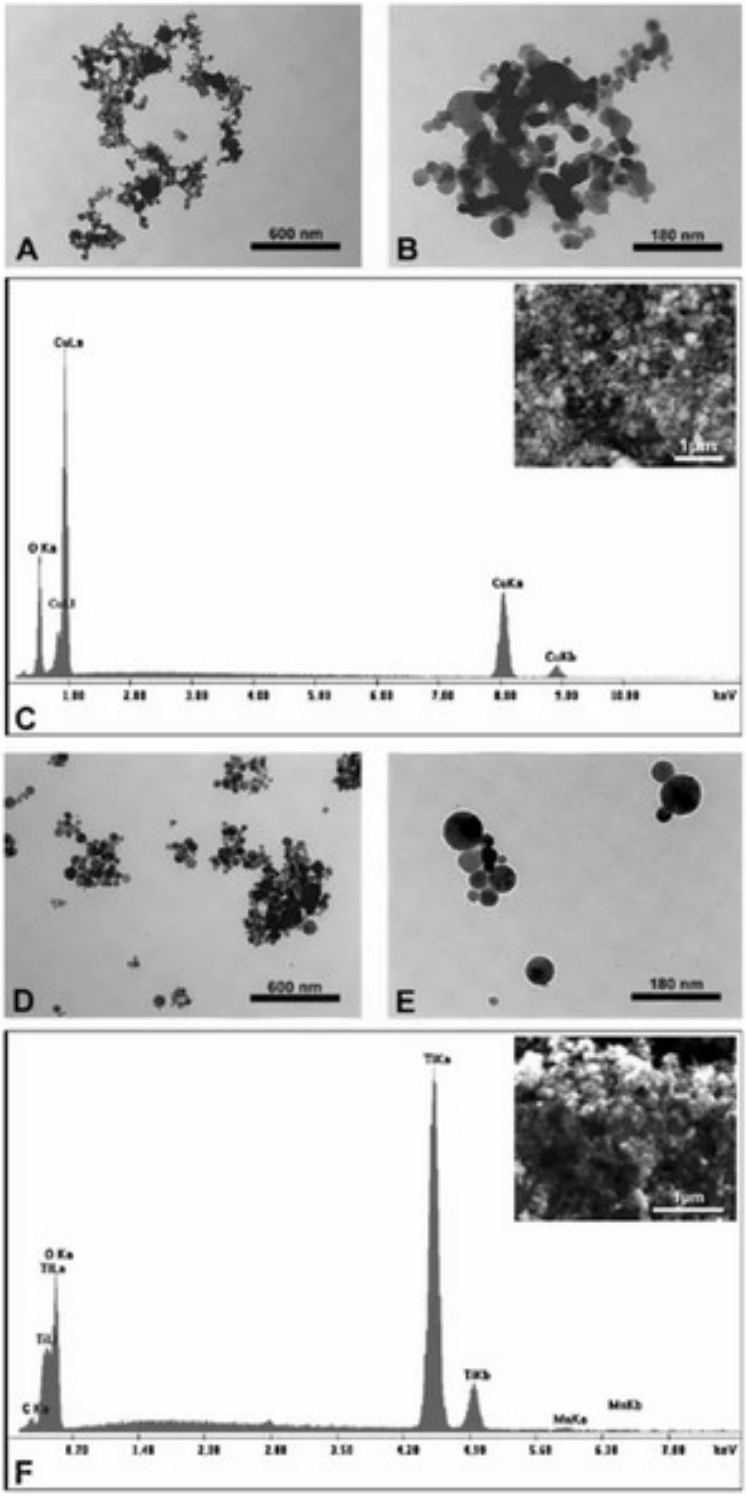

[**La Figura 34** muestra la caracterización de las nanopartículas con microscopía TEM y SEM-EDX. (A y B) Las micrografías TEM revelan óxido de cobre en tamaño de nanopartículas. (C) Un espectro EDX del polvo de óxido de cobre. (D y E) Las micrografías TEM mostraron óxido de titanio y dióxido de titanio. (F) El EDX reveló un espectro de Dióxido de Titanio. [75][76]]

[77] Wanjun Cao, Lin He, Weidong Cao, Xiaobing Huang, Kun Jia, Jingying Dai, "Progreso reciente del óxido de grafeno como posible portador y adyuvante de vacunas," Acta Biomaterialia, Volumen 112, 2020, Páginas 14-28, ISSN 1742-7061- https://www.sciencedirect.com/science/article/abs/pii/S1742706120303

[78] Ou, L., Song, B., Liang, H. *et al.* Toxicidad de las nanopartículas de la familia del grafeno: una revisión general de los orígenes y mecanismos. *Part Fibre Toxicol13***,** 57 (2016). https://doi.org/10.1186/s12989-016-0168-y

[79] Wei Jiang, Ying-Ying Yang, An-Bang Guo, Estudio sobre las propiedades magnéticas de una bicapa de nanografeno, Carbon, Volume 95, 2015, Pages 190-198, SSN 0008-6223 - https://doi.org/10.1016/j.carbon.2015.07.097. (https://www.sciencedirect.com/science/article/pii/S0008622315301159)

[80] ¿Pueden los nanomateriales inducir toxicidad reproductiva en los mamíferos macho? Una revisión histórica y crítica - https://www.sciencedirect.com/science/article/abs/pii/S0048969720378852

[81] Nujiang Tang, Tao Tang, Hongzhe Pan, Yuanyuan Sun, Jie Chen, Youwei Du, Capítulo 6 - Propiedades magnéticas del grafeno, Editor(es): Wenqing Liu, Yongbing Xu, En Materials Today, Spintronic 2D Materials, Elsevier, 2020, Páginas 137-161, ISBN 9780081021545 - https://www.sciencedirect.com/science/article/pii/B9780081021545000059

[82] Lieber, Charles 66 patentes que se están utilizando como andamios y cables y nanosensores y semiconductores en todas las vacunas, como se describe aquí: https://patft.uspto.gov/netacgi/nph-Parser?Sect1=PTO2&Sect2=HITOFF&p=1&u=%2Fnetahtml%2FPTO%2Fsearch-bool.html&r=0&f=S&l=50&TERM1=%22Lieber%2C+Charles%22&FIELD1=INNM&co1=AND&TERM2=&FIELD2=&d=PTT

[83] Ingredientes de la vacuna contra COVID-19, nobulart.com/covid-19-vaccine-ingredients/ 31 de agosto de 2021.

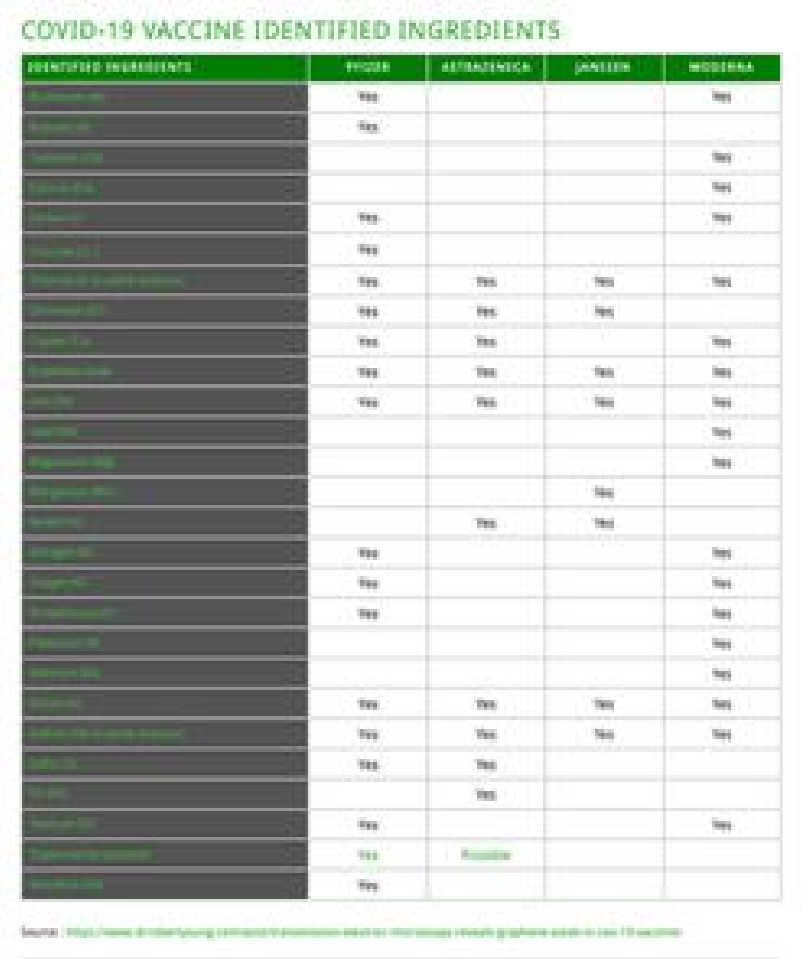

COVID-19 VACCINE DECLARED INGREDIENTS

DECLARED INGREDIENTS	CHEMICAL COMPOSITION	PFIZER	MODERNA
Active Ingredients			
Comirnaty mRNA	$C_{x}H_{y}N_{z}O_{w}P_{q}$ (DNA template)	Yes	
mRNA-1273 mRNA	$C_{x}H_{y}N_{z}O_{w}P_{q}$ (DNA template)		Yes
Lipids			
[redacted]	$C_{47}H_{83}O^{-}$	Yes	Yes
[redacted]	$C_{46}H_{90}NO_{7}P$	Yes	Yes
[redacted]	$C_{48}H_{80}NO_{5}^{-}$	Yes	
[redacted]	$HO-CH_{2}-CH_{2}n-OH$	Yes	
[redacted]	$C_{54}H_{101}NO_{5}$		Yes
[redacted]	$(C_{17}H_{35}(OH)C_{17}H_{33}O_{2})$		Yes
Buffers			
potassium chloride	KCl	Yes	
monobasic potassium phosphate	$KH_{2}PO_{4}$	Yes	
sodium chloride	NaCl	Yes	
basic sodium phosphate dihydrate	$Na_{2}HPO_{4}$	Yes	
tromethamine (tris(hydroxymethyl)aminomethane)	$C_{4}H_{11}(NO)_{3}$		Yes
tromethamine hydrochloride	$C_{4}H_{12}NO_{3}$		Yes
acetic acid	$C_{2}H_{4}O_{2}$		Yes
sodium acetate	$C_{2}H_{3}NaO_{2}$		Yes
water	$H_{2}O$	Yes	Yes
Other			
sucrose	$C_{12}H_{22}O_{11}$	Yes	Yes

[redacted]

[84] Elisa Moschini, Maurizio Gualtieri, Miriam Colombo, Umberto Fascio, Marina Camatini, Paride Mantecca, "La modalidad de las interacciones célula-partícula impulsa la toxicidad del CuO y el TiO2 nanoscópicos en las células epiteliales alveolares humanas". ***ToxicologyLetters***, 222 (2013) 102–116. doi:10.1016/J.TOXLET.2013.07.019. doi:10.1016/J.TOXLET.2013.07.019. https://www.academia.edu/13627621/The_modality_of_cell_particle_interactions_drives_the_toxicity_of_nanosized_CuO_and_TiO2_in_human_alveolar_epithelial_cells?email_work_card=view-paper

[85] Young RO (2016) Coagulación sanguínea patológica y la prueba de estrés oxidativo micotóxico (MOST). Int J Vaccines Vaccin 2(6): 00048. DOI: 10.15406/ijvv.2016.02.00048

A continuación se presenta el archivo pdf del artículo anterior para que lo compartas con todas las personas que quieres y te importan:

GrapheneOxideVaccinePaperUpdated12.pdf
Descargar PDF - 6.77MB

Para ver las últimas actualizaciones de este artículo, visite:
https://www.drrobertyoung.com/post/transmission-electron-microscopy-reveals-graphene-oxide-in-cov-19-vaccines